

Grundlagen

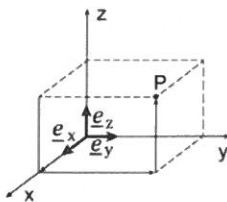
Koordinatensysteme

Kartesische Koordinaten

$$v_x = u$$

$$v_y = v$$

$$v_z = w$$



$$h_1 = 1$$

$$h_2 = 1$$

$$h_3 = 1$$

$$\nabla = \underline{e}_x \frac{\partial}{\partial x} + \underline{e}_y \frac{\partial}{\partial y} + \underline{e}_z \frac{\partial}{\partial z}$$

$$\nabla \cdot \underline{v} = \frac{\partial u}{\partial x} + \frac{\partial v}{\partial y} + \frac{\partial w}{\partial z}$$

$$(\nabla \times \underline{v})_x = \frac{\partial w}{\partial y} - \frac{\partial v}{\partial z}$$

$$(\nabla \times \underline{v})_y = \frac{\partial u}{\partial z} - \frac{\partial w}{\partial x}$$

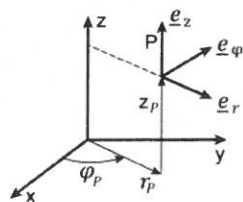
$$(\nabla \times \underline{v})_z = \frac{\partial v}{\partial x} - \frac{\partial u}{\partial y}$$

Zylinderkoordinaten

$$x = r \cos(\varphi)$$

$$y = r \sin(\varphi)$$

$$z = z$$



$$h_1 = 1$$

$$h_2 = r$$

$$h_3 = 1$$

$$\nabla = \underline{e}_r \frac{\partial}{\partial r} + \underline{e}_\varphi \frac{1}{r} \frac{\partial}{\partial \varphi} + \underline{e}_z \frac{\partial}{\partial z}$$

$$\nabla \cdot \underline{v} = \frac{1}{r} \frac{\partial}{\partial r} (ru) + \frac{1}{r} \frac{\partial v}{\partial \varphi} + \frac{\partial w}{\partial z}$$

$$(\nabla \times \underline{v})_r = \frac{1}{r} \frac{\partial w}{\partial \varphi} - \frac{\partial v}{\partial z}$$

$$(\nabla \times \underline{v})_\varphi = \frac{\partial u}{\partial z} - \frac{\partial w}{\partial r}$$

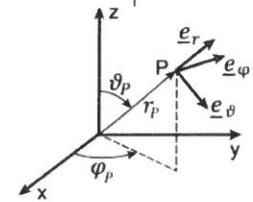
$$(\nabla \times \underline{v})_z = \frac{1}{r} \left[\frac{\partial}{\partial r} (ru) - \frac{\partial u}{\partial \varphi} \right]$$

Kugelkoordinaten

$$x = r \sin(\vartheta) \cos(\varphi)$$

$$y = r \sin(\vartheta) \sin(\varphi)$$

$$z = r \cos(\vartheta)$$



$$h_1 = 1$$

$$h_2 = r$$

$$h_3 = r \sin(\vartheta)$$

$$\nabla = \underline{e}_r \frac{\partial}{\partial r} + \underline{e}_\vartheta \frac{1}{r} \frac{\partial}{\partial \vartheta} + \underline{e}_\varphi \frac{1}{r \sin(\vartheta)} \frac{\partial}{\partial \varphi}$$

$$\nabla \cdot \underline{v} = \frac{1}{r^2} \frac{\partial}{\partial r} (r^2 u) + \frac{1}{r \sin(\vartheta)} \frac{\partial}{\partial \vartheta} (v \sin(\vartheta)) + \frac{1}{r \sin(\vartheta)} \frac{\partial w}{\partial \varphi}$$

$$(\nabla \times \underline{v})_r = \frac{1}{r \sin(\vartheta)} \left[\frac{\partial}{\partial \vartheta} (\sin(\vartheta) w) - \frac{\partial v}{\partial \varphi} \right]$$

$$(\nabla \times \underline{v})_\vartheta = \frac{1}{r \sin(\vartheta)} \frac{\partial u}{\partial \varphi} - \frac{1}{r} \frac{\partial}{\partial r} (rw)$$

$$(\nabla \times \underline{v})_\varphi = \frac{1}{r} \left[\frac{\partial}{\partial r} (rv) - \frac{\partial u}{\partial \vartheta} \right]$$

Skalarprodukt

$$\underline{a} \cdot \underline{b}$$

Kreuzprodukt

$$\underline{a} \times \underline{b}$$

Dyadiisches Produkt

$$\underline{a} \underline{b} = \underline{a} \otimes \underline{b} = \underline{a} \underline{b}^T$$

Nabla-Operator

$$\nabla = \sum_{i=1}^3 \underline{e}_i \frac{1}{h_i} \frac{\partial}{\partial x_i}$$

Gradient Eines Skalars

$$\text{grad}(f) = \nabla(f) = \underline{e}_1 \frac{1}{h_1} \frac{\partial f}{\partial x_1} + \underline{e}_2 \frac{1}{h_2} \frac{\partial f}{\partial x_2} + \underline{e}_3 \frac{1}{h_3} \frac{\partial f}{\partial x_3}$$

Gradient Eines Vektors

$$\text{grad}(v) = \nabla \otimes \underline{v} = \begin{pmatrix} \frac{\partial u}{\partial x} & \frac{\partial v}{\partial x} & \frac{\partial w}{\partial x} \\ \frac{\partial u}{\partial y} & \frac{\partial v}{\partial y} & \frac{\partial w}{\partial y} \\ \frac{\partial u}{\partial z} & \frac{\partial v}{\partial z} & \frac{\partial w}{\partial z} \end{pmatrix}$$

Divergenz

$$\text{div}(\underline{a}) = \nabla \cdot \underline{a} = \frac{1}{h_1 h_2 h_3} \left[\frac{\partial}{\partial x_1} (h_2 h_3 a_1) + \frac{\partial}{\partial x_2} (h_3 h_1 a_2) + \frac{\partial}{\partial x_3} (h_1 h_2 a_3) \right]$$

Rotation

$$\text{rot}(\underline{a}) = \nabla \times \underline{a} = \frac{1}{h_1 h_2 h_3} \left[h_1 \left(\frac{\partial (h_3 a_3)}{\partial x_2} - \frac{\partial (h_2 a_2)}{\partial x_3} \right) \underline{e}_1 + h_2 \left(\frac{\partial (h_1 a_1)}{\partial x_3} - \frac{\partial (h_3 a_3)}{\partial x_1} \right) \underline{e}_2 + h_3 \left(\frac{\partial (h_2 a_2)}{\partial x_1} - \frac{\partial (h_1 a_1)}{\partial x_2} \right) \underline{e}_3 \right]$$

Laplace-Operator

$$\nabla^2(f) = \Delta(f) = \frac{1}{h_1 h_2 h_3} \left[\frac{\partial}{\partial x_1} \left(\frac{h_2 h_3}{h_1} \frac{\partial f}{\partial x_1} \right) + \frac{\partial}{\partial x_2} \left(\frac{h_3 h_1}{h_2} \frac{\partial f}{\partial x_2} \right) + \frac{\partial}{\partial x_3} \left(\frac{h_1 h_2}{h_3} \frac{\partial f}{\partial x_3} \right) \right]$$

Physikalische Eigenschaften

Knudsen-Zahl

$$Kn = \frac{\bar{\lambda}}{L}$$

$\bar{\lambda}$ = Mittlere Freie Weglänge

L = Charakteristische Länge

Kontinuumströmung: $Kn < 10^{-2}$

Freie Molekülströmung: $Kn > 10$

Höhe	0km	80km	150km
$\bar{\lambda}$	3nm	100nm	2000nm
L	1,6µm	3cm	200m

Dichte

Flüssigkeiten: $\rho = \text{konst.}$

Barotrop Fluide: $\rho = \rho(p)$

Gase: $\rho = \rho(p, T)$

Druck

$$p_{\text{ges}} = p_{\text{stat}} + p_{\text{dyn}}$$

$$p_{\text{dyn}} = \frac{1}{2} \rho v^2$$

Ideale Gasgleichung

$$p = \rho RT \quad | \quad pV = mRT$$

Spezifische Gaskonstante

$$R = \frac{\mathfrak{R}}{M} = c_p - c_v$$

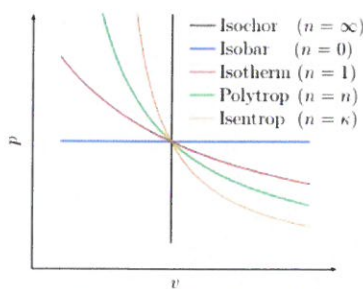
$$\mathfrak{R} = 8314.3 \text{ J kmol}^{-1} \text{ K}^{-1}$$

M = Molare Masse

c_p = Spezifische Wärme bei konstantem Druck

c_v = Spezifische Wärme bei konstanter Temperatur

Polytrope Zustandsänderung



$$\frac{p}{v^n} = p v^n = \text{konst.}$$

$$\frac{\rho}{p_b} = \left(\frac{p}{p_b} \right)^{\frac{1}{n}}$$

n = Polytropenexponent

$$\kappa = \text{Isentropenexponent} = \frac{c_p}{c_v}$$

Schallgeschwindigkeit

$$c = \sqrt{\left(\frac{\partial p}{\partial \rho}\right)_s} = \sqrt{\kappa \left(\frac{\partial p}{\partial \rho}\right)_T} = \sqrt{\kappa R T} = \sqrt{\kappa \frac{p}{\rho}}$$

Ideales Gas

$$\underbrace{\frac{\Delta \rho}{\rho}}_{\text{Grenze Inkompressible Strömung}} \approx \frac{Ma^2}{2}$$

Temperatur

$$KE = \frac{3}{2} kT$$

KE = Kinetische Energie

$$k = \text{Boltzmann-Konstante} = 1,38 \cdot 10^{-23} \text{ J K}^{-1}$$

T = Temperatur

Newton'sches Reibungsgesetz

$$\tau = \eta \frac{du}{dy} = \eta D$$

τ = Schubspannung

η = Dynamische Viskosität $[\text{kg m}^{-1} \text{ s}^{-1}]$

D = Schergeschwindigkeit

Kinematische Viskosität

$$\nu = \frac{\eta}{\rho}$$

ν = Kinematische Viskosität $[\text{m}^2 \text{ s}^{-1}]$

η = Dynamische Viskosität $[\text{kg m}^{-1} \text{ s}^{-1}]$

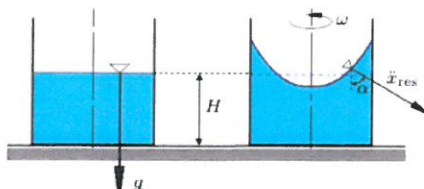
ρ = Dichte

Fluidstatik & Hydrostatik

Grenzfläche (Rotierender Zylinder)

$$F_z = m\omega^2 r = m \frac{v^2}{r} \quad | \quad z(r) = H + \frac{\omega^2}{2g} \left(r^2 - \frac{1}{2} R^2 \right)$$

$$F_g = mg \quad | \quad \tan(\alpha) = \frac{F_z}{F_g} = \frac{\omega^2 r}{g}$$



Hydrostatischer Auftrieb

Sinken/Schwelen

$$F_a = (\rho_F - \rho_K) g V_V$$

F_a = Auftriebskraft

ρ_F = Dichte (Flüssigkeit)

ρ_K = Dichte (Körper)

Schwimmen

$$\rho_F g V_V = \rho_K g V_K$$

g = Erdbeschleunigung

V_V = Verdrängtes Volumen

V_K = Volumen (Körper)

Flüssigkeitssäule

$$F_x = p_s \cdot A_{\text{proj}}$$

$$F_y = \rho g dz \int_{x_1}^{x_2} y_W(x) dx$$

$$dF_x = \Delta p dA_y = \cancel{\Delta p} \cdot L \cdot dy$$

$$dF_y = -\Delta p dA_x$$

$$M_A = \rho g dz \left[\int_{x_1}^{x_2} xy_W(x) dx - \frac{1}{3} (y_2^3 - y_1^3) \right]$$

$$dM_A = y dF_x - x dF_y$$

Atmosphäre

Isotherm

$$p(z) = p_0 \exp \left(-\frac{\rho_0 g}{p_0} z \right)$$

Isentrop

$$p(z) = p_0 \left(1 - \frac{\kappa - 1}{\kappa} \frac{\rho_0 g}{p_0} z \right)^{\frac{\kappa}{\kappa-1}}$$

$$\rho(z) = \rho_0 \left(1 - \frac{\kappa - 1}{\kappa} \frac{\rho_0 g}{p_0} z \right)^{\frac{1}{\kappa-1}}$$

$$T(z) = T_0 \left(1 - \frac{\kappa - 1}{\kappa} \frac{\rho_0 g}{p_0} z \right)$$

Kontinuitätsgleichung

Integralform (Konservativ)

$$\frac{\partial}{\partial t} \iiint_V \rho dV + \iint_S \rho \underline{v} \cdot d\underline{S} = 0$$

Stromröhre

$$\dot{m} = \rho v S = \text{konst.}$$

Stationär

$$\text{div}(\rho \underline{v}) = 0$$

$$\text{Inkompressibel}$$

$$\text{div}(\underline{v}) = 0$$

Differentialform

Konservativ

$$\frac{\partial \rho}{\partial t} + \text{div}(\rho \underline{v}) = \frac{\partial \rho}{\partial t} + \nabla \cdot (\rho \underline{v}) = 0$$

Nicht-Konservativ

$$\frac{D\rho}{Dt} + \rho \text{div}(\underline{v}) = \frac{D\rho}{Dt} + \rho \nabla \cdot \underline{v} = 0$$

Zylinderkoordinaten

$$\frac{\partial \rho}{\partial t} + \left[\frac{1}{r} \frac{\partial}{\partial r} (r \rho u) + \frac{1}{r} \frac{\partial}{\partial \varphi} (\rho v) + \frac{\partial}{\partial z} (\rho w) \right] = 0$$

Kugelkoordinaten

$$\frac{\partial \rho}{\partial t} + \frac{1}{r^2} \frac{\partial (r^2 \rho u)}{\partial r} + \frac{1}{r \sin(\vartheta)} \frac{\partial (\rho v \sin(\vartheta))}{\partial \vartheta} + \frac{1}{r \sin(\vartheta)} \frac{\partial (\rho w)}{\partial \varphi} = 0$$

Impulssatz

Differentialform

Konservativ

$$\begin{aligned} \frac{\partial(\rho u)}{\partial t} + \nabla \cdot (\rho u \underline{v}) &= -\frac{\partial p}{\partial x} + \frac{\partial \tau_{xx}}{\partial x} + \frac{\partial \tau_{yx}}{\partial y} + \frac{\partial \tau_{zx}}{\partial z} + \rho f_x \\ \frac{\partial(\rho v)}{\partial t} + \nabla \cdot (\rho v \underline{v}) &= -\frac{\partial p}{\partial y} + \frac{\partial \tau_{xy}}{\partial x} + \frac{\partial \tau_{yy}}{\partial y} + \frac{\partial \tau_{zy}}{\partial z} + \rho f_y \\ \frac{\partial(\rho w)}{\partial t} + \nabla \cdot (\rho w \underline{v}) &= -\frac{\partial p}{\partial z} + \frac{\partial \tau_{xz}}{\partial x} + \frac{\partial \tau_{yz}}{\partial y} + \frac{\partial \tau_{zz}}{\partial z} + \rho f_z \end{aligned}$$

Nicht-Konservativ

$$\rho \frac{D\underline{v}}{Dt} = \text{div}(\underline{g}) + \rho \underline{f}$$

$$\begin{aligned} \rho \frac{Du}{Dt} &= -\frac{\partial p}{\partial x} + \frac{\partial \tau_{xx}}{\partial x} + \frac{\partial \tau_{yx}}{\partial y} + \frac{\partial \tau_{zx}}{\partial z} + \rho f_x \\ \rho \frac{Dv}{Dt} &= -\frac{\partial p}{\partial y} + \frac{\partial \tau_{xy}}{\partial x} + \frac{\partial \tau_{yy}}{\partial y} + \frac{\partial \tau_{zy}}{\partial z} + \rho f_y \\ \rho \frac{Dw}{Dt} &= -\frac{\partial p}{\partial z} + \frac{\partial \tau_{xz}}{\partial x} + \frac{\partial \tau_{yz}}{\partial y} + \frac{\partial \tau_{zz}}{\partial z} + \rho f_z \end{aligned}$$

Integralform

$$\iiint_V \frac{\partial(\rho \underline{v})}{\partial t} dV + \iint_S \rho \underline{v} (\underline{v} \cdot \underline{n}) dS = \iiint_V \rho \underline{f} dV + \iint_S \underline{g} \cdot d\underline{S}$$

Stationär

$$\frac{dI}{dt} = \iint_S \rho \underline{v} (\underline{v} \cdot \underline{n}) dS$$

Reynoldsches Transporttheorem

$$\frac{DB}{Dt} = \frac{D}{Dt} \iiint_{V(t)} b(t) dV = \iiint_{V_0} \frac{\partial b}{\partial t} dV + \iiint_{V_0} \text{div}(b \underline{v}) dV$$

$$\frac{DB}{Dt} = \frac{D}{Dt} \iiint_{V(t)} \underline{b}(t) dV = \iiint_{V_0} \frac{\partial \underline{b}}{\partial t} dV + \iint_S \underline{b} (\underline{v} \cdot \underline{n}) dS$$

Praktischer Einsatz

Wahl des Koordinatensystems

Wahl des Kontrollvolumens

$$\underline{F} = \underline{F}_p + \underline{F}_f + \underline{F}_K + \underline{F}_R$$

$$\iiint_V \frac{\partial(\rho \underline{v})}{\partial t} dV + \iint_S \rho \underline{v} (\underline{v} \cdot \underline{n}) dS = \underline{F}$$

Druckdifferenz

$$\Delta p_v = \frac{\rho}{2} u_1^2 \left(1 - \frac{u_2}{u_1} \right)^2$$

Druckverlustbeiwert

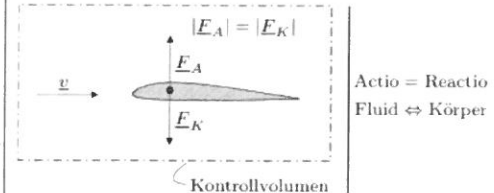
$$\zeta = \frac{2\Delta p_v}{\rho u_1^2} = \left(1 - \frac{A_1}{A_2} \right)^2$$

Druckkräfte \underline{F}_p

$$d\underline{F}_p = -p \cdot \underline{n} dS$$

$$\underline{F}_p = - \iint_S p \underline{n} dS$$

Körperkräfte \underline{F}_K



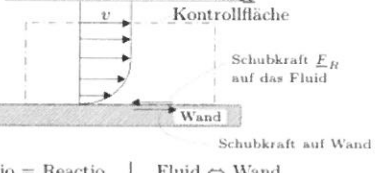
Volumenkräfte \underline{F}_f

$$\underline{F}_f = \iiint_V \rho \underline{f} dV$$

Schwerefeld

$$d\underline{F}_f = \rho g dV \quad \underline{F}_f = \iiint_V \rho g dV$$

Reibungskräfte \underline{F}_R



Impulssatz

Eulergleichungen

Konservativ

$$\begin{aligned}\frac{\partial(\rho\underline{v})}{\partial t} + \operatorname{div}(\rho \cdot \underline{v} \otimes \underline{v}) &= -\nabla(p) + \rho \underline{f} \\ \frac{\partial(\rho u)}{\partial t} + \frac{\partial(\rho u^2)}{\partial x} + \frac{\partial(\rho uv)}{\partial y} + \frac{\partial(\rho uw)}{\partial z} &= -\frac{\partial p}{\partial x} + \rho f_x \\ \frac{\partial(\rho v)}{\partial t} + \frac{\partial(\rho vu)}{\partial x} + \frac{\partial(\rho v^2)}{\partial y} + \frac{\partial(\rho vw)}{\partial z} &= -\frac{\partial p}{\partial y} + \rho f_y \\ \frac{\partial(\rho w)}{\partial t} + \frac{\partial(\rho uw)}{\partial x} + \frac{\partial(\rho vw)}{\partial y} + \frac{\partial(\rho w^2)}{\partial z} &= -\frac{\partial p}{\partial z} + \rho f_z\end{aligned}$$

Nicht-Konservativ

$$\begin{aligned}\rho \frac{D\underline{v}}{Dt} &= \rho \left[\frac{\partial \underline{v}}{\partial t} + \underline{v} \cdot \nabla(\underline{v}) \right] = -\nabla(p) + \rho \underline{f} \\ \rho \frac{\partial u}{\partial t} + \rho u \frac{\partial u}{\partial x} + \rho v \frac{\partial u}{\partial y} + \rho w \frac{\partial u}{\partial z} &= -\frac{\partial p}{\partial x} + \rho f_x \\ \rho \frac{\partial v}{\partial t} + \rho u \frac{\partial v}{\partial x} + \rho v \frac{\partial v}{\partial y} + \rho w \frac{\partial v}{\partial z} &= -\frac{\partial p}{\partial y} + \rho f_y \\ \rho \frac{\partial w}{\partial t} + \rho u \frac{\partial w}{\partial x} + \rho v \frac{\partial w}{\partial y} + \rho w \frac{\partial w}{\partial z} &= -\frac{\partial p}{\partial z} + \rho f_z\end{aligned}$$

Bernoulligleichungen

Stationär/Inkompressibel/Reibungsfrei

Allgemein	Energieform	Druckform	Höhenform
$\rho_0 \frac{v^2}{2} + p + \rho_0 U = \text{konst.}$	$\frac{v^2}{2} + \frac{p}{\rho} + gz = \text{konst.}$	$\frac{\rho}{2} v^2 + p + \rho g z = \text{konst.}$	$\frac{v^2}{2g} + \frac{p}{\rho g} + z = \text{konst.}$

Instationär/Inkompressibel/Reibungsfrei

Allgemein	Querdruckgleichung	Allgemein
$\int_1^2 \frac{\partial v}{\partial t} ds + \frac{v_2^2 - v_1^2}{2} + \frac{p_2 - p_1}{\rho} + g(z_2 - z_1) = 0$	$\frac{\partial v_n}{\partial t} - \frac{v^2}{r} + \frac{1}{\rho} \frac{\partial p}{\partial n} + g \frac{\partial z}{\partial n} = 0$	$\int_1^2 \frac{\partial v}{\partial t} ds + \frac{v_2^2 - v_1^2}{2} + \int_1^2 \frac{dp}{\rho} + U_2 - U_1 = 0$

Anwendungen

Venturi-Rohr

Druckdifferenz	Massenstrom	Konstanter Spiegel	Mit Spiegelabsenkung
$\Delta p = \frac{\rho}{2} v_1^2 \left[1 - \left(\frac{A_1}{A_2} \right)^2 \right]$	$\dot{m} = A_1 A_2 \sqrt{\frac{2\rho \Delta p}{A_2^2 - A_1^2}}$	$v_2 = \sqrt{\frac{2}{\rho} (p_1 - p_2) + 2gh}$	$\Delta T = \frac{A_1}{A_2} \sqrt{\frac{2}{g}} (\sqrt{z_1} - \sqrt{z_2})$

Prandtl-Rohr

Inkompressibel

Druckdifferenz	Anströmgeschwindigkeit	Schwingende Säule
$\Delta p = p_0 - p_\infty = \rho_F g \Delta z$	$v_\infty = \sqrt{\frac{2\Delta p}{\rho}} = \sqrt{2 \frac{\rho_F}{\rho} g \Delta z}$	$x = x_0 \cos(\omega t)$

Kompressibel

Fehlerabschätzung	Anströmgeschwindigkeit	Bewegung Auf Konzentrischen Bahnen
$\frac{v_{\infty, \text{kompr.}}}{v_{\infty, \text{inkompr.}}} \approx \sqrt{1 - \frac{Ma_\infty^2}{4}}$	$v_\infty = \sqrt{\frac{2\kappa}{\kappa-1} \frac{p_\infty}{\rho_\infty} \left[\left(\frac{p_0}{p_\infty} \right)^{\frac{\kappa-1}{\kappa}} - 1 \right]}$	$p(r) = p_1 + \frac{\rho}{2} v_1^2 \left(1 - \frac{r_1^2}{r^2} \right)$

	Symbol	Inkompressibel	Kompressibel ($Ma \leq 1$)	Kompressibel ($Ma > 1$)
Statischer Druck	p, p_s, p_{stat}	p	p	p
Dynamischer Druck	p_{dyn}	p	p	p
Totaldruck	p_0, p_t, p_{ges}	$p_0 = p + \frac{\rho}{2} v^2$	$p_0 = p + \frac{\rho}{2} v^2 + \Delta p_{\text{kompr}} = p \left(1 + \frac{\kappa-1}{2} Ma^2 \right)^{\frac{\kappa}{\kappa-1}}$	
Pitotdruck	p_{pitot}	$p_{pitot} = p_0$	$p_{pitot} = p_0$	$p_{pitot} \leq p_0$
Staudruck		$p_0 - p = \frac{\rho}{2} v^2$	$p_0 - p > \frac{\rho}{2} v^2$	

Navier-Stokes-Gleichungen

Scherratentensor

$$\underline{\underline{D}} = \begin{pmatrix} \frac{\partial u}{\partial x} & \frac{1}{2} \left(\frac{\partial u}{\partial y} + \frac{\partial v}{\partial x} \right) & \frac{1}{2} \left(\frac{\partial u}{\partial z} + \frac{\partial w}{\partial x} \right) \\ \frac{1}{2} \left(\frac{\partial u}{\partial y} + \frac{\partial v}{\partial x} \right) & \frac{\partial v}{\partial y} & \frac{1}{2} \left(\frac{\partial v}{\partial z} + \frac{\partial w}{\partial y} \right) \\ \frac{1}{2} \left(\frac{\partial u}{\partial z} + \frac{\partial w}{\partial x} \right) & \frac{1}{2} \left(\frac{\partial v}{\partial z} + \frac{\partial w}{\partial y} \right) & \frac{\partial w}{\partial z} \end{pmatrix}$$

Drehgeschwindigkeitstensor

$$\underline{\underline{\omega}} = \begin{pmatrix} 0 & \frac{1}{2} \left(\frac{\partial u}{\partial y} - \frac{\partial v}{\partial x} \right) & \frac{1}{2} \left(\frac{\partial u}{\partial z} - \frac{\partial w}{\partial x} \right) \\ \frac{1}{2} \left(\frac{\partial v}{\partial x} - \frac{\partial u}{\partial y} \right) & 0 & \frac{1}{2} \left(\frac{\partial v}{\partial z} - \frac{\partial w}{\partial y} \right) \\ \frac{1}{2} \left(\frac{\partial w}{\partial x} - \frac{\partial u}{\partial z} \right) & \frac{1}{2} \left(\frac{\partial w}{\partial y} - \frac{\partial v}{\partial z} \right) & 0 \end{pmatrix}$$

Spannungstensor

$$\begin{pmatrix} -p + 2\eta \left(\frac{\partial u}{\partial x} - \frac{1}{3} \operatorname{div}(\underline{\underline{v}}) \right) & \eta \left(\frac{\partial u}{\partial y} + \frac{\partial v}{\partial x} \right) & \eta \left(\frac{\partial u}{\partial z} + \frac{\partial w}{\partial x} \right) \\ \eta \left(\frac{\partial v}{\partial x} + \frac{\partial u}{\partial y} \right) & -p + 2\eta \left(\frac{\partial v}{\partial y} - \frac{1}{3} \operatorname{div}(\underline{\underline{v}}) \right) & \eta \left(\frac{\partial v}{\partial z} + \frac{\partial w}{\partial y} \right) \\ \eta \left(\frac{\partial w}{\partial x} + \frac{\partial u}{\partial z} \right) & \eta \left(\frac{\partial w}{\partial y} + \frac{\partial v}{\partial z} \right) & -p + 2\eta \left(\frac{\partial w}{\partial z} - \frac{1}{3} \operatorname{div}(\underline{\underline{v}}) \right) \end{pmatrix}$$

Divergenz Des Spannungstensors

$$\operatorname{div}(\underline{\underline{\sigma}}) = -\nabla p + 2\operatorname{div}(\eta\underline{\underline{D}}) - \frac{2}{3}\nabla(\eta\operatorname{div}(\underline{\underline{v}}))$$

Inkompressible Strömung

$$\frac{\partial v}{\partial t} + \underline{\underline{v}} \cdot \nabla(\underline{\underline{v}}) = -\nabla \left(\frac{p}{\rho} \right) + \nu \Delta(\underline{\underline{v}}) + \underline{\underline{f}}$$

Kartesische Koordinaten (Newton'sche Fluide)

$$\begin{aligned} \rho \left[\frac{\partial u}{\partial t} + u \frac{\partial u}{\partial x} + v \frac{\partial u}{\partial y} + w \frac{\partial u}{\partial z} \right] &= -\frac{\partial p}{\partial x} + \rho f_x + \frac{\partial}{\partial x} \left[2\eta \left(\frac{\partial u}{\partial x} - \frac{\operatorname{div}(\underline{\underline{v}})}{3} \right) \right] + \frac{\partial}{\partial y} \left[\eta \left(\frac{\partial u}{\partial y} + \frac{\partial v}{\partial x} \right) \right] + \frac{\partial}{\partial z} \left(\eta \left(\frac{\partial u}{\partial z} + \frac{\partial w}{\partial x} \right) \right) \\ \rho \left[\frac{\partial v}{\partial t} + u \frac{\partial v}{\partial x} + v \frac{\partial v}{\partial y} + w \frac{\partial v}{\partial z} \right] &= -\frac{\partial p}{\partial y} + \rho f_y + \frac{\partial}{\partial x} \left[\eta \left(\frac{\partial v}{\partial x} + \frac{\partial u}{\partial y} \right) \right] + \frac{\partial}{\partial y} \left[2\eta \left(\frac{\partial v}{\partial y} - \frac{\operatorname{div}(\underline{\underline{v}})}{3} \right) \right] + \frac{\partial}{\partial z} \left(\eta \left(\frac{\partial v}{\partial z} + \frac{\partial w}{\partial y} \right) \right) \\ \rho \left[\frac{\partial w}{\partial t} + u \frac{\partial w}{\partial x} + v \frac{\partial w}{\partial y} + w \frac{\partial w}{\partial z} \right] &= -\frac{\partial p}{\partial z} + \rho f_z + \frac{\partial}{\partial x} \left[\eta \left(\frac{\partial w}{\partial x} + \frac{\partial u}{\partial z} \right) \right] + \frac{\partial}{\partial y} \left[\eta \left(\frac{\partial w}{\partial y} + \frac{\partial v}{\partial z} \right) \right] + \frac{\partial}{\partial z} \left(2\eta \left(\frac{\partial w}{\partial z} - \frac{\operatorname{div}(\underline{\underline{v}})}{3} \right) \right) \end{aligned}$$

Kartesische Koordinaten (Inkompressible Fluide)

$$\begin{aligned} \frac{\partial u}{\partial t} + u \frac{\partial u}{\partial x} + v \frac{\partial u}{\partial y} + w \frac{\partial u}{\partial z} &= -\frac{1}{\rho} \frac{\partial p}{\partial x} + \nu \left(\frac{\partial^2 u}{\partial x^2} + \frac{\partial^2 u}{\partial y^2} + \frac{\partial^2 u}{\partial z^2} \right) + f_x \\ \frac{\partial v}{\partial t} + u \frac{\partial v}{\partial x} + v \frac{\partial v}{\partial y} + w \frac{\partial v}{\partial z} &= -\frac{1}{\rho} \frac{\partial p}{\partial y} + \nu \left(\frac{\partial^2 v}{\partial x^2} + \frac{\partial^2 v}{\partial y^2} + \frac{\partial^2 v}{\partial z^2} \right) + f_y \\ \frac{\partial w}{\partial t} + u \frac{\partial w}{\partial x} + v \frac{\partial w}{\partial y} + w \frac{\partial w}{\partial z} &= -\frac{1}{\rho} \frac{\partial p}{\partial z} + \nu \left(\frac{\partial^2 w}{\partial x^2} + \frac{\partial^2 w}{\partial y^2} + \frac{\partial^2 w}{\partial z^2} \right) + f_z \end{aligned}$$

Couette-Strömung

$$u = U \frac{y}{h}$$

Viskosimeter

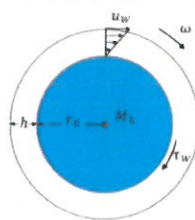
$$\tau_W = \frac{M_h}{2\pi r_0^2 b} \quad \left| \begin{array}{l} \eta = \frac{\tau_W}{\dot{\gamma}} \\ \dot{\gamma} = \frac{uW}{h} \quad \nu = \frac{\eta}{\rho} = \frac{\tau_W}{\rho \dot{\gamma}} \end{array} \right.$$

M_h = Haltemoment

$\dot{\gamma}$ = Schergeschwindigkeit

η = Dynamische Viskosität

ν = Kinematische Viskosität



Hagen-Poiseuille

Radialgeschwindigkeit

$$w = \frac{a}{4} (r^2 - R^2) = w_{max} \left(1 - \frac{r^2}{R^2} \right)$$

Massenstrom

$$\dot{m} = \frac{1}{2} \rho \pi w_{max} R^2 = \rho \pi R^2 \bar{w}$$

Reynoldszahl

$$Re_D = \frac{\rho \bar{w} D}{\eta} = \frac{\bar{w} D}{\nu}$$

Druckdifferenz

$$\Delta p = -\frac{4\eta w_{max}}{R^2} L = -\frac{8\eta \dot{m} L}{\rho \pi R^4} = -\underbrace{\frac{64}{Re_D} \frac{\rho L}{2D} \bar{w}^2}_{\lambda}$$

Allgemein

$$\frac{\eta}{r} \frac{\partial}{\partial r} \left(r \frac{\partial w}{\partial r} \right) = \frac{\partial p}{\partial z}$$

Wandschubspannung

$$\tau_W = -\frac{R}{2} \frac{\Delta p}{L}$$

$$\text{Einlaufströmung: } p_1 = p_0 - \frac{\rho}{2} \bar{w}^2$$

Länge des Übergangsbereichs

$$L_{12} \approx a D \left(\frac{\bar{w} D}{\nu} \right)^b = a D Re_D^b$$

Laminar

$$a \approx 0,02 - 0,06$$

$$b = 1$$

Turbulent

$$a \approx 0,6$$

$$b = 0,25$$

Durst

$$L_{12} = D \sqrt[b]{C_0^\beta + (C_1 Re_D)^\beta}$$

Rohrströmung

$$\beta = 1,6$$

$$C_0 = 0,619$$

$$C_1 = 0,0567$$

$$\beta = 1,6$$

$$C_0 = 0,631$$

$$C_1 = 0,0442$$

Kuhlmann

$$L_{12} \approx \frac{Re_D}{50} D$$

$$Re_L = \frac{v_\infty \rho \delta}{\eta}$$

Durchmesser
Rohr

Ähnlichkeitstheorie

Reynoldszahl

$$Re_L = \frac{\rho v_\infty L}{\eta} = \frac{v_\infty L}{\nu}$$

Strouhal-Zahl

$$Str = \frac{Lf}{v_\infty}$$

Machzahl

$$Ma = \frac{v_\infty}{c_\infty}$$

Froude-Zahl

$$Fr = \frac{v_\infty}{\sqrt{gL}}$$

Stokesche Formel

$$F_W = \frac{\rho}{2} v_\infty^2 c_W S = 6\pi\eta R v_\infty$$

Dimensionslose Kennzahlen

$$p = p^* p_\infty$$

$$\rho = \rho^* \rho_\infty$$

$$\eta = \eta^* \eta_\infty$$

$$f_x = f_x^* g$$

$$p = p^* p_\infty$$

$$\rho = \rho^* \rho_\infty$$

$$\eta = \eta^* \eta_\infty$$

$$f_x = f_x^* g$$

Vorgehensweise bei Modellversuchen

Reynoldssähnlichkeit Anstreben

$$Re_1 = Re_2$$

Definition der Bezugsgrößen

Messwerte Dimensionslos

Machen

Dimensionslose Beiwerte Mit
Bezugsgrößen Multiplizieren

Grenzschichten

Wandschubspannung

$$\tau_0 = \frac{\rho v_\infty^2}{6} \frac{d\delta}{dx}$$

Grenzschichtdicke

$$\frac{\delta}{x} = \sqrt{\frac{12\nu}{v_\infty x}} = \sqrt{\frac{12}{Re_x}}$$

Widerstandsbeiwert

$$c_f = \frac{2}{\sqrt{12Re_x}} = \frac{2\tau_0(x)}{\rho v_\infty^2}$$

Lokal

$$c_W = 2\sqrt{\frac{\nu}{3v_\infty x}} = \frac{2}{\sqrt{3Re_x}}$$

Gesamt

Kontinuitätsgleichung

$$\frac{\partial u}{\partial x} + \frac{\partial v}{\partial y} = 0$$

y-Impuls

$$\frac{\partial p}{\partial y} = 0$$

x-Impuls

$$u \frac{\partial u}{\partial x} + v \frac{\partial u}{\partial y} = -\frac{1}{\rho} \frac{\partial p}{\partial x} + \nu \frac{\partial^2 u}{\partial y^2}$$

Randbedingungen

$$u = \underbrace{v = 0}_{y=0}$$

$$u = \underbrace{u_\delta(x)}_{y=\delta}$$

Blasius-Gleichung

Variable

$$\eta = y \sqrt{\frac{v_\infty}{\nu x}} = \frac{y}{\delta}$$

Stromfunktion

$$\Psi(x, y) = \sqrt{v_\infty \nu x} \cdot f(\eta)$$

Blasius-Gleichung

$$f''' + \frac{1}{2} f f'' = 0$$

Randbedingungen

$$y = 0 / \eta = 0$$

$$y \rightarrow \infty / \eta \rightarrow \infty$$

$$u = v = f(0) = f'(0) = 0$$

$$u = v_\infty \quad | \quad f'(\eta \gg 1) = 1$$

Lösungen

η	f	f'	f''
0	0	0	0,3321
0,5	0,0415	0,1659	0,3309
1,0	0,1656	0,3298	0,3230
1,5	0,3701	0,4868	0,3026
2,0	0,6500	0,6298	0,2668
2,5	0,9963	0,7513	0,2174
3,0	1,3968	0,8460	0,1614
3,5	1,8377	0,9130	0,1078
4,0	2,3057	0,9555	0,0642
4,5	2,7901	0,9795	0,0340
5,0	3,2833	0,9915	0,0159
5,5	3,7806	0,9969	0,0066
6,0	4,2796	0,9990	0,0024
6,5	4,7793	0,9997	0,0008
7,0	5,2792	0,9999	0,0002
7,5	5,7792	1,0000	0,0001
8,0	6,2792	1,0000	0,0000

Ebene Platte (Laminar)

$$\tau_0 = \frac{0,3321 \rho v_\infty^2}{\sqrt{Re_x}}$$

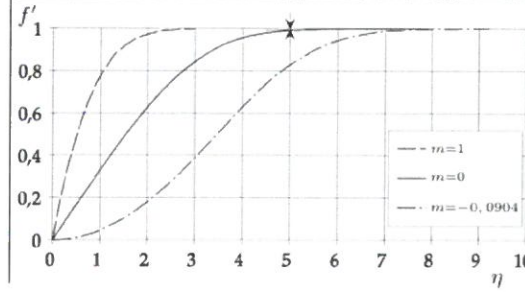
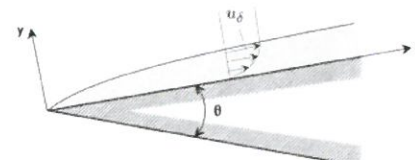
$$c_f = \frac{0,6642}{\sqrt{Re_x}} \quad c_W = \frac{1,328}{\sqrt{Re_x}}$$

$$\delta = \frac{5x}{\sqrt{Re_x}} \sim x^{0,5}$$

Keil

$$m = \frac{\theta}{2\pi - \theta}$$

$$u_\delta \approx x^m$$



$m = 1$: Ebene Staupunktströmung

$m = 0$: Ebene Platte

$m = -0,0904$: Grenzfall

$m < -0,0904$: Strömungsablösung

Turbulenz

<u>Reynoldszahl</u>	<u>Turbulenzgrad (Anströmung)</u>	<u>e^N-Methode</u>								
$Re(x) = \frac{v_\infty}{\nu} x$	$Tu = \frac{1}{\sqrt{3}U_\infty} \sqrt{\bar{u'^2} + \bar{v'^2} + \bar{w'^2}}$	$e^N = e^{\left(\int_{t_{ind}}^{t_{krit}} \beta_i dt \right)} = \frac{A(x_{krit})}{A(x_{ind})}$								
$Re_{x,krit}$ Ebene Platte: $3,5 \cdot 10^5 - 3,2 \cdot 10^6$ Rohr: $2,3 \cdot 10^3 - 4 \cdot 10^4$	<u>Schubspannungsgeschwindigkeit</u> $u_\tau = \sqrt{\frac{\tau_0}{\rho}}$									
<u>Reynolds-gemittelte Navier-Stokes-Gleichungen</u>		<u>Turbulenter Schubspannungstensor</u>								
$\rho \bar{u} \frac{\partial \bar{u}}{\partial x} + \rho \bar{v} \frac{\partial \bar{u}}{\partial y} = - \frac{\partial \bar{p}}{\partial x} + \eta \left[\frac{\partial^2 \bar{u}}{\partial x^2} + \frac{\partial^2 \bar{u}}{\partial y^2} \right] - \rho \frac{\partial}{\partial x} (\bar{u'} \bar{v'}) - \rho \frac{\partial}{\partial y} (\bar{u'} \bar{v'})$ $\rho \bar{u} \frac{\partial \bar{v}}{\partial x} + \rho \bar{v} \frac{\partial \bar{v}}{\partial y} = - \frac{\partial \bar{p}}{\partial y} + \eta \left[\frac{\partial^2 \bar{v}}{\partial x^2} + \frac{\partial^2 \bar{v}}{\partial y^2} \right] - \rho \frac{\partial}{\partial x} (\bar{u'} \bar{v'}) - \rho \frac{\partial}{\partial y} (\bar{v'} \bar{v'})$										
<u>Reyboldsspannungen</u> $\tau_{xx,turb} = -\rho \bar{u'^2}$ $\tau_{yx,turb} = -\rho \bar{u'} \bar{v'}$	<u>Ansatz Von Boussinesq</u> $\tau_{ges} = \tau_{yx} + \tau_{yx,turb} = (\eta + \eta') \frac{\partial \bar{u}}{\partial y}$	<u>Scherrate</u> $\frac{\partial \bar{u}}{\partial y} = -\frac{\rho \bar{u'} \bar{v'}}{\eta'}$								
<u>Universelles Wandgesetz</u> $u = \frac{\tau_0 y}{\eta} = \frac{\tau_0 y}{\rho \nu} = \frac{u_\tau^2 y}{\nu}$ $\Rightarrow \frac{u}{u_\tau} = \frac{u_\tau y}{\nu}$ $u^+ = \text{Geschwindigkeitsprofil}$ $y^+ = \text{Ausdehnung Von Gebiet a}$	<u>Prandtlsche Mischungsweghypothese</u> $\bar{u'} \bar{v'} = -l^2 \left(\frac{\partial u}{\partial y} \right) \left \frac{\partial u}{\partial y} \right $ <u>Prandtlsche Mischungsweglänge</u> $u' = -l \frac{\partial u}{\partial y} = ky \frac{\partial u}{\partial y} \approx 0,41y \frac{\partial u}{\partial y}$	<u>Logarithmisches Wandgesetz</u> $\frac{u}{u_\tau} = \frac{\ln(10)}{k} \log \left(\frac{u_\tau y}{\nu} \right) + C_2$ $\approx 5,75 \log \left(\frac{u_\tau y}{\nu} \right) + 5,2$ <u>Lokaler Widerstandsbeiwert</u> $c_f = \frac{0,370}{\log (Re_x)^{2,58}} \quad \quad c_W = \frac{0,455}{\log (Re_L)^{2,58}}$								
<u>Gebiete</u> a: Laminare Unterschicht (UWG) b: Wandnahes Gebiet (LWG) c: Außenbereich (PTG)		<u>Potenzgesetz</u> <u>Platte</u> $\frac{u}{u_\infty} = \left(\frac{y}{\delta} \right)^{\frac{1}{n}}$ $n \approx 7 - 8$ <u>Grenzschichtdicke</u> $\delta = \frac{0,37x}{\sqrt[5]{Re_x}} \sim x^{0,8}$ <u>Rohr</u> $\frac{u}{u_{max}} = \left(\frac{y}{R} \right)^{\frac{1}{n}}$ <table border="1"><tr><td>Re</td><td>$4 \cdot 10^3$</td><td>$1 \cdot 10^5$</td><td>$2 \cdot 10^6$</td></tr><tr><td>n</td><td>6</td><td>7</td><td>10</td></tr></table> <u>Lokaler Widerstandsbeiwert</u> $c_f = \frac{0,0576}{\sqrt[5]{Re_x}}$ $c_W = \frac{0,074}{\sqrt[5]{Re_L}}$	Re	$4 \cdot 10^3$	$1 \cdot 10^5$	$2 \cdot 10^6$	n	6	7	10
Re	$4 \cdot 10^3$	$1 \cdot 10^5$	$2 \cdot 10^6$							
n	6	7	10							
<u>Wandschubspannung</u>										
<u>Platte</u> $\tau_0 = 0,0225 \rho u_\infty^2 \left(\frac{\nu}{u_\infty \delta} \right)^{\frac{1}{4}}$	<u>Rohr</u> $\tau_0 = 0,0225 \rho u_{max}^2 \left(\frac{\nu}{u_{max} R} \right)^{\frac{1}{4}}$									

Fluidkinematik

Fluidbewegung

<u>Lagrange</u> $\frac{Df}{Dt} = \frac{\partial f}{\partial t} + u \frac{\partial f}{\partial x} + v \frac{\partial f}{\partial y} + w \frac{\partial f}{\partial z} = \frac{\partial f}{\partial t} + \underline{v} \cdot \nabla(f)$	<u>Euler</u> $\frac{df}{dt} = \frac{\partial f}{\partial t} + \frac{\partial f}{\partial x} \frac{dx}{dt} + \frac{\partial f}{\partial y} \frac{dy}{dt} + \frac{\partial f}{\partial z} \frac{dz}{dt}$
--	---

Rohrhydraulik

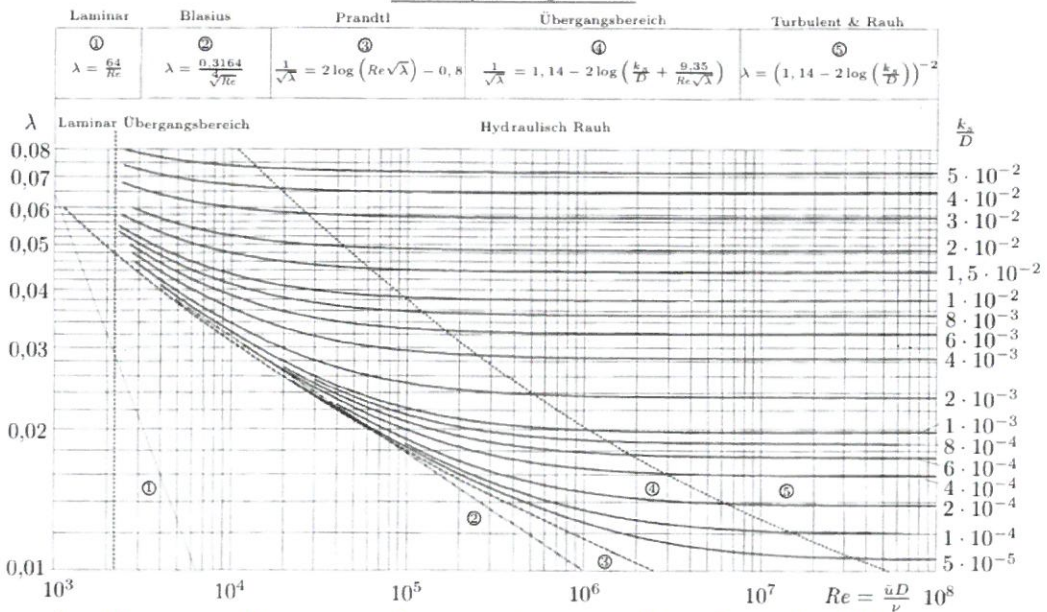
Bernoulli-Gleichung

Stationär	Mittelwerte Stationär	Tatsächlich Instationär
$\frac{u_1^2}{2g} + \frac{p_1}{\gamma} + z_1 = \frac{u_2^2}{2g} + \frac{p_2}{\gamma} + z_2 + H_{E1 \rightarrow 2}$	$\bar{u} = \frac{1}{T} \int_{t=t_1}^{t_1+T} u dt$	$\frac{u_1^2}{2g} + \frac{p_1}{\gamma} + z_1 = \frac{u_2^2}{2g} + \frac{p_2}{\gamma} + z_2 + \frac{1}{g} \int_{s_1}^{s_2} \frac{\partial u}{\partial t} ds + H_{E1 \rightarrow 2, instat}$
$\frac{\rho}{2} u_1^2 + p_1 + \gamma z_1 = \frac{\rho}{2} u_2^2 + p_2 + \gamma z_2 + \Delta p_{V1 \rightarrow 2}$	<u>Reynoldszahl</u>	<u>Universelles Rohreibungsgesetz</u>
$\Delta p_{V1 \rightarrow 2} = \gamma H_{E1 \rightarrow 2}$	$Re_D = \frac{\bar{u} D}{\nu}$	$\Delta p_{V1 \rightarrow 2} = \lambda \frac{L \rho}{2D} \bar{u}^2$ $h_{r1 \rightarrow 2} = \lambda \frac{L \bar{u}^2}{2D g}$

Stromröhre	Hydraulisch Glattes Rohr ($\frac{k_s u_\tau}{\nu} \leq 5$)		
$\frac{\rho}{2} \alpha \bar{u}_1^2 + p_1 + \gamma z_1 = \frac{\rho}{2} \alpha \bar{u}_2^2 + p_2 + \gamma z_2 + \Delta p_{V1 \rightarrow 2}$	<u>Laminar</u>	<u>Turbulent</u>	<u>Blasius</u>
$\bar{u} = \frac{1}{A} \int_A u dA = \frac{Q}{A} = \frac{\dot{V}}{A}$	<u>Hagen-Poiseuille</u>	<u>Prandtl</u>	$\lambda = 0,3164 (Re)^{-\frac{1}{4}}$
Laminare Strömung: $\alpha = 2$	$\lambda = \frac{64}{Re_D}$	$\frac{1}{\sqrt{\lambda}} = 2 \log (Re \sqrt{\lambda}) - 0,8$	$Re > Re_{krit}$
Turbulente Strömung: $\alpha \approx 1$	$Re_{krit} = 2,3 \cdot 10^3 - 3 \cdot 10^3$	Logarithmisches Geschwindigkeitsgesetz	$Re_{krit} < Re < 10^5$
<u>Hydraulischer Durchmesser</u>	<u>Hydraulisch Rauhes Rohr</u>		

Hydraulischer Durchmesser		Sandrauhigkeiten	Übergangsbereich	$\frac{k_s u_\tau}{\nu} \geq 70$
$D = d_h = 4 \frac{A}{U}$		Oberfläche	$k_s = [\text{mm}]$	
Querschnitt	d_h	Genieteter Stahl	0,9 - 9	
Kreis	D	Eisenbeton	0,3 - 3	
Quadrat	H	Holz	0,2 - 0,9	
Dreieck	$\frac{S}{\sqrt{3}}$	Gußeisen	0,25	
Rechteck	$\frac{2HB}{B+H}$	Verzinktes Eisen	0,15	
Kreisring	$D - d$	Baustahl	0,05	
Spalt	$2H$	Gezogene Rohre	0,0015	
Ellipse	$1,3H (\frac{B}{H} = 2)$ $1,57H (\frac{B}{H} \rightarrow \infty)$			

Moody-Diagramm



In Klausur druckschreiben, wenn man Moody nutzt!

Rohrhydraulik

Leistung von Turbine und Pumpe

Allgemein

$$P = \Delta p A \bar{u} = \Delta p Q = \gamma Q h$$

$$Q = \dot{V}$$

$$\gamma = \rho g$$

Mit Wirkungsgrad

Turbine

$$(\Delta p)_T = \frac{P_T}{\eta_T Q}$$

$$h_T = \frac{P_T}{\eta_T \gamma Q}$$

Pumpe

$$(\Delta p)_P = -\frac{\eta_P P_P}{Q}$$

$$h_P = -\frac{\eta_P P_P}{\gamma Q}$$

Rohrleitungsverluste

$$\Delta p_{V_\nu} = \zeta_\nu \frac{\rho}{2} \bar{u}_\nu^2$$

$$h_\nu = \zeta_\nu \frac{\bar{u}_\nu^2}{2g}$$

$$\bar{u}_\nu = \frac{Q}{A_\nu}$$

Verluste Durch Rohrgeometrie

Querschnittssänderung

Eintritt

	Eintrittskante	ζ_e	
a	Scharf	0,5	(a)
	Gebrochen	0,25	
	Gut Abgerundet	0,06	(b)
b	Vorspringend	< 3,0	

Austritt

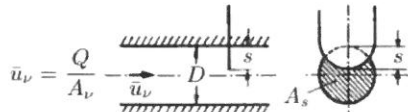
$$\text{Turbulent: } \zeta_a \approx 1,0$$

$$\text{Laminar: } \zeta_a \approx 2,0$$

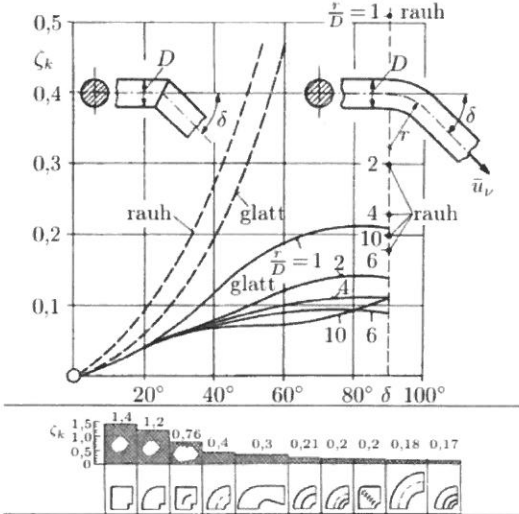


Schieber

$\frac{s}{D}$	$\frac{1}{8}$	$\frac{2}{8}$	$\frac{3}{8}$	$\frac{4}{8}$	$\frac{5}{8}$	$\frac{6}{8}$	$\frac{7}{9}$	$\frac{8}{8}$
$\frac{A_s}{A}$	0,948	0,856	0,743	0,609	0,466	0,315	0,159	0
ζ_s	0,07	0,26	0,81	2,06	5,52	17,0	97,8	



Krümmer



Verengung

Allmähliche Verengung (Düse)

$$\Delta p_{Düse} = \frac{\rho}{2} \bar{u}_2^2 \left[1 - \left(\frac{A_2}{A_1} \right)^2 \right]$$

Druckverlustbeiwert

$$\zeta_f \approx 0$$

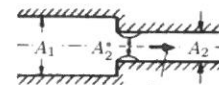


Plötzliche Verengung

$$\Delta p_{Eng} = \frac{\rho}{2} \bar{u}_2^2 \left[1 - \left(\frac{A_2^*}{A_1} \right)^2 \right]$$

Druckverlustbeiwert

$$\zeta_f = \left(\frac{A_2}{A_2^*} - 1 \right)^2 = \left(\frac{1}{\mu} - 1 \right)^2$$



Diffusor

Allmähliche Erweiterung

Ideal

$$\Delta p_{ideal} = \frac{\rho}{2} \bar{u}_1^2 \left[1 - \left(\frac{A_1}{A_2} \right)^2 \right]$$

Real

$$\Delta p_{real} = \eta \frac{\rho}{2} \bar{u}_1^2 \left[1 - \left(\frac{A_1}{A_2} \right)^2 \right]$$

Diffusorwirkungsgrad

$$\eta = \frac{\Delta p_{real}}{\Delta p_{ideal}}$$

Druckverlustbeiwert

$$\zeta = (0,12 \dots 0,2) \left[1 - \left(\frac{A_1}{A_2} \right)^2 \right]$$

Plötzliche Erweiterung

Ideal

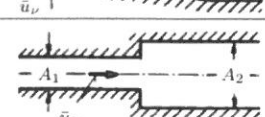
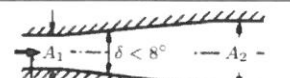
$$\Delta p_{ideal} = \frac{\rho}{2} \bar{u}_1^2 \left[1 - \left(\frac{A_1}{A_2} \right)^2 \right]$$

Real

$$\Delta p_{Carnot} = \frac{\rho}{2} \bar{u}_1^2 \left[2 \frac{A_1}{A_2} \left(1 - \frac{A_1}{A_2} \right) \right]$$

Druckverlustbeiwert

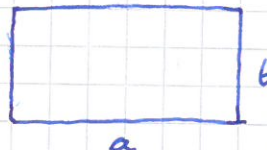
$$\zeta = \left(1 - \frac{A_1}{A_2} \right)^2$$



Rechteck

$$\text{Umfang } U = 2a + 2b$$

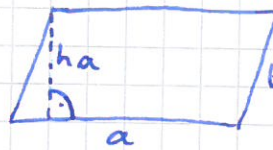
$$\text{Fläche } A = a \cdot b$$



Parallelogramm

$$\text{Umfang } U = 2a + 2b$$

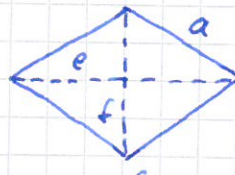
$$\text{Fläche } A = a \cdot h_a$$



Rauten

$$\text{Umfang } U = 4a$$

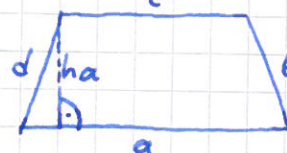
$$\text{Fläche } A = (e \cdot f) : 2$$



Trapez

$$\text{Umfang } U = a + b + c + d$$

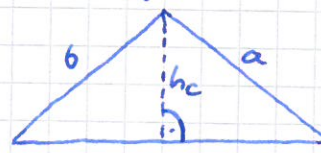
$$\text{Fläche } A = (a + c) : 2 \cdot h_a$$



Dreieck

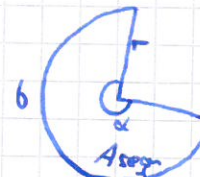
$$\text{Umfang } U = a + b + c$$

$$\text{Fläche } A = \frac{1}{2} \cdot c \cdot h_c$$

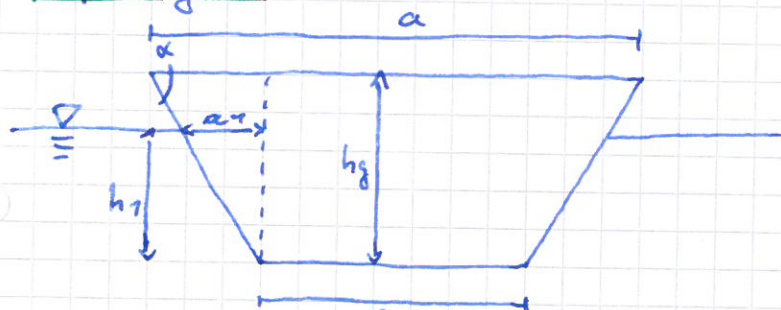


Kreissegment

$$\frac{A_{\text{segm.}}}{\pi r^2} = \frac{\alpha}{2\pi r} = \frac{\alpha}{360}$$



Bsp. Aufgabe:



$$\frac{h_g}{a-c} = \tan(\alpha) = \frac{h_1}{a_1}$$

$$a_1 = \frac{h_1}{h_g} \cdot \frac{a-c}{2}$$

Breite an Wasseroberfläche: $a_1 = 2a_1 + c_1$



$$\frac{a}{c} = \frac{a'}{h} \rightarrow a' = h \cdot \frac{a}{c}$$

$$\text{oder } \tan(\alpha) = \frac{c}{a/2} = \frac{h}{a'/2} \rightarrow a' = h \cdot \frac{a}{c}$$

Einheiten Umrechnungen

$$1 \text{ hPa} = 100 \text{ Pa}$$

$$1 \text{ bar} = 10^5 \text{ Pa}$$

$$5 \frac{\text{m}^3}{\text{min}} = \frac{5 \text{m}^3}{60 \text{s}} = \frac{1}{12} \frac{\text{m}^3}{\text{s}}$$

$$70 \text{ L} = 70 \cdot 0,001 \text{ m}^3 = 0,07 \text{ m}^3$$

$$\text{m}^2 \xrightarrow{-10^{-6}} \text{m}^2$$

$$5 \frac{\text{L}}{\text{min}} = 5 \cdot \frac{0,001 \text{ m}^3}{60 \text{s}}$$

$$\text{Centi} : 10^{-2}$$

$$\text{Milli} : 10^{-3}$$

Physikalische Eigenschaften:

Kalte Gasgleichung: $P = PRT$ mit $P = \frac{M}{V}$ $\rightarrow PV = MRT$

$$\frac{P_1}{P_2} = \frac{P_2}{P_1}$$

$$\frac{P_1}{V_2} = \frac{P_2}{V_1}$$

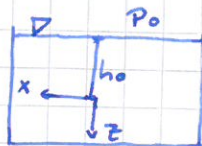
Zustandsänderungen: isobar $P_1 = P_2 : T_2 = \frac{P_1}{P_2} T_1 = \frac{V_2}{V_1} T_1$

isochor: $\frac{P_1}{P_0} = \frac{T_1}{T_0} ; \frac{P_1}{T_1} = \frac{P_0}{T_0}$

Spez. Gaskonstante: $R = \frac{R_M}{M} = C_p - C_v$ mit $R_M = 8,374 \frac{\text{kJ}}{\text{mol K}}$
und $M = \text{Molare Masse}$

Druck in der Tiefe

$$p(z) = p_0 + \rho g (h_0 + z)$$



$$\text{Falls } h_0 \text{ nach oben: } p(z) = p_0 - \rho g z$$

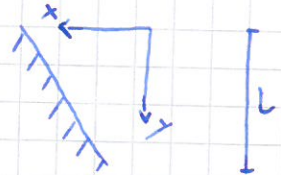
Überdruck: "Wie viel Druck über" "Wie viel mehr": $\bar{p}_{\text{über}} = p - p_0$

Kraft in x-Richtung:

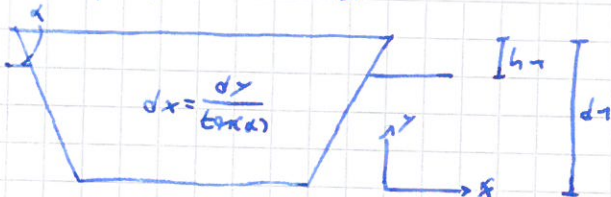
Wandverlauf spielt keine Rolle ^{Tiefe}

$$dF_x = p_0 + \rho g (h_0 + y) \cdot b \cdot dy$$

$$F_x = \int_{y_1}^{y_2} (p_0 + \rho g (h_0 + y)) \cdot b \cdot dy = \int_0^L (p_0 + \rho g (h_0 + y)) \cdot b \cdot dy$$



Mit prozierter Fläche



Aproj-Druck in mittlerer Höhe:

$$\bar{F}_x = \frac{[p_0 + \rho g (\frac{dy-h}{2})]}{\text{Druck mittlere Tiefe}} \cdot \frac{(dy-h) \cdot b}{A_{\text{proj}}}$$

Kraft in y-Richtung

Wandverlauf!

$$dF_y = p_0 + \rho g (h_0 + y) b / dy$$

$$dF_y = p_0 + \rho g (h_0 + y) b dy$$

$$F_y = \int_0^L (p_0 + \rho g (h_0 + y)) b dy$$

Geradengleichung Wandverlauf $y = -x + L$

$$\rightarrow dx = -dy$$

Berechnung des Momentes um Punkt A

$$dM_A = -1 \cdot dF_x \cdot y + 1 \cdot dF_y \cdot x \quad (\text{siehe oben})$$

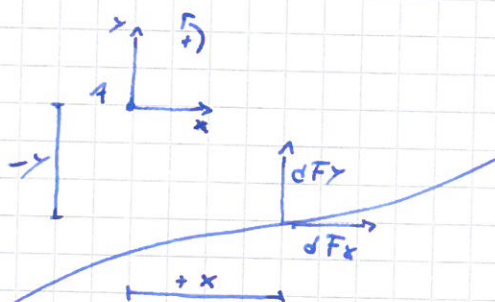
$$dM_A = -(p_0 + \rho g (h_0 + y) b \cdot dy) \cdot y + (p_0 + \rho g (h_0 + y) b \cdot dy) \cdot x$$

$$dM_A = -\rho g (h_0 + y) \cdot b \cdot dy \cdot y + \rho g (h_0 + y) \cdot b \cdot dy \cdot x$$

$$\text{mit Gerade: } y = -x + L \rightarrow x = L - y$$

$$dM_A = \rho g b (h_0 + y) (L - y) dy$$

$$M_A = \int_0^L \rho g b (h_0 + y) (L - y) dy$$



$$dM_A = -y \cdot dF_x + x \cdot dF_y$$

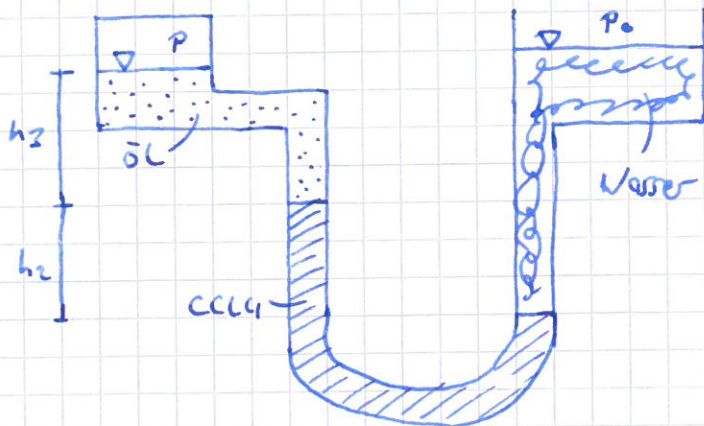
Bsp. Aufgabe: Erhitzen von Stickstoff damit seine auf bestimmter Höhe bleibt

1. Masse ^{im} des Körpers vor Erwärmung: $M_{N_2} = P_{N_2,1} \cdot V_{N_2,1} = \frac{\pi}{4} d s^2 (H_s - H_s, CH_4,1)$
2. Verdrängtes Volumen nach Erwärmung: (neue Höhe) $V_v = \frac{\pi}{4} d s^2 (H_s - H_o)$
3. $F_A = F_G \rightarrow$ Menge des Gases nach Erwärmung: $P_{CH_4} g V_v = g(M_{Zp} + V_{CH_4} P_{CH_4} + M_{N_2})$
 $\rightarrow V_{CH_4,2}$
4. Volumen Stickstoff nach Erwärmen: $V_{N_2,2} = V_s - V_{CH_4,2}$

5. Temperatur nach Erwärmen (Über $P_1 = P_2$):

$$T_2 = \frac{P_{N_2,1}}{P_{N_2,2}} T_1 = \frac{V_{N_2,2}}{V_{N_2,1}} \cdot \frac{M_{N_2}}{M_{N_2}} T_1$$

Wassersäule



$$\begin{aligned} & \text{Druck links auf Höhe } + \\ & = \text{Druck rechts auf Höhe } + \\ & P + \rho_{ÖL} h_3 g + \rho_{Wasser} h_2 g = P_0 + \rho_w g h_1 \end{aligned}$$

$$\begin{aligned} & P_1 + \rho g h_1 = P_2 \\ & P_2 - P_1 = \rho g h \\ & P_2 + \rho g h = P_1 \\ & P_2 - P_0 = -\rho g h \\ & P_2 - P_3 = \Delta P_{23} \end{aligned}$$

Schwebefestigkeit

Auftrieb = Gewichtskraft

$$P_F \cdot g \cdot V_v = m \cdot g \quad m \stackrel{!}{=} (m_{Leer} + m_{Beladung}) \quad \Rightarrow \rho = \frac{P}{RT}$$

$$\text{evtl. } m \text{ durch } PV \text{ ersetzen: } F_B = g \cdot (V_1 P_1 + V_2 P_2)$$

$$P = RTP$$

Eintauchtiefe über V_v :

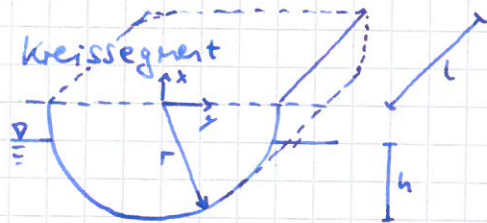
evtl. erst F_B ausrechnen, falls da alles gegeben, \rightarrow dann $V_v \rightarrow$ Überlegen woraus sich V_v zusammensetzt \rightarrow z.B. Eintauchtiefe bestimmen.

$$\text{Max. Beschleunigung } a_{max} = \frac{F_A, max + F_W, max}{m} \quad \text{mit } F_W, max = \frac{\rho}{2} V^2 \cdot A \cdot C_w$$

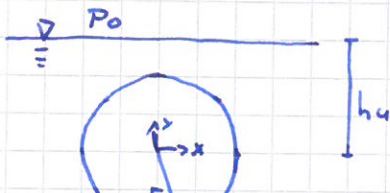
$$\text{Wasserstand in Werft: } h_w = \frac{V_w + V_v}{L_x \cdot L_z}$$

$V_w \stackrel{!}{=} \text{ Wasservolumen in Werft}$
 $L_{x,z} \stackrel{!}{=} \text{ Grundfläche der Werft}$

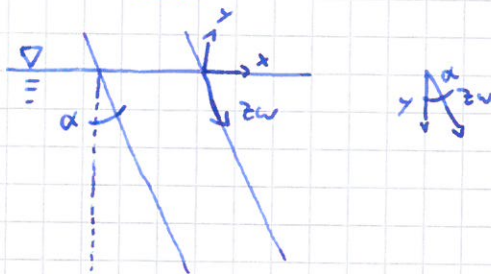
Wandverläufe



$$V_v = l \cdot 2 \cdot \int_{-r}^{-r+h} -\sqrt{r^2 - x^2} dx = 1$$



$$\left. \begin{aligned} p(y=0) &= p_0 + \rho \cdot g \cdot h_u \\ y(\ell) &= r \cdot \sin(\ell) \end{aligned} \right\} p(\ell) = p_0 + \rho \cdot g (h_u - r \sin(\ell))$$



$$\cos(\alpha) = -\frac{z_w}{r} \rightarrow z_w(\ell) = -\frac{1}{\cos(\alpha)} \ell$$

$$\rightarrow p(z_w) = p_0 - \rho \cdot g \cdot y(z_w) = p_0 + \rho \cdot g \cdot \cos(\alpha) \cdot z_w$$

Viskositäten

$$\text{Gase: } \frac{n}{n_{273}} = \frac{T_6 + T_S}{T + T_S} \left(\frac{T}{T_6} \right)^{3/2}$$

Luft: $T_S = 772 \text{ K}$ $n_6 = 77,7 \cdot 10^{-6} \text{ Pa.s}$ bei $T_6 = 273,76 \text{ K}$

$$\text{Flüssigkeiten: } \frac{n}{n_0} = \exp \left(\frac{T_A}{T + T_B} - \frac{T_A}{T_6 + T_B} \right) \quad T \hat{=} \text{gegebene Temp in } \text{°K}$$

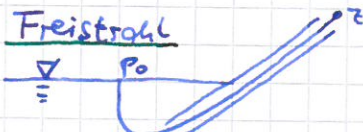
$\hookrightarrow n_{0 \text{ °C}}$

Wasser: $T_A = 506 \text{ K}$, $T_B = -750 \text{ K}$, $T_6 = 273,76 \text{ K}$

$$n_6 = 7,79 \cdot 10^{-3} \text{ Pa.s} \quad (\text{oder } n_0, \text{ wenn gegeben})$$

$$0^\circ \text{K} \hat{=} -273,75^\circ \text{C}$$

$$\nabla = \frac{n}{\rho} \quad ; \quad \eta = \mu \hat{=} \text{dyn. Viskosität} \quad ; \quad \eta \hat{=} \text{kin. Viskosität}$$



Freistrahlbedingung: $p_0 = p_2$; Freistrahl unter Wasser beachten

Volumenstrom

$$\dot{V} = Q = V \cdot A \quad \left[\frac{\text{m}^3}{\text{s}} \right]$$

$$\dot{V} = H \cdot \int_{x_1}^{x_2} v(x) dx \quad \begin{array}{c} H \\ \hline x_1 & x_2 \end{array}$$

$$V = \frac{\dot{Q}}{A}$$

Impulsstrom

$$F = P \cdot U^2 \cdot H = P \cdot H \cdot \int_{x_1}^{x_2} v(x)^2 dx$$

$$\text{aus } F = I = m \cdot \dot{v} = Q \cdot P \cdot U \cdot A$$

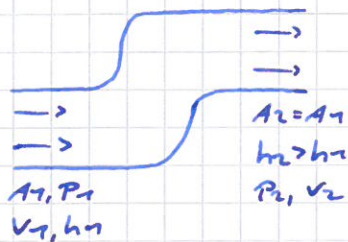
$$F = P \cdot U^2 \cdot A$$

Kontin-Gleichung

$$\frac{\partial}{\partial t} \iiint \rho dv + \iint_s \rho v ds = 0$$

Stromröhre: $\dot{m} = -V_1 \cdot A_1 \cdot \rho_1 + V_2 \cdot A_2 \cdot \rho_2$

Einströmen \oplus ; Ausströmen \ominus [auf \vec{n} achten]



$$A_1 V_1 = V_2 A_2; P_{dyn1} = P_{dyn2}; P_{ges} = P_{start} + P_{dyn} + P_{gh}$$

Impulssatz

$$\iiint \frac{\partial \rho v}{\partial t} dv + \iint_s \rho v (v \cdot \vec{n}) ds = F_p + F_f + F_{ur} F_R \quad \text{kraft auf Körper...} = -\bar{F}_k$$

Vorgehen:

1) Wahl des KOS

\rightarrow Impulssatz aufstellen mit ... + F_{nx}

2) Wahl der KV - am Rand müssen alle Zustände $\rightarrow F_x = -\bar{F}_{nx} \dots$ so weiter rechnen

bekannt sein: \bar{F}_p : Druckkraft; wirken von außen auf KV

$\rightarrow \bar{F}_p = \text{Druck} \cdot \text{Fläche}$

$$\rightarrow P \cdot g \cdot V$$

\bar{F}_f : Volumenkraft; innerhalb der KV; z.B. G (bei flüssigen Medien)

\rightarrow keine Rolle falls horizontal (G in z-Richtung, kein G in x, y Richtung)

\bar{F}_{ur} : Körper auf den Strömungskraft ausübt

\bar{F}_R : Reibungskraft auf Rand der KV

3) Kräfte in Skizze einzeichnen

4) Formel in x- und z-Richtung lösen.

Rausströmen \oplus ; reinströmen \ominus [auf \vec{n} achten!]

Kräfte einzeichnen:

$$\iint_s \rho v (v \cdot \vec{n}) ds$$

$$= F_p + F_f + F_h + F_R$$

$$= -\bar{F}_k + (P - P_0) \cdot A_{proj}$$

Impulssumme raus! Druckkraft immer rein!

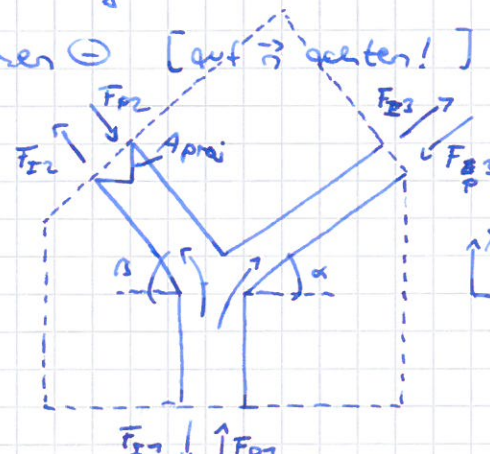
$$F_i$$

$$-P_{V1}^2 \cdot A_1 + P_{V2}^2 \cdot A_2 =$$

$$F_D$$

$$= (P_1 - P_\infty) A_1 -$$

$$-(P_2 - P_\infty) A_2 + \bar{F}_{Nx}$$

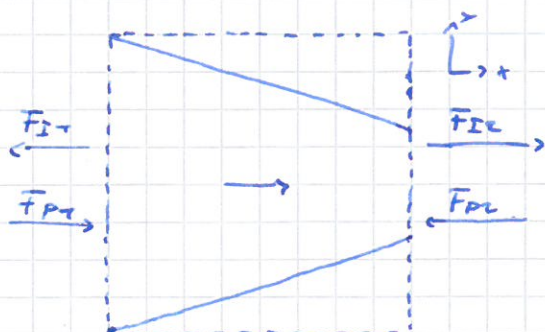


P_0 wirkt überall von außen auf KV

A_{proj} über —

Falls alles Freistrand dann keine Druckkraft

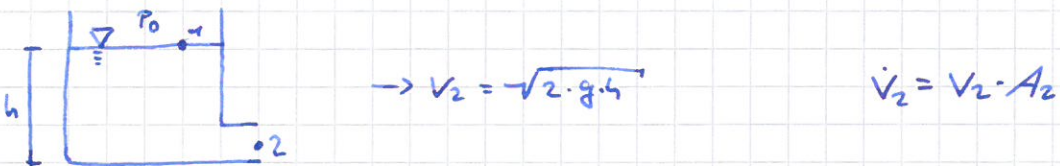
$$(\sum \bar{F}_p = \sum \bar{F}_i - \bar{F}_k)$$



Bernoulli

Druckform: $P_1 + \frac{\rho}{2} v_1^2 + \rho \cdot g \cdot z = P_2 + \frac{\rho}{2} v_2^2 + \rho \cdot g \cdot z$

Toricelli: $v_2 = \sqrt{2 \cdot g \cdot h}$ falls $P_1 = P_2 = P_0$ und $v_1 \approx 0$



Zeit bis vollständig entleert!

$$A_{\text{Kessel}} \cdot v_{\text{sink}} = A_{\text{Rohr}} \cdot v_B$$

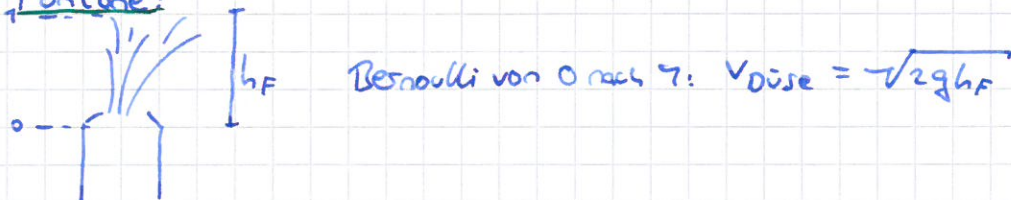
$$\rightarrow -\frac{dh}{dt} = \sqrt{2gh}$$

$$\rightarrow -\frac{dh}{dt} \cdot \frac{\pi}{4} dA^2 = \sqrt{2gh} \cdot \frac{\pi}{4} dA^2$$

$$-\frac{dh}{\sqrt{h}} = \left(\frac{dh}{dt}\right)^2 \sqrt{2g} dt$$

$$\rightarrow \text{Integration } \int_H^0 = \int_0^t \dots t(h=0)$$

Fontäne:



Bernoulli instationär und Reibungsfrei

$$P_1 + \rho g H_1 + \frac{\rho}{2} v_1^2 = P_2 + \rho g H_2 + \rho \int_{v_1}^{v_2} \frac{\partial v}{\partial t} ds$$

$$\downarrow$$

$$P_1 + \rho g H_1 = P_2 + \frac{\rho}{2} v_2^2 + \rho \frac{dv}{dt} L$$

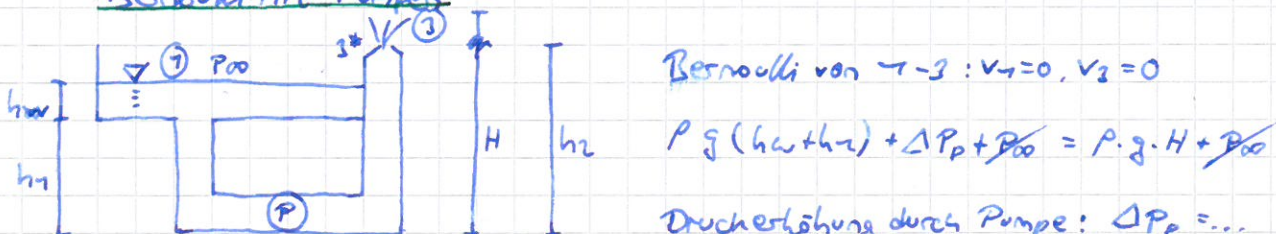
nach $\frac{dv}{dt}$ umstellen

$$dt = \dots dv \quad \rightarrow \Delta t = \int_0^T dt = \int_0^T \dots v \frac{dv}{dt} = \dots$$

Bsp: 99% Endgeschw.: 0.99 * vstat
vstat vorher ausgerechnet

... vstat

Bernoulli mit Pumpe



Druck in der Düse: 1-3* $\rho g (h_w + h_1) + \Delta P_p + P_{00} = \frac{\rho}{2} v^2 + \rho \cdot g \cdot h_2 + P_3^*$

$$P_3^* = \dots$$

Verlustbehafteter Bernoulli

1. Prüfen ob laminar ($Re < 2300$) oder turbulent

$$Re = \frac{v \cdot D}{\nu} \quad \text{oder} \quad Re = \frac{v \cdot D_{\text{h}} \cdot \rho}{\eta} \quad \text{oder} \quad Re = \frac{v \cdot D_{\text{h}} \cdot \rho}{\mu}$$

2. Rohreitigkeitszahl λ bestimmen

Moody: $\frac{h_s}{D}$ berechnen liefert Kurve

→ Schnitt mit Reynolds-Zahl liefert λ -Wert

Berechnen: Im Moody schaue welche Formel gilt → λ berechnen

$$\begin{aligned} 3. \text{ Bernoulli aufstellen: } \frac{\rho}{2} \alpha v_1^2 + p_1 + \rho \cdot g \cdot h_1 &= \frac{\rho}{2} \alpha v_2^2 + p_2 + \rho g h_2 + \Delta p_{\text{verlust}} \\ \rightarrow \frac{\rho}{2} \alpha v_1^2 + p_1 + \rho \cdot g \cdot h_1 &= \frac{\rho}{2} \alpha v_2^2 + p_2 + \rho g h_2 + \underbrace{\frac{\rho}{2} v_2^2 (\lambda \frac{L}{D_{\text{h}}} + \epsilon \dots + \epsilon \dots)}_{\text{Druckverlust infolge Reibung}} \end{aligned}$$

Mit $\alpha = 7$ turbulent } nicht im Verlustterm!
 $\alpha = 2$ laminar

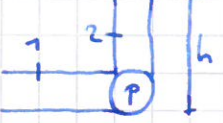
$$\text{Für turbulent: } (\alpha = 7): \frac{\rho}{2} v_1^2 + p_1 + \rho g h_1 = \frac{\rho}{2} v_2^2 (7 + \lambda \frac{L}{D} + \epsilon + \epsilon \dots) + p_2 + \rho g h_2$$

Falls unterschiedliche Röhrdurchmesser: Reibungsterm immer mit der

lokalen Geschwindigkeit: $v_1 \quad v_2 \quad \dots + \frac{\rho}{2} v_1^2 \lambda \frac{L}{D} + \frac{\rho}{2} v_2^2 \lambda \frac{L}{D}$

Pumpen und Turbinen

Pumpe: Energiezufluss: Druck erhöhung → Turbine: Energieentnahme: Druck senkung

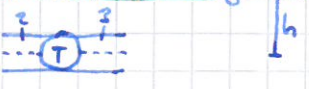
Pumpleistung:  $\Delta p_p = p_2 - p_1 = p_2 - (p_0 + \rho g h)$

$$P_p = \Delta p_p \cdot A \cdot v_1 \quad (Q = \dot{V}) \quad [W]$$

$$\text{Mit Wirkungsgrad: } P_p = \frac{\Delta p_p \cdot A \cdot v_1}{\eta}$$

Sieden: $p = 0 \rightarrow$ Sieden vor der Pumpe am Punkt des niedrigsten Drucks

$$\text{Zurück zu } P: p_0 = \underbrace{p_{\text{sieden}}}_{=0} + \frac{\rho}{2} v^2 (7 + \epsilon) \rightarrow v = \dots \quad Q_{\max} = V \cdot A = \dots$$

Turbinenleistung:  $\Delta p_t = p_2 - (p_0 + \rho g h) \rightarrow P_t = \Delta p_t \cdot A v_2$ Wirkungsgrad

Oder falls mit Wirkungsgrad:

$$P_t = \Delta p_t \cdot A v_2 \cdot \eta_t \quad [W]$$

Idealtheorie: O: Original ; M: Modell

$$Re_{\text{o}} = Re_{\text{M}}$$

Widerstandsbeiwerte: $C_{w,o} = C_{w,M}$

mit: Beschleunigung:

$$F_w = \frac{\rho}{2} v^2 \sinh A c_w$$

$$\alpha = \frac{F \text{ [N]}}{m \text{ [kg]}} \quad [\frac{m}{s^2}]$$

↳ Projektionse Fläche, die für Widerstand relevant ist!

Strömung KF

Welche Größen sind notwendig, um ein Strömungsfeld vollständig zu beschreiben?
 Beschreibung durch 6 Größen: Geschwindigkeitsvektor $\vec{v} = (u, v, w)$
 Dichte ρ
 Temperatur T
 Druck P

Welche physikalischen Prinzipien macht man sich zur Bestimmung dieser Größen zu Nutze?

Konti-Gleichung, Energieerhaltung, Impulssatzes in x, y, z Richtung, Zustandsgleichung

Zusätzliche Stoffwerte:

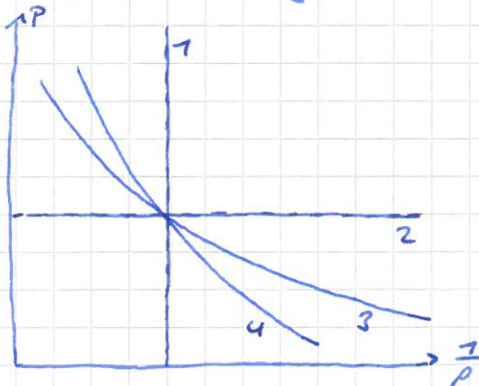
dynamische Zähigkeit: $\eta \left[\frac{N \cdot s}{m^2} \right] = \left[\frac{kg}{m \cdot s} \right]$ Beachte $\rho = \frac{m}{V}$

Wärmeleitfähigkeit: $\lambda \left[\frac{W}{m \cdot K} \right]$

Spezifische Wärme bei konstantem Druck C_p bzw.

konstantem Volumen $C_v \left[\frac{J}{kg \cdot K} \right]$

Zustandsänderungen:



1: isochor: $n = \infty, p = \text{konst}$ $\frac{P_1}{P_2} = \frac{T_1}{T_2}$

2: isobar: $n = 0, p = \text{konst}$ $\frac{T_1}{T_2} = \frac{P_2}{P_1}$

3: isotherm: $n = \gamma, T = \text{konst}$ $\frac{P_1}{P_2} = \frac{\rho_2}{\rho_1}$

4: isentrop: $n = k = \frac{C_p}{C_v}$ $\frac{P_2}{P_1} = \left(\frac{\rho_1}{\rho_2} \right)^{1/k}$

Die \rightarrow inkompressible Fluide verläuft isochor $k \rightarrow \infty$

Statischer Druck P_{stat}

dynamischer Druck $P_{dyn} = \frac{1}{2} \rho v^2$ "kin. Energie der Strömung"

Gesamtdruck $P_{ges} = P_{stat} + P_{dyn}$ "Standdruck"

Drucksonde

Prandtl-Rohr: \rightarrow -

Pitot-Rohr

$$P_{dyn} = P_{ges} - P_{stat}$$

Pascalsches Paradoxon:



$$F_C = P \cdot g \cdot h$$

$$F_D = P(h) \cdot A_{Boden}$$

Hydrostatischer Auftrieb:

Gleiche Menge Blei und Aluminium liegen auf der Erde das Gleiche Gewicht, aber eine Weil das Aluminium in der Atmosphäre durch den Auftrieb der Luft scheinbar leichter wirkt, sind die beiden Mengen im Vakuum nicht mehr gleich schwer sondern das Aluminium ist schwerer.

U-Rohr-Manometer:

$$P_2 - P_1 = \rho \cdot g \cdot \Delta h$$

Möglichkeiten, um größere differenzdrücke messen zu können:

- Δh erhöhen \rightarrow längeres U-Rohr

- ρ ändern \rightarrow z.B. Quecksilber

- Reihenschaltung $\rightarrow \Delta h = \sum_{i=1}^n \Delta h_i$

Wasserbehälter auf Drehfläche:

Auf die Wasserteilchen außerhalb der Drehachse wirken:

- Gravitationsbeschleunigung \vec{g}
- Zentrifugalbeschleunigung $\vec{a}_z = \vec{\omega}^2 \cdot \vec{r}$
- Beschleunigung in Umfangsrichtung durch Reibung
- Coriolisbeschleunigung $\vec{a}_c = -2(\vec{\omega} \cdot \vec{v})$

Stromlinie: Momentaufnahme, senkrecht zum Geschw.vektor (Wolftöden)

Bahnlinie: Weg eines einzelnen Teilchens wird verfolgt (Blatt auf Fluss)

Streichlinie: Momentaufnahme, Verbindung aller Teilchen, die irgendwann an einem bestimmten Punkt vorbeigekommen sind (Rauchfahne)

Zeitlinie: Momentaufnahme, Teilchen werden zu gleichen Zeitpunkt in verschiedenen Orten losgelassen und nach einer Zeit gleichzeitig miteinander verbunden (Wasserstoffbläschen)

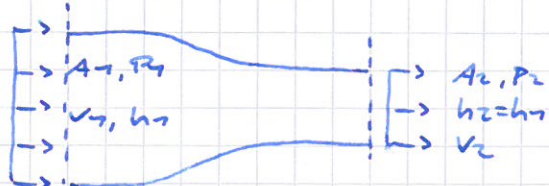


$$P_1 = P_2 = P_\infty$$

$$P_{dyn,1} < P_{dyn,2}$$

$$V_1 < V_2$$

$$S_1 > S_2$$



$$V_1 < V_2$$

$$P_{dyn,1} < P_{dyn,2}$$

$$P_{stat,1} > P_{stat,2}$$

$$P_{ges,1} = P_{ges,2}$$

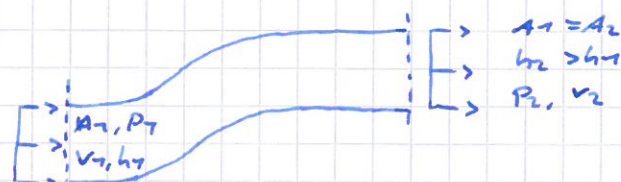
$$\rightarrow F_{ix}$$

$$P_1 = P_2 = P_\infty$$

$$P_{dyn,1} > P_{dyn,2}$$

$$V_1 > V_2$$

$$S_1 < S_2$$



$$V_1 = V_2$$

$$P_{dyn,1} = P_{dyn,2}$$

$$P_{stat,1} > P_{stat,2}$$

Impulsstrom ($P v^2 A$) einer Wasserspritze erhöhen

Bei konst. A: v erhöhen, A verkleinern, damit Q konst

Bei konst. V: A vergrößern

Bei konst. A: V erhöhen

Bernoulli-Gleichung

Energieform: $\frac{V^2}{2} + \frac{P}{\rho} + \frac{g z} = \text{const.}$ (Massebezogen)

kin. Energie Druckenergie

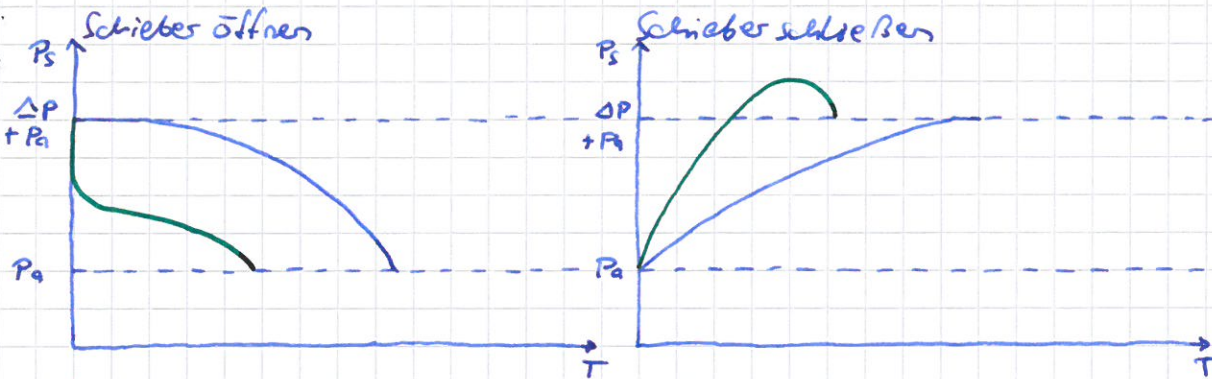
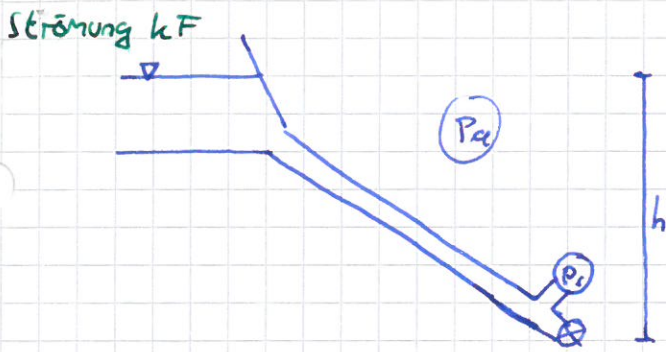
lageenergie

Druckform: $\frac{P}{2} V^2 + P + \rho g z = \text{const.}$ (Volumenbezogen)

dyn. Druck stat. Druck

lageenergie

Höhenform: $\frac{V^2}{2g} + \frac{P}{\rho g} + z = \text{const.}$



Zeitlicher Verlauf von P_s , wenn Schieber sehr langsam, oder **sehr schnell** geöffnet / geschlossen wird.
Unterschiedliche Verläufe durch Trägheit der Wassersäule.

Ahnlichkeitshinzenzahlen

→ maßgeblich für Widerstandsbeiwert

Reynoldszahl Re , Verhältnis von Trägheits- zu Zähigkeitskräften

$Re \rightarrow \infty$: Reitungsfrei

Machzahl M_a , Einfluss der Kompressibilität

$M_a < 0,3$: komprimierbare Effekte vernachlässigbar

Strouhalzahl St_r , Verhältnis der Flügeltiefe L zu Weg des Flügels pro Schwingung, "Eigenresonanz der Strömung"

Frequenz der Strömung = Eigenfrequenz des Körpers → Resonanz

Froudezahl Fr , Verhältnis $sqr(\text{Trägheitskraft} / \text{Gewichtskraft})$

Wasser: $L = h \rightarrow Fr = \text{Anströmgeschwindigkeit} / \text{Ausbreitungsgeschwindigkeit}$ der Oberflächenwelle im flachen Wasser

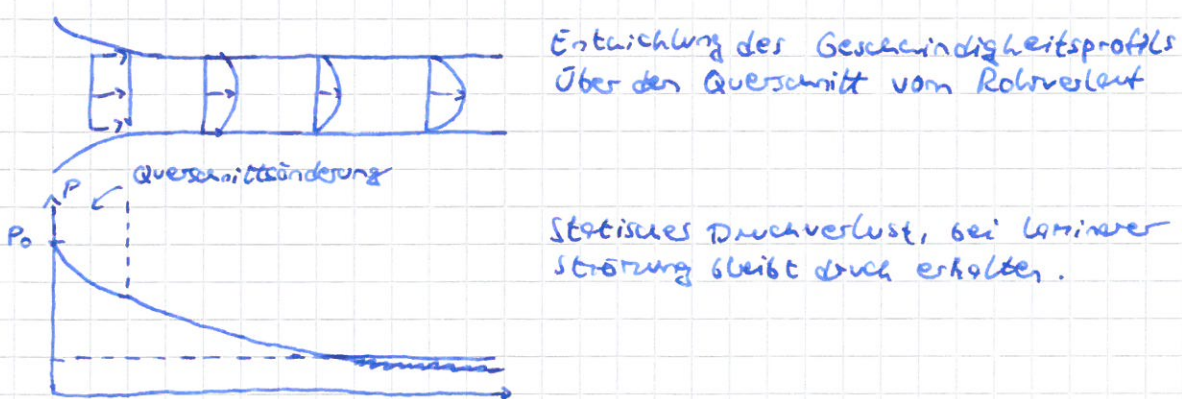
Hagen-Poiseuille-Strömung

Strömung in π -Zylinderrohr, für die gilt:

- Voll ausgebildete Strömung, weit weg vom Einlauf
- Stationär, inkompressibel, laminar
- Vernachlässigung von Volumenkräften

Laminare Strömung im gesamten Rohr bei $Re_D \leq 2300$

Unabhängig von der Länge, kann bei konstantem Rohrquerschnitt nicht turbulent werden.



Widerstandsbeiwert C_w

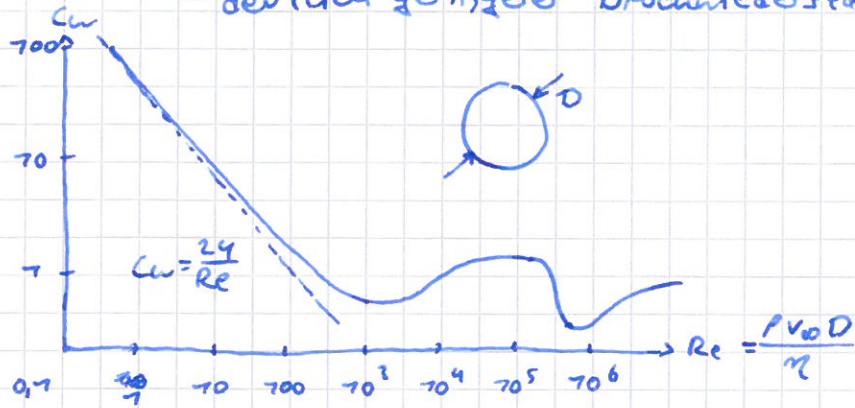
Einbruch des Widerstandsbeiwert bei $Re_{crit} \approx 3 \cdot 10^5$
 Maßgeblich abhängig von Reynoldszahl $Re = \frac{\rho \cdot U_{ref} \cdot L_{ref}}{\eta}$

→ Ursachen für den Einbruch bei kleinen Re-Zahlen:

- Laminare Grenzschicht
- Stark abgelöste Grenzschichtströmung
- Hoher Druckniederstand

→ Ursache für den Einbruch bei $Re > Re_{crit}$

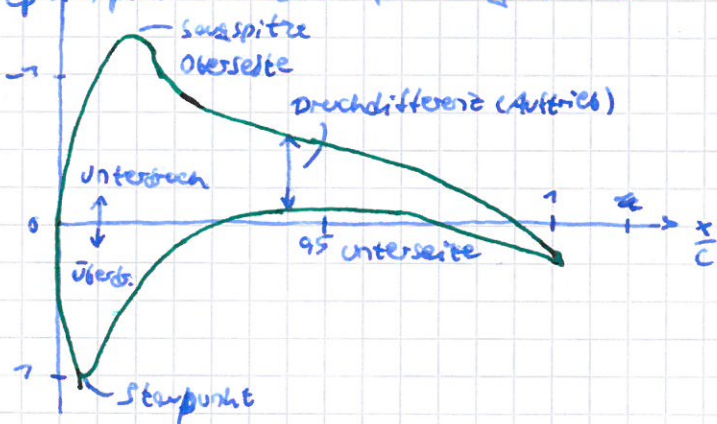
- Umschlag zu turbulenten Grenzschicht noch vor Ablösung
- Längerer anliegen der Strömung
- deutlich geringerer Druckniederstand



$$\text{Druckbeiwert } C_p = \frac{p - p_\infty}{(\frac{1}{2} \rho V_\infty^2)_\infty}$$

Der Druckbeiwert charakterisiert den Druck auf eine von der Anströmgeschwindigkeit unabhängigen Größe, dadurch werden z.B. Messergebnisse aus verschiedenen Experimenten besser vergleichbar.

C_p Typischer Verlauf für Flügelprofil



Aufgabe 1: Hydrostatis

(38P.) Für eine Heimfahrt bei Nacht und Nebel durch die Außenbezirke Stuttgarts haben Sie sich den alten Bus ihrer Großeltern geholt (vergleiche Abb. 1-1). Aufgrund schlechter Sicht und unvorsichtigen Fahrens kommen Sie von der Straße ab und finden sich plötzlich mitsamt des Fahrzeugs inmitten des Max-Eyth-Sees wieder.

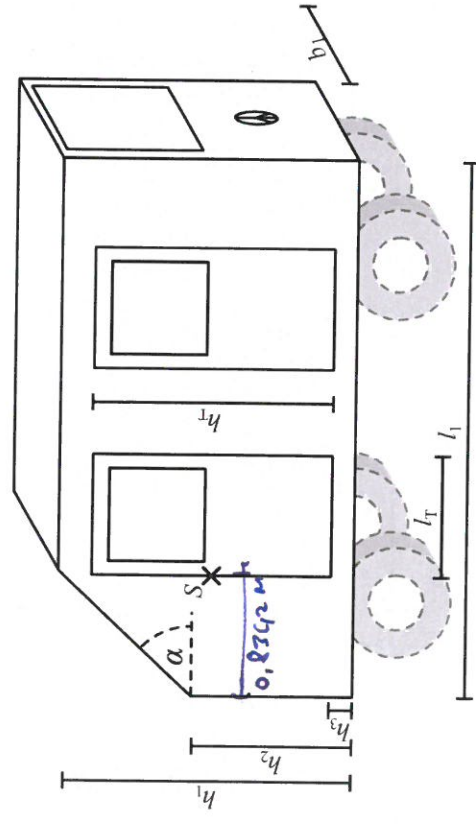


Abb. 1-1: Relevante geometrische Größen des Fahrzeugs

Gegeben

α	40°	Winkel Fahrzeugfront
b_1	1,9 m	Breite der Karosserie
h_1	2 m	Höhe des Fahrzeugs
h_2	1,3 m	Höhe der Front
h_3	0,2 m	Höhe Beginn Fahrertür
h_T	1,4 m	Höhe der Fahrertür
l_1	4,8 m	Gesamtlänge des Fahrzeugs
l_T	0,9 m	Länge der Fahrertür

Hinweise

- Die Geometrie des Fahrzeugs ist vereinfachend Abb. 1-1 zu verwenden.
- Die Bereifung ist vollständig zu vernachlässigen.

- Die Wanddicke der Karosserie ist zu vernachlässigen.

- Der Innenraum des Fahrzeugs ist als vollständig leer anzunehmen.
- Die Aufgabenteile a) - b), c) - e) sowie f) & g) können unabhängig voneinander gelöst werden.

- ~~a)~~) Das Fahrzeug schwimmt zunächst im See. Aktuell dringt kein Wasser ins Innere ein. Stellen Sie die Bedingung für den beschriebenen Zustand auf und berechnen sie die Eintauchtiefe h_E des Fahrzeugs. (5)
- ~~b)~~) Am Boden des Fahrzeugs befindet sich ein Loch, durch welches nun Wasser in den Innenraum eindringen kann. Wie hoch steigt dieses, solange aus dem Innenraum keine Luft entweicht? Verwenden Sie den Zusammenhang für ein ideales, isothermes Gas. Der Umgebungsdruck sowie der Anfangsdruck im Fahrzeug betragen p_0 . Notwendige Werte: $h_E = 0,3 \text{ m}$
- Luft entweicht und die Fahrerkabine und Hohlräume in der Karosserie beginnen sich nun ebenfalls mit Wasser zu füllen. Dass Fahrzeug sinkt auf Grund und bleibt unter einem Winkel $\beta = 60^\circ$ dort stehen (siehe Abb. 1-2). Die Fahrertür befindet sich deutlich über der Wasseroberfläche im Innern der Kabine. Im mit Luft gefüllten Teil herrscht nun wieder p_0 .

- ~~c)~~) Das Fahrzeug schwimmt zuerst im See. Aktuell dringt kein Wasser ins Innere ein. Stellen Sie die Bedingung für den beschriebenen Zustand auf und berechnen sie die Eintauchtiefe h_E des Fahrzeugs. (6)
- ~~d)~~) Am Boden des Fahrzeugs befindet sich ein Loch, durch welches nun Wasser in den Innenraum eindringen kann. Wie hoch steigt dieses, solange aus dem Innenraum keine Luft entweicht? Verwenden Sie den Zusammenhang für ein ideales, isothermes Gas. Der Umgebungsdruck sowie der Anfangsdruck im Fahrzeug betragen p_0 . Notwendige Werte: $h_E = 0,3 \text{ m}$

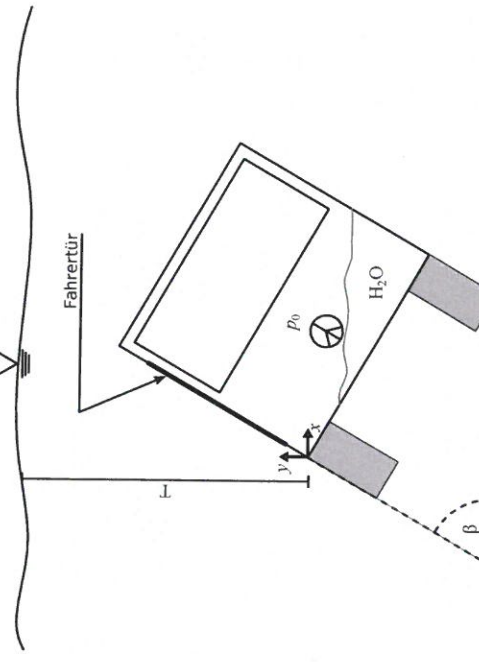


Abb. 1-2: Versunkenes Fahrzeug, Ansicht von hinten, Fahrertür links

- ~~e)~~) Stellen Sie den Druckverlauf $p(y)$ für den dargestellten Fall auf. Beachten Sie die Lage des Koordinatensystems. (1)
- ~~f)~~) Berechnen Sie die Horizontalkraft F_x und die Vertikalkraft F_y , die von außen auf die Fahrertür wirken. Stellen Sie hierzu zunächst die Formeln für die entsprechenden Kräfte auf infinitesimalen Flächenstücke auf. T sei 2,3 m.

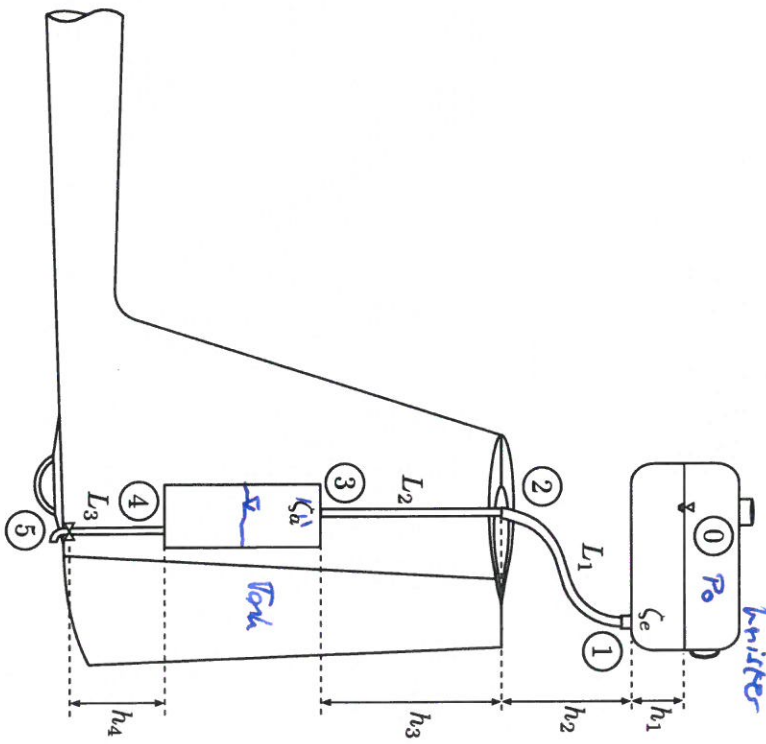
Aufgabe 2: Heckwassertank Segelflugzeug

- Le) Welche Gesamtkraft übt das Wasser auf die Tür aus? Können Sie die Tür von innen aus öffnen?** Beachten Sie hierzu den Fahrzeuginnendruck p_0 (Notwerte: $F_x = 125 \text{ kN}$, $F_y = -73 \text{ kN}$)
- Hf)** Im Punkt S, mittig am linken Rand der Fahrertür, befindet sich ein Scharnier (siehe Abb. 1-1). Stellen sie zunächst den differentiellen Momentenvektor dM mit den allgemeinen Koordinaten für $S = (x_S, y_S, z_S)$ auf. Berechnen Sie die Momentenkomponente M_z . Berücksichtigen Sie dabei den Fahrzeuginnendruck p_0 . Momente gegen den Uhrzeigersinn sind dabei als positiv zu behandeln.

- 1g)** Wie können Sie sich dennoch (ohne Hilfsmittel) aus dem Fahrzeug befreien?
Erklären Sie wie Ihr Ansatz funktioniert. (2)

- Beachten Sie die Abbildung, dort sind wichtige Maße definiert.
- Der an Position 5 skizzierte Auslasskrümmer ist nur für Teilaufgaben e)-f) relevant
- Die Teilaufgabengruppen a)-c), d), e)-f) und g) können unabhängig voneinander gelöst werden.

Hinweise



Dichte Wasser	ρ	1000 kg/m ³
Kinematische Viskosität Wasser	ν	$1 \cdot 10^{-6}$ m ² /s
Höhe des Wassertanks	h_T	0,6 m
Breite des Wassertanks	b_T	0,15 m
Länge des Wassertanks	l_T	0,07 m
Durchmesser der Betankungsleitung L_1	d_{L1}	8 mm
Durchmesser der Zuleitung L_2	d_{L2}	6 mm
Durchmesser der Ableitung L_3	d_{L3}	6 mm
Länge der Leitung L_1	l_{L1}	0,5 m
Länge der Leitung L_2	l_{L2}	0,4 m
Länge der Leitung L_3	l_{L3}	0,15 m
Höhe des Wasserstands im Kanister	h_1	0,1 m
Höhe der Zuleitung	h_3	0,4 m
Höhe der Ableitung	h_4	0,15 m
Sandrauhigkeit der Zu- und Ableitung	k_s	0,012 mm
Verlustbeiwert am Einlass	ζ_e	0,25
Verlustbeiwert am Auslass	ζ_a	1,0
Umgangsdruk	p_∞	1,0 bar
Erdbeschleunigung	g	9,81 m/s ²

Geben

Kinematische Viskosität Wasser	ν	$1 \cdot 10^{-6}$ m ² /s
Höhe des Wassertanks	h_T	0,6 m
Breite des Wassertanks	b_T	0,15 m
Länge des Wassertanks	l_T	0,07 m
Durchmesser der Betankungsleitung L_1	d_{L1}	8 mm
Durchmesser der Zuleitung L_2	d_{L2}	6 mm
Durchmesser der Ableitung L_3	d_{L3}	6 mm
Länge der Leitung L_1	l_{L1}	0,5 m
Länge der Leitung L_2	l_{L2}	0,4 m
Länge der Leitung L_3	l_{L3}	0,15 m
Höhe des Wasserstands im Kanister	h_1	0,1 m
Höhe der Zuleitung	h_3	0,4 m
Höhe der Ableitung	h_4	0,15 m
Sandrauhigkeit der Zu- und Ableitung	k_s	0,012 mm
Verlustbeiwert am Einlass	ζ_e	0,25
Verlustbeiwert am Auslass	ζ_a	1,0
Umgangsdruk	p_∞	1,0 bar
Erdbeschleunigung	g	9,81 m/s ²

Zu Beginn wird der Betankungsvorgang des Wassertanks betrachtet. Das Auslassventil ist geschlossen, das Volumen der Ableitung L_3 wird vernachlässigt. Der Kanister ist belüftet, so dass darin immer Umgebungsdruck herrscht.

2a) Berechnen Sie den notwendigen Volumenstrom, um den Hecktank in 1 min komplett zu füllen

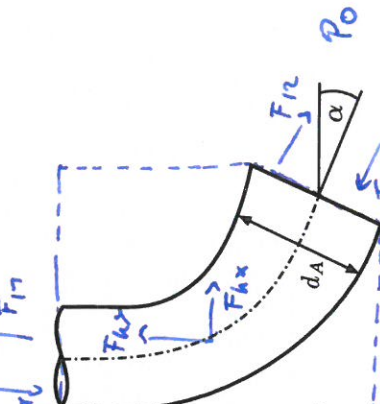
2b) Wie groß ist die Höhe h_2 , in der der Kanister über dem Leitwerk gehalten werden muss, um den oben berechneten Volumenstrom zu erreichen? Vernachlässigen Sie jegliche Reibungseinflüsse für diese Berechnung. Welcher Strömungszustand liegt in der Zuleitung L_2 vor?

2c) Auf wieviel Prozent des ursprünglichen Wertes sinkt dieser Volumenstrom, wenn die Reibung in den beiden Leitungen zwischen Kanister und Wassertank genauso wie die Verluste am Ein- und Auslass berücksichtigt werden? Verwenden Sie für die Berechnung den mittels reibungsfreier Rechnung bestimmten Strömungszustand und die daraus resultierenden Verlustbeiwerte λ der Leitungen!

Nun seien der Wassertank und die Ableitung L_3 komplett gefüllt und das Ablassventil geschlossen. Der Pilot des Segelfliegers geht in einen Sinkflug über, ist dabei aber unachtsam und wird zu schnell. Um ein Überschreiten der Höchstgeschwindigkeit zu verhindern, muss er einen Abfangbogen fliegen. Dabei tritt ein Lastvielfaches von dem 6-fachen der Erdbeschleunigung auf.

2d) Berechnen Sie den auftretenden Druck am Ablassventil während dieses Abfangbogens. Gehen Sie von einem komplett gefüllten Wassertank aus, in der Zuleitung L_2 befindet sich jedoch kein Wasser.

68



Vor der Landung wird der gesamte Wasserballast abgelassen, damit ein möglichst niedriges Landegewicht erreicht wird. Um ein Verschmutzen des Segelflugzeuges durch das abgelesene Wasser zu verhindern, befindet sich nach dem Ablassventil ein Ablasskrümmer.

Gegeben

Enddurchmesser des Auslasskrümmers d_A

Winkel des Auslasskrümmers α

Zeichnen Sie ein geeignetes Kontrollvolumen und die wirkenden Kräfte ein.

2e) Zeichnen Sie ein geeignetes Kontrollvolumen und die wirkenden Kräfte ein.

2f) Stellen Sie den Impulsatz auf und berechnen Sie die auf den Ablasskrümmer wirkenden Kräfte. Gehen Sie dabei von einer reibungsfreien Strömung direkt nach dem Öffnen des Ablassventils mit konstantem, maximalen Wassерpegel im Tank aus. Vernachlässigen Sie ferner den Höheneffekt am Auslassventil selbst.

Für die Berechnung der Ablasszeit des Heckwassertanks kann der sich verändernde Wasserspiegel nicht mehr vernachlässigt werden.

2g) Berechnen Sie die Zeit, bis der vollständig gefüllte Heckballasttank komplett entleert ist. Vernachlässigen Sie dabei sämtliche Reibungseinflüsse und den Auslasskrümmer. Der Auslassvorgang gilt als beendet, sobald der Tank leer ist, das übrige Wasser in der Ableitung L_3 wird vernachlässigt. Gehen Sie von einem quasi-stationären Leerrungsvorgang aus.

Für die Berechnung der Ablasszeit des Heckwassertanks kann der sich verändernde Wasserspiegel nicht mehr vernachlässigt werden.

2h) Berechnen Sie die Zeit, bis der vollständig gefüllte Heckballasttank komplett entleert ist. Vernachlässigen Sie dabei sämtliche Reibungseinflüsse und den Auslasskrümmer. Der Auslassvorgang gilt als beendet, sobald der Tank leer ist, das übrige Wasser in der Ableitung L_3 wird vernachlässigt. Gehen Sie von einem quasi-stationären Leerrungsvorgang aus.

(12)

2i) Berechnen Sie den mittels reibungsfreier Rechnung bestimmten Strömungszustand und die daraus resultierenden Verlustbeiwerte λ der Leitungen!

Nun seien der Wassertank und die Ableitung L_3 komplett gefüllt und das Ablassventil geschlossen. Der Pilot des Segelfliegers geht in einen Sinkflug über, ist dabei aber unachtsam und wird zu schnell. Um ein Überschreiten der Höchstgeschwindigkeit zu verhindern,

muss er einen Abfangbogen fliegen. Dabei tritt ein Lastvielfaches von dem 6-fachen der Erdbeschleunigung auf.

(12)

2j) Berechnen Sie den auftretenden Druck am Ablassventil während dieses Abfangbogens. Gehen Sie von einem komplett gefüllten Wassertank aus, in der Zuleitung L_2 befindet sich jedoch kein Wasser.

(2)

Strömung Klausur F22

① a) Einsinken bis Kräftegleichgewicht $F_A = \overline{F_G}$

$$\text{Gewichtskraft Fahrzeug } F_G = M_F \cdot g = 25,37 \text{ kN}$$

Annahme: $h_E < h_2$: Auftrieb = Gewichtskraft

$$P_w \cdot g \cdot b \cdot l \cdot h_E = M_F \cdot g \rightarrow h_E = 0,28 \text{ m}$$

b) Ideale Gasgleichung $P \cdot V = \underbrace{M \cdot R \cdot T}_{\text{const.}}$

$$\text{Volumen Fahrzeug ohne Wasser: } (l \cdot b \cdot h_1 - \frac{1}{2} \cdot \pi \cdot r^2 \cdot (h_1 - h_2))^2 = V_0$$

$$V_0 = 17,69 \text{ m}^3$$

$$\text{Druck auf Höhe des eingedrungenen Wassers: } P_1 = P_0 + \rho \cdot g \cdot (h_E - h_W)$$

$$\text{Neues Innenvolumen (solange nicht } h_2 < h_W) V_1 = V_0 - (l \cdot b \cdot h_W)$$

$$\text{Gleichsetzen: } P_0 \cdot V_0 = P_1 \cdot V_1$$

$$h_W = 0,049 \text{ m}$$

c) $P(\gamma) = P_0 + \rho_w \cdot g \cdot (T - \gamma)$

d) $F_x = \int_{A_T} P(\gamma) dA_T = l_T \int_{y_1}^{y_2} (P_0 + \rho_w \cdot g \cdot (T - \gamma)) d\gamma$

$$\text{Mit } y_1 = \sin(\beta) h_3 \text{ und } y_2 = \sin(\beta) (h_3 + h_T)$$

$$F_x = 126,8 \text{ kN} \quad (\text{oder über } P_0 \cdot A_{\text{proj}} = F_x)$$

$$F_y = - \int_{A_T} P(\gamma) dA_T = - l_T \int_{x_1}^{x_2} (P_0 + \rho_w g (T - \gamma)) dx$$

$$dx = \tan(\beta) \cdot dy$$

$$F_y = -73,2 \text{ kN}$$

e) $F_{\text{ges}} = \sqrt{F_x^2 + F_y^2} = 146 \text{ kN}$

$$\text{Bedingung für Tür öffnen: } F_{\text{Arm}} + P_0 \cdot l_T \cdot \frac{h_T}{\sin(\beta)} > F_{\text{ges}} \quad F_{\text{Arm}} > 18 \text{ kN}$$

nicht möglich zu öffnen für Menschen.

f) Momentenaufgabe ... ↗

g) Festes herunter lassen / abwarten bis Auto vollgefahren ist,
dann ist Tür einfach zu öffnen.

$$② \text{a) } \dot{V} = \frac{6\pi \cdot 6r \cdot hT}{t} = 7,05 \cdot 10^{-4} \frac{\text{m}^3}{\text{s}}$$

b) Freistrahl in den Tank : $\dot{V} = V \cdot A$

$$V_3 = 3,77 \text{ m/s}$$

Bernoulli von 0 nach 3

$$\rho \cdot g \cdot (h_1 + h_2 + h_3) + p_0 = \frac{\rho}{2} V_3^2 + p_2$$

$$h_2 = 0,2029 \text{ m}$$

$$\text{Strömungszustand: } Re = \frac{d_{L2} \cdot V_3}{\nu} = 22282 > 2300$$

\rightarrow Turbulent

c) Bernoulli 0 \rightarrow 3 mit Verlusten

$$\rho g H + p_0 = \frac{\rho}{2} V_3'^2 + p_3 + \Delta P_{L1} + \Delta P_{L2}$$

$$\frac{h_S}{d_{L2}} = 0,002$$

$$V_{L2} = 2,089 \frac{\text{m}}{\text{s}}$$

$$\frac{h_S}{d_{L1}} = 0,0015$$

$$V_{L3}' = \text{gesucht}$$

$$\lambda_{L1} = 0,0293 \text{ (Moody)}$$

$$\lambda_{L2} = 0,0298 \text{ (Moody)}$$

$$Re_{L1} = 76777 \rightarrow \text{Turbulent}$$

$$Re_{L2} = \frac{V_3' d_{L2}}{\nu}$$

$$\Delta P_{L1} = \frac{\rho}{2} V_2^2 (\lambda_{L1} \frac{h_S}{d_{L1}} + C_E)$$

$$\Delta P_{L2} = \frac{\rho}{2} V_3'^2 (\lambda_{L2} \frac{h_S}{d_{L2}} + C_A)$$

$$\text{konti: } V_2' A_3 = V_2 A_2$$

$$\rho g H + p_0 = \frac{\rho}{2} V_3'^2 + p_0 + \frac{\rho}{2} (V_3' \left(\frac{d_{L2}}{d_{L1}} \right)^2)^2 (\lambda_{L2} \frac{h_S}{d_{L2}} + C_A) + \frac{\rho}{2} V_2'^2 (\lambda_{L1} \frac{h_S}{d_{L1}} + C_E)$$

$$V_3' = 7,7274 \frac{\text{m}}{\text{s}}$$

$$\dot{V}' = V_3' \cdot A_3 = 4,884 \cdot 10^{-5} \frac{\text{m}^3}{\text{s}} \quad 46,5\% \text{ von } \dot{V}$$

d) Tiefendruck mit $g' = 6 \cdot g$

$$p_F = \rho \cdot g' \cdot (h_T + h_u) + p_0 = 7,446 \text{ bar}$$

e) Siehe Skizze auf Blatt

f) Bernoulli Wasseroberfläche bis Auslass:

$$\rho g \cdot (h_T + h_4) + p_0 = \frac{\rho}{2} V_6^2 + p_0 \rightarrow V_6 = 3,836 \frac{\text{m}}{\text{s}}$$

$$\text{Geschwindigkeit } v_5 \text{ mit konti: } V_6 A_6 = V_5 A_5 \rightarrow V_5 = 70,66 \frac{\text{m}}{\text{s}}$$

$$\text{Bernoulli 5} \rightarrow 6 \text{ ohne Höhenterm: } p_5 + \frac{\rho}{2} V_5^2 = p_0 + \frac{\rho}{2} V_6^2$$

$$p_F = 5,054 \cdot 10^4 \text{ Pa} = 0,5054 \text{ bar}$$

Strömung Klausur F23

Impulsatz x-Richtung:

$$-F_{P,6} \cos \alpha = F_{1,6} \cos \alpha - F_{hx}$$

$$-(P_0 - p_0) A_6 \cos \alpha = PV_6^2 A_6 \cos \alpha - F_{hx}$$

$$F_x = -F_{hx} = -1 \text{ N}$$

Impulsatz y-Richtung:

$$-F_{P,5} + F_{P,6} \sin \alpha = F_{1,5} - F_{1,6} \sin \alpha - F_{hy}$$

$$F_y = -F_{hy} = -1,29 \text{ N}$$

2) Ausströmung aus Gefäß mit Wasserspiegelabsenkung

$$\Delta T = \frac{A_1}{A_2} \cdot \sqrt{\frac{2}{g}} \cdot (-\sqrt{z_1} - \sqrt{z_2})$$

$$A_1 = l_T \cdot b_T = 0,0705 \text{ m}^2$$

$$A_2 = \pi \cdot \left(\frac{d_{L2}}{2}\right)^2 = 2,827 \cdot 10^{-5} \text{ m}^2$$

$$z_1 = h_u + h_T = 0,75 \text{ m}$$

$$z_2 = h_u = 0,75 \text{ m}$$

$$\Delta T = 80,27 \text{ s}$$

Aufgabe 1: Titansonde

(33 P) Zur Erforschung der Methanseen auf dem Saturnmond Titan ist eine Mission geplant, bei der ein Tauchroboter zum Einsatz kommen soll. Die Sonde besteht dabei aus zwei Komponenten: dem Tauchroboter an sich sowie einer Boje, welche als Basis für den Tauchroboter dienen soll. Die Boje ist Abb 1-1 dargestellt, der Tauchroboter befindet sich in Teil A noch innerhalb der Boje.

Hinweise

- Die Teilaufgaben in Teil A und Teil B sind voneinander unabhängig lösbar.
- Die Atmosphäre des Titan soll als reiner Stickstoff angenommen werden, für den die ideale Gasgleichung $p = \rho RT$ gilt. Die Seen bestehen aus reinem Methan.
- Gewicht und Volumen der Außenwände des Schwimmankörpers sind zu vernachlässigen.

Teil A: Boje

Zunächst befindet sich die Boje mit dem Tauchroboter in der Endphase der Landung, bei der sie am Fallschirm hängend durch die Stickstoffatmosphäre des Mondes zu einem Methansee gleitet. Die Boje sich bestehst aus drei Komponenten: dem Schwimmkörper in der Mitte, einem Ballastgewicht zur Stabilisierung bei der Landung sowie der Experimentenplattform an deren Spitze, in der sich zunächst auch der Tauchroboter befindet. Die Experimentenplattform wird nur mit ihrem Gewicht berücksichtigt, ihre Form und ihr Volumen spielen keine Rolle. Alle anderen Komponenten sollen dabei als zylindrisch im Querschnitt angenommen werden.

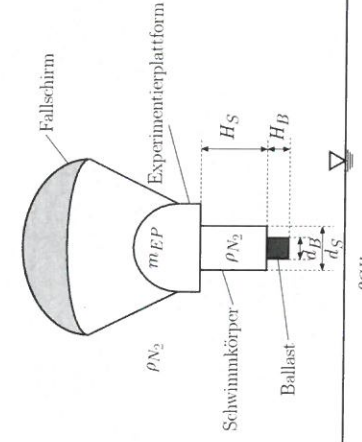


Abb. 1-1: Boje am Fallschirm vor der Landung

Gegeben

$H_S = 3 \text{ m}$	Höhe Schwimmkörper
$H_B = 0.1 \text{ m}$	Höhe Ballast
$d_S = 1 \text{ m}$	Durchmesser Schwimmkörper
$d_B = 0.25 \text{ m}$	Durchmesser Ballast
$m_{EP} = 500 \text{ kg}$	Masse Experimentalplattform
$\rho_B = 7800 \text{ kg/m}^3$	Dichte Ballast
$g = 1,35 \text{ m/s}^2$	Gravitationsbeschleunigung Titan
$\rho_{CH4} = 450 \text{ kg/m}^3$	Dichte flüssiges Methan
$p_{Titan} = 1.5 \text{ bar}$	Oberflächendruck Titan
$T_{Titan} = 90 \text{ K}$	Oberflächentemperatur Titan
$R_{N2} = 298 \text{ J/kgK}$	Spezifische Gaskonstante Stickstoff

(7)

✓ Für weitere Experimente soll die Boje etwas aus dem Wasser gehoben werden. Dafür wird der Stickstoff im Schwimmkörper soweit aufgeheizt, dass genügend Methan aus Ventilen im Schwimmkörper verdrängt wird, so dass die gewünschte Höhe von $H_{O2} = 0.75 \text{ m}$ erreicht wird. Auf welche Temperatur muss der Stickstoff aufgeheizt werden, damit H_{O2} erreicht wird? Etwaige Verdampfung von Methan wird hier vernachlässigt. Die Erwärmung findet isobar statt. Dabei bleibt die Masse an Stickstoff im Schwimmkörper konstant.

Abb. 1-2: Boje im See (ohne Ballastkörper)

✓ Für weitere Experimente soll die Boje etwas aus dem Wasser gehoben werden. Dafür wird der Stickstoff im Schwimmkörper soweit aufgeheizt, dass genügend Methan aus Ventilen im Schwimmkörper verdrängt wird, so dass die gewünschte Höhe von $H_{O2} = 0.75 \text{ m}$ erreicht wird. Auf welche Temperatur muss der Stickstoff aufgeheizt werden, damit H_{O2} erreicht wird? Etwaige Verdampfung von Methan wird hier vernachlässigt. Die Erwärmung findet isobar statt. Dabei bleibt die Masse an Stickstoff im Schwimmkörper konstant.

Aufgabe 2: Schwimmbad

- Nach einiger Zeit wird von der Boje der Tauchroboter in Form eines U-Bootes losgelassen, welcher den See erkunden soll. Zur Lagerregelung im See ist ein Ventil angebracht, welches in den Rumpf integriert ist.

$$\frac{p_0}{\nabla}$$

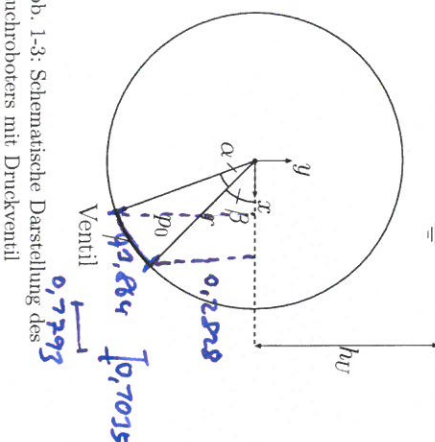


Abb. 1-3: Schematische Darstellung des Tauchroboters mit Druckventil

Gegeben

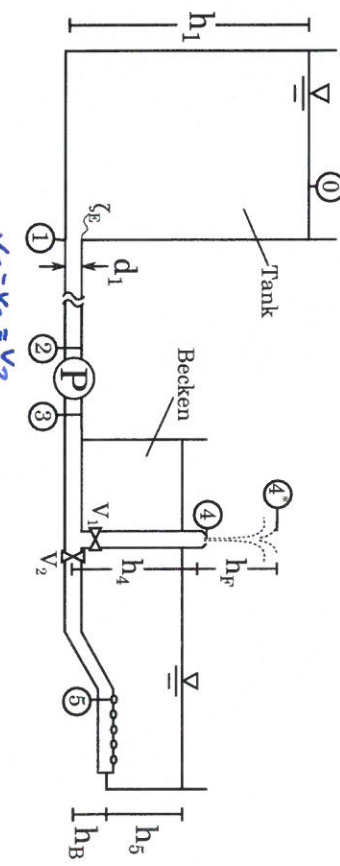
$h_U = 10 \text{ m}$
 $\alpha = 20^\circ$
 $\beta = 45^\circ$
 $r = 0.4 \text{ m}$
 $b = 0.2 \text{ m}$
 $p_0 = 1.5 \text{ bar}$
 $g = 1.35 \text{ m/s}^2$
 $\rho_{CH4} = 450 \text{ kg/m}^3$

Wert $p_0 = 1.5 \text{ bar}$.

Das Ventil kann als Kreisbogen angenommen werden, welcher über einen Winkel von $\alpha = 20^\circ$ über den Rumpf geht. Es beginnt am "oberen" Ende des Kreisbogens bei einem Winkel von $\beta = 45^\circ$ unterhalb der Horizontalen (siehe Abb. 1-3). Der Rumpf hat dabei einen Radius von $r = 0.4 \text{ m}$. Die Breite des Ventils (in z -Richtung) beträgt $b = 0.2 \text{ m}$. Der Tauchroboter befindet sich zunächst auf einer Tiefe von $h_U = 10 \text{ m}$. Die Atmosphäre über dem See genauso wie im Inneren des U-Bootes hat weiterhin den

Hinweise

- Beachten Sie die Abbildung, dort sind wichtige Maße definiert.
- Ab Teilaufgabe d) können sämtliche Verluste vernachlässigt werden.
- Die Teilaufgabengruppen a)-c), d), e)-f) und g) können unabhängig voneinander gelöst werden.



Gegeben

Dichte Wasser	ρ	1000 kg/m^3
Kinematische Viskosität Wasser	ν	$1 \cdot 10^{-6} \text{ m}^2/\text{s}$
Höhe des Wassertanks	h_1	5 m
Durchmesser der Leitung	d_1	0.5 m
Durchmesser der einzelnen Massagedüsen	d_{MID}	0.1 m
Höhe der Fontäneurohrs	h_4	2 m
Höhe der Fontäne	h_F	2 m
Höhe der Düsen bis zur Oberfläche	h_5	0.8 m
Höhe des Nichtschwimmerbeckens	h_B	0.5 m
Sandrauhigkeit im Rohr	k_s	0.6 mm
Länge der Rohrleitung bis zur Pumpe	$L_{1,2}$	30 m
Länge der Rohrleitung bis zur Fontäne	$L_{3,4}$	15 m
Verlustkoeffizient am Einlass	ζ_E	0.3
Wirkungsgrad der Pumpe	η_P	0.73
Umgebungsdruck	p_∞	1.0 bar
Druck vor der Pumpe	p_2	1.1 bar
Erdbeschleunigung	g	9.81 m/s^2

- (k) Bestimmen Sie den Druckverlauf $p(\varphi)$ entlang der Tauchroboter-Hülle in Abhängigkeit vom Umlaufwinkel φ . (2)
- (l) Welche Kräfte in x und y -Richtung (F_x, F_y) mit welchem Gesamtbetrag (F_{ges}) wirken auf das Druckventil? (11)

Zu Beginn ist das Ventil V_1 zum Fontänenrohr vollständig geöffnet und das Ventil V_2 zu den Massagedüsen geschlossen.

- 2a) Bestimmen Sie die Geschwindigkeit im Rohr bis zur Pumpe. Beachten Sie die Reibungsverluste dort. Treffen Sie dafür geeignete Annahmen und überprüfen Sie diese anschließend.

- 2b) Mit welcher Geschwindigkeit verlässt das Wasser das Fontänenrohr? Bestimmen Sie den Volumenstrom im Rohr und außerdem den Durchmesser des Auslasses. Welcher Druck stellt sich unmittelbar hinter der Pumpe ein?

- 2c) Berechnen Sie nun die benötigte Pumpleistung.

Nun soll der Anfahrvorgang betrachtet werden, wenn das Ventil V_1 schnell geöffnet wird. Das Ventil V_2 bleibt dabei geschlossen, die Pumpe ist für die Betrachtung auf Durchlauf gestellt. Außerdem können hier die Reibungsverluste im Rohr vernachlässigt werden.

- 2d) Stellen Sie den instationären Bernoulli von ① nach ④ auf und berechnen Sie, wann 99% der Endgeschwindigkeit erreicht werden.

Nun wird eine andere Düsegeomtrie auf dem Fontänenrohr montiert. Die Pumpe ist wieder in Betrieb und es ist bekannt, dass die neue Austrittsgeschwindigkeit $w_2 = 7 \text{ m/s}$ beträgt. Die Düse arbeitet näherungsweise verlustfrei und die Höhendifferenz in der Düse sind so gering, dass sie vernachlässigt werden können.

Gegeben

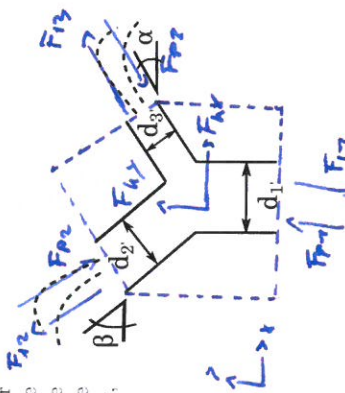
Durchmesser 1:	$d_1 = d_{1'}$	0,5 m
Durchmesser 2:	$d_2 = d_{2'}$	0,4 m
Durchmesser 3:	$d_3 = d_{3'}$	0,2 m
Winkel	α	30°
Winkel	β	45°

- 2e) Zeichnen Sie ein geeignetes Kontrollvolumen und die wirkenden Kräfte ein.

- 2f) Stellen Sie den Impulsatz in beide Raumrichtungen auf und berechnen Sie die auf den neuen Disenkopf wirkenden Kräfte.

Nun wird das Ventil V_1 geschlossen und V_2 geöffnet, so dass Wasser am Boden den flachen Beckens aus den 20 Massagedüsen austritt. Die Geschwindigkeit in der Zuleitung beträgt wieder $u = 5 \text{ m/s}$.

- 2g) Berechnen Sie die Geschwindigkeit des Wassers, mit der es eine Düse verlässt, sowie den Druck am Austritt.



Störung Klausur H22

(7)

a) $F_A = F_G$ gesucht
 \downarrow
 $(\pi \cdot (\frac{d_s}{2})^2 \cdot H_Q + \pi \cdot (\frac{d_s}{2})^2 \cdot H_S) \cdot P_{CH_4} = \pi \cdot (\frac{d_s}{2})^2 \cdot H_Q \cdot P_G + \pi \cdot (\frac{d_s}{2})^2 \cdot H_S \cdot P_T + M_{EP}$

$P_T = \frac{P_T}{R T_F} = 5,593 \frac{\text{kg}}{\text{m}^2}$

$H_S = 7,554 \text{ m}$

mit Balast: Tiefgang = 7,654 m

b) $F_A = F_G$

$(H_{S,CH_4} + H_{S,N_2} - H_0) \cdot \pi \cdot (\frac{d_s}{2})^2 \cdot P_{CH_4} = \pi \cdot (\frac{d_s}{2})^2 (H_{S,CH_4} \cdot P_{CH_4} + (H_{S,N_2} \cdot P_{N_2}) \cdot P_{N_2} + M_{EP})$

$H_{S,CH_4} + H_{S,N_2} = H_S$

$H_{S,CH_4} = 7,374 \text{ m} ; H_{S,N_2} = 7,686 \text{ m}$

c) Gleiche Rechnung wie in b) mit $H_0 = 0,75 \text{ m}$

$H_{S,CH_4} = 0,8080 \text{ m} ; H_{S,N_2} = 2,792 \text{ m}$

$V_{S,CH_4} = 0,6346 \text{ m}^3 ; V_{S,N_2,2} = 7,722 \text{ m}^3$

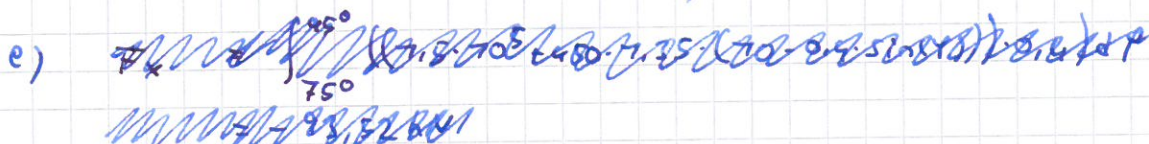
$V_{S,N_2,1} = 7,324 \text{ m}^3$

Isober: $T_2 = \frac{V_{N_2,2}}{V_{N_2,1}} \cdot \frac{M_{N_2}}{M_{N_2}} T_1 = 777,7 \text{ K}$

d) Druckverlauf in Abhängigkeit der Tiefe

$p(y) = p_0 + p \cdot g \cdot y ; y = h_u + r \cdot \sin(\varphi)$

$p(\varphi) = p_0 + p_{CH_4} \cdot g (h_u + r \cdot \sin(\varphi)) \quad (\text{Ursprung bei Mittelpunkt})$



$F_x = -73,69 \text{ N}$

$F_y = 733,73 \text{ N}$

$F_{ges} = \sqrt{F_x^2 + F_y^2} = 763,28 \text{ N}$

(2)

$$a) \text{ Bernoulli } 0 \rightarrow 2: P_0 + \rho \cdot g \cdot h_1 = P_2 + \frac{\rho}{2} V_2^2 + \underbrace{\Delta P_v}_{\text{Reibung}}$$

$$\Delta P_v = \frac{\rho}{2} V_2^2 \left(\lambda \frac{L}{D} + C_E \right)$$

$$Re = \frac{V_2 \cdot D}{\nu} \quad \text{Annahme: Turbulent}$$

$$\text{Moody: } \frac{hs}{D} = 1,2 \cdot 10^{-3} \quad \rightarrow \quad \lambda = 0,0205$$

$$V_2 = 5,556 \frac{m}{s}$$

$$Re = 7,778 \cdot 10^6 \quad \rightarrow \text{Turbulent} \rightarrow \text{Annahme stimmt}$$

$L \approx R_{eq}$

$$b) \text{ Toricelli: } V_a = \sqrt{2 \cdot g \cdot h_a} = 6,264 \frac{m}{s}$$

$$V_1 = V_2 = V_a$$

$$\dot{V} = A_1 V_1 = \pi \cdot \left(\frac{0,5}{2}\right)^2 \cdot 5,556 = 7,097 \frac{m^3}{s}$$

$$\text{Konti } V_1 A_1 = V_4 A_4, \quad \text{volumenstrom im Rohr gleich}$$

$$A_4 = \frac{\text{obere Fläche}}{0,7742 m^2} \rightarrow dF = 0,4709 \text{ m}$$

$$\text{Bernoulli von } 3 \rightarrow 4: P_3 + \frac{\rho}{2} V_3^2 = P_4 + \rho \cdot g \cdot \underbrace{(h_4 + h_F)}_{\text{Reibung}} + \frac{1}{2} \cancel{V_4^2} + \frac{\rho}{2} \cancel{V_4^2} \left(\lambda \frac{L}{D} \right) + \frac{\rho}{2} V_3^2 \left(\lambda \frac{L}{D} \right)$$

$$P_3 = 7,333 \text{ bar}$$

$$c) \Delta P_p = 0,233 \text{ bar}$$

$$P_p = \Delta P_p \cdot A_2 \cdot V_2 \cdot \eta = 3,4 P_2 \cdot 10^4 \text{ W}$$

$$d) P_0 + \rho g h_1 = P_4 + \frac{\rho}{2} V_4^2 + \rho \frac{dV_2}{dt} L$$

$$\frac{dP}{dt} = \frac{2 \rho P}{2gh_1 \rho - \rho V_4^2 + 2(P_0 - P_4)} dV_2 = \Sigma \quad h_1 = h_4 - h_1$$

$$\Delta T = \int_0^{dT} dt = \int_0^{V_{start} \cdot 0,99} \Sigma = 73,765$$

$$e) V_2' = 7 \frac{m}{s}; \quad \text{Zeichnung siehe Blatt}$$

$$f) \overline{F}_{p2} - \underbrace{\overline{F}_{p2} \sin \beta}_{=0} - \underbrace{\overline{F}_{p3} \sin \beta \alpha}_{=0} = -\overline{F}_{17} + \overline{F}_{12} \sin \beta + \overline{F}_{13} \sin \alpha - \overline{F}_{Ax}$$

$$(P_1 - P_0) A_1 = -\rho V_1^2 A_1 + \rho V_2^2 A_2 \sin \beta + \rho V_3^2 A_3 \sin \alpha - \overline{F}_{Ax}$$

$$\overline{F}_p = -\overline{F}_{Ax} = 2,762 \cdot 10^3 \text{ N}$$

$$\overline{F}_{p2} \cos \beta - \overline{F}_{p3} \cos \alpha = -\overline{F}_{12} \cos \beta + \overline{F}_{13} \cos \alpha - \overline{F}_{Ax}$$

$$F_x = -\overline{F}_{Ax} = 3,027 \cdot 10^3 \text{ N}$$

$$\begin{cases} V_1' = V_3' = 7 \frac{m}{s} ; \quad V_1 A_1 = V_2 A_2 + V_3 A_3 \rightarrow V_1 = 5,6 \frac{m}{s} \\ P_1' + \frac{\rho}{2} V_1'^2 = P_2' + \frac{\rho}{2} V_2'^2 \end{cases} \rightarrow P_1 = 7,088 \text{ bar}$$

Störung Klausur H22

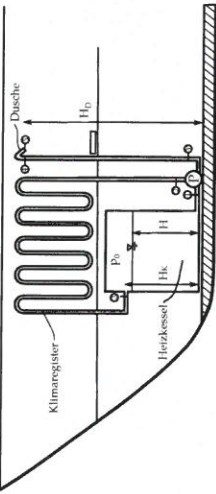
(3)

g) konti: $V_L A_L = 20 \cdot A_0 V_0$

$$V_0 = 6,25 \frac{m}{s}$$

$$P_0 = \rho \cdot g \cdot h_5 + P_0 = 7,0725 \text{ W}$$

Aufgabe 1: Forschungsschiff



(34 P.) Ein Forschungsschiff befindet sich im Nordpolarmeer. Dort herrschen sehr tiefe Temperaturen. Im Folgenden soll das Heizsystem des Schiffes betrachtet werden, das sowohl für eine angenehme Raumtemperatur als auch für warmes Wasser in der Dusche sorgen soll.

Hinweise

- Beachten Sie die Abbildung, dort sind die Maße eingzeichnet.
- Die Teilaufgaben d-f und g, h sind unabhängig von den vorherigen lösbar.
- Sollten Sie nicht weiterkommen, nehmen Sie sinnvolle Werte an und kennzeichnen Sie diese.

Gegeben

$$\begin{aligned}
 H &= 2 \text{ m} && \text{Wasserhöhe im Kessel} \\
 H_D &= 11 \text{ m} && \text{Höhe der Dusche} \\
 H_K &= 2,5 \text{ m} && \text{Höhe der Einströmöffnung in den Kessel} \\
 D &= 0,05 \text{ m} && \text{Durchmesser der Rohrleitung} \\
 D_{Kessel} &= 2 \text{ m} && \text{Durchmesser des Kessels} \\
 L &= 60 \text{ m} && \text{Länge der Heizleitung zwischen } ② \text{ und } ③ \\
 \eta_0 &= 79 \cdot 10^{-3} \text{ Pas} && \text{dynamische Viskosität von Wasser bei } 0^\circ\text{C} \\
 \rho_W &= 1000 \text{ kg/m}^3 && \text{Dichte von Wasser} \\
 p_0 &= 1,0 \text{ bar} && \text{Umgebungsdruck und Druck im Kessel} \\
 g &= 10 \text{ m/s}^2 && \text{Erdbeschleunigung} \\
 k_s &= 0,15 \text{ mm} && \text{Rauigkeit der Leitungen} \\
 \dot{V} &= 0,01 \text{ m}^3/\text{s} && \text{Volumenstrom} \\
 \zeta_{Krümmung} &= 0,3 && \text{Verlustziffer eines } 180^\circ\text{-Krümmers} \\
 \alpha &= 65^\circ && \text{Winkel Duschkopf}
 \end{aligned}$$

- (1) Im Rumpf des Schiffes befindet sich der Heizkessel. Zunächst ist die Dusche zu gedreht. Bestimmen Sie den statischen Druck vor der Pumpe im Heizbetrieb. Die Wassertemperatur beträgt dabei 40°C . Welcher Strömungszustand liegt hier vor?

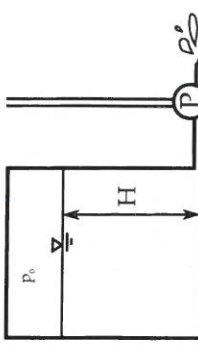
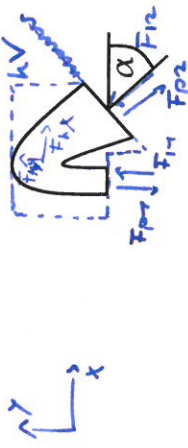
- (2) Berechnen Sie nun den Druckverlust über die Klimaregisteranordnung. Mit welchem Druck p_2 strömt Wasser in die Registeranordnung?
(3) Welche Pumpleistung ist erforderlich, um den nötigen Druck zu erreichen?

Nun wird das Ventil zum Heizsystem geschlossen, weil die Crew duscht.

- (4) Auf welchen Durchmesser muss der Duschkopf verbreitert werden, um nur noch 20% der Wassergeschwindigkeit des Rohrs am Austritt zu erreichen?

- (5) Wie stark muss die Pumpleistung reduziert werden, wenn der Volumenstrom gleich bleibt wie im Heizbetrieb? Stellen Sie dazu den reibungsfreien Bernoulli vom Punkt hinter der Pumpe bis zum Duschkopf auf.

- (6) Stellen Sie den Impulsatz über den Duschkopf mit einem geeigneten Kontrollvolumen auf und berechnen Sie die Kräfte darauf. Tragen Sie dazu die auftretenden Kräfte und das Kontrollvolumen in der Skizze ein. Darüber hinaus kann als reibungsfrei angenommen werden, vernachlässigen Sie außerdem Volumenkräfte.



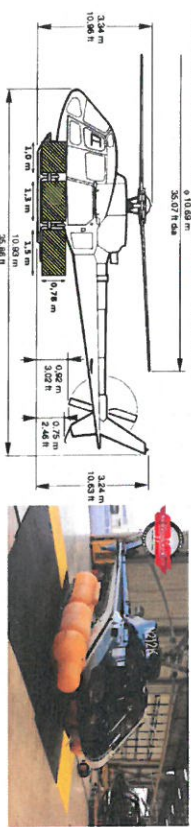
Aufgrund eines Frostschadens ist die Leitung zur Dusche kurz hinter der Pumpe zerborsten und das Wasser läuft ins Freie. Die Pumpe ist auf Durchlauf geschalten und hat keinen Einfluss mehr und auch das Ventil zum Heizregister ist weiterhin geschlossen.

- (7) Mit welcher Geschwindigkeit tritt das Wasser aus der Bruchstelle aus?
(8) Wie viel Zeit vergeht, bis der Kessel vollständig ausgeleert ist?

- (9) Welche Pumpleistung ist erforderlich, um die Crew zu duschen?

Aufgabe 2: Notwasserung

(36 P.+5 ZP.) Ein Hubschrauberpilot muss wegen Triebwerksausfall notwassern und aktiviert deshalb das EFS (Emergency Flotation System). Dieses besteht aus jeweils drei an den Kufen befindlichen zylinderförmigen Schwimmkörpern, die im Notfall mittels zweier hellumgefüllter Hochdruckkartuschen sehr schnell aufgeblasen werden können, um den Hubschrauber über Wasser zu halten.



Hinweise

- Beachten Sie die Abbildung, dort sind die Maße eingezzeichnet.
- Die Schwimmkörper sind als zylindrisch anzunehmen.
- Der Helikoppter taucht waagerecht ins Wasser ein.
- Der Rumpf darf für alle Effekte vernachlässigt werden.
- Alle Teilaufgaben sind bis auf f+g unabhängig voneinander lösbar.
- Integrationshilfe: $\int \sqrt{r^2 - y^2} dy = \frac{y}{2} \sqrt{r^2 - y^2} + \frac{r^2}{2} \arcsin \frac{y}{r}$

Gegeben

$m_{\text{Heli}} = 2150 \text{ kg}$	Massen Heli
$g = 10 \text{ m/s}^2$	Erdbeschleunigung
$\rho_W = 1000 \text{ kg/m}^3$	Dichte von Wasser
$p_0 = 1,0 \text{ bar}$	Umgebungsdruck
$v_{\text{sink}} = 4 \text{ m/s}$	Sinkgeschwindigkeit beim Aufsetzen auf die Wasseroberfläche
$c_W = 0,65$	Widerstandsbeiwert der zylindrischen Floats beim Eintauchen
$V_{\text{Kartusche}} = 10 \ell$	Volumen einer Gaskartusche
$p_{\text{Kartusche}} = 276 \text{ bar}$	Fülldruck einer Gaskartusche
$\rho_{\text{Helium}} = 0,18 \text{ kg/m}^3$	Heliumdichte bei 1 bar
$\rho_{\text{Luft}} = 1,25 \text{ kg/m}^3$	Dichte von Luft

- 2a) Der Hubschrauber trifft mit einer Vertikalgeschwindigkeit von $v_{\text{sink}} = 4 \text{ m/s}$ auf die Wasseroberfläche auf. Die maximale Eintauchtiefe beträgt etwa 1,2 m so dass die Schwimmkörper schließlich vollständig eintauchen. Schätzen Sie ab, welche Beschleunigung die Insassen beim Eintauchen ausgesetzt waren. Summieren Sie dafür konservativ den Auftrieb, den die Floats maximal erzeugen, und den Wasserwiderstand, den sie dem Eintauchen maximal entgegensetzen.

- 2b) Zeichnen Sie für den Vorgang des Eintauchens qualitativ die Komponenten Auftriebs-, (4+2) kraft und Wasserwiderstand in ein Diagramm in Abhängigkeit von der Eintauchtiefe. Die Floats sind dabei zunächst teilweise und am Ende vollständig untergetaucht. Die Sinkgeschwindigkeit nimmt kontinuierlich ab. Beschriften Sie die einzelnen Phasen und begründen Sie kurz den Verlauf. Der Auftauchvorgang muss nicht gezeichnet werden.

- 2c) Wie tief sinken die Schwimmkörper ein, wenn der Hubschrauber schließlich stationär auf der Wasseroberfläche treibt? Gehen Sie dabei davon aus, dass die Floats mehr als die Hälfte eingetaucht sind. Wäre die Eintauchtiefe in Salzwasser größer oder geringer? (Begründen Sie Ihre letztere Antwort ohne Rechnung.) (7)

- 2d) Welchem Überdruck müssen die Floats standhalten, wenn sie mit den beiden Kartuschen befüllt werden?

- 2e) Bestimmen Sie den Auftrieb der aufgeblasenen Floats in Luft. Wird der Sinkflug dadurch spürbar verlangsamt? (5)

Betrachten Sie nun den Fall, dass die Gaskartusche für die rechtsseitigen Floats versagt. Über eine Crossover-Verbindung zwischen den Seiten werden diese zumindest teilweise mit aufgeblasen, eine einzelne Kartusche reicht aber nicht für eine vollständige Füllung aller Floats.

- 2f) Welches Gasvolumen bleibt nach Füllung der linken Floats noch für die rechten übrig? Ist der Auftrieb der nur teilweise gefüllten rechtsseitigen Floats noch ausreichend? (4)

- 2g) Erklären Sie, was deshalb nach der Notwasserung mit nur einer funktionierenden Kartusche passiert (ohne Rechnung).

- 2h) Zusatzpunkte: Warum hat die Wahl des Gases (Helium oder Pressluft) einen Einfluss (+3) auf die Aufblasgeschwindigkeit?

Strömung Klausur F22

(7)

a)

$$\dot{V} = V_1 A = V_1 \cdot \pi \cdot \frac{D^2}{4} \rightarrow V_1 = 5,093 \frac{m}{s}$$

$$P_0 + \rho \cdot g \cdot H = P_1 + \frac{\rho}{2} V_1^2$$

$$P_1 = 7,067 \text{ bar}$$

$$Re = \frac{V D \rho}{\eta} \approx$$

~~$$\frac{n_{40}}{n_0} = \exp \left(\frac{T_A}{T_0 + T_B} - \frac{T_0}{T_0 + T_B} \right)$$~~

$$n_{40} = 0,6537 \cdot 10^{-3} P_{95}$$

$$T_B = -750 \text{ K}$$

$$T_A = 506 \text{ K}$$

$$T_0 = 273,15 \text{ K}$$

$$Re = 3,896 \cdot 10^5 \rightarrow \text{Turbulent}$$

b) $\frac{h_s}{D} = 3 \cdot 10^{-3}$

$$\lambda \text{ ablesen: } \lambda = 0,026$$

$$\text{Druckverlust } \Delta P_{2,3} = \frac{\rho}{2} V_2^2 (\lambda \frac{L}{D} + 9 \cdot \text{Eckenverlust}) = 4,397 \text{ bar}$$

Bernoulli:

$$\frac{\rho}{2} V_2^2 + P_2 + \rho \cdot g \cdot 0 = \frac{\rho}{2} V_3^2 + P_3 + \rho \cdot g \cdot H_3 + \Delta P_{2,3}$$

$$V_2 = V_3$$

$$\text{Freistrahl: } P_3 = P_0$$

$$P_2 = 5,642 \text{ bar} \quad \{ \text{in Lösung } 5,752 \text{ bar}, H \text{ ist dort neg.} \rightarrow \text{Fehler?}$$

c) $\Delta P_p = P_3 - P_2 = 4,085 \text{ bar}$

$$P_p = \Delta P_p \cdot A \cdot V_1 = 4,085 \cdot 10^3 \text{ W}$$

d) $V_4 = V_3 = 5,093 \frac{m}{s} \quad V_5 \stackrel{!}{=} 0,2 \cdot V_4 = 1,094 \frac{m}{s}$

$$\dot{V} \text{ bleibt gleich} \rightarrow \dot{V} = A_5 \cdot V_5$$

$$A_5 = 9,874 \cdot 10^{-3} \text{ m}^2$$

$$\pi \cdot \left(\frac{D_5}{2}\right)^2 = A_5 \rightarrow D_5 = 0,7748 \text{ m}$$

e) $P_3 + \rho \cdot g \cdot 0 + \frac{\rho}{2} V_3^2 = P_5 + \frac{\rho}{2} V_5^2 + \rho \cdot g \cdot H_5$

$$P_5 = P_0 ; V_5 = 0,2 \cdot V_3$$

$$P_3 = 7,955 \text{ bar}$$

$$\Delta P_p = P_3 - P_1 = 0,888 \text{ bar}$$

$$P_p' = \Delta P_p \cdot A \cdot V_1 = 9,08 \cdot 10^2 \text{ W}$$

$$\frac{P_p'}{P_p} = 0,2223 \rightarrow \text{Drosselung um } 77,77\%$$

$$f) V_0 = 7,6 \frac{m}{s} \quad 0,2V_0 = 1,5V_5 \quad \text{konti} \quad V_4 = 8 \frac{m}{s}$$

$$P_0 + \frac{\rho}{2} V_4^2 = P_5 + \frac{\rho}{2} V_5^2 \quad P_4 = 0,6928 \text{ bar}$$

Impulssatz in x-Richtung

$$F_{px} \cdot \cos(\alpha) - F_{12} \cdot \cos(\alpha) + F_{hx} = 0$$

$$\underbrace{(P_5 - P_0) A_5 \cdot \cos(\alpha)}_{=0} - \rho V_5^2 A_5 \cdot \cos(\alpha) + F_{hx} = 0$$

$$F_{hx} = \rho V_5^2 A_5 \cdot \cos(\alpha) = 70,62 \text{ N} \quad \text{!}$$

Impulssatz in y-Richtung:

$$-F_{py} + F_{11} - \cancel{F_{px} \cdot \sin(\alpha)} + F_{12} \cdot \sin(\alpha) + F_{hy} = 0$$

$$-(P_0 - P_1) A_4 + \cancel{\rho V_4^2 A_4} + \cancel{\rho V_5^2 A_5 \cdot \sin(\alpha)} + F_{hy} = 0$$

$$F_{hy} = -269,7 \text{ N} \quad \text{!} \quad \text{Auch mit Formel aus Musterlösung gerechnet...}$$

$$g) V_B = \sqrt{2 \cdot g \cdot h} \quad (\text{Toricelli}) \\ = 6,325 \frac{m}{s}$$

$$h) A_h \cdot V_{\text{inh}} = A_L \cdot V_B$$

$$\hookrightarrow -\frac{dh}{dt}$$

h verändert sich mit der Zeit

$$-\frac{dh}{dt} \cdot \pi \cdot \left(\frac{h}{2}\right)^2 = \pi \cdot \left(\frac{0,05}{2}\right)^2 \cdot V_B$$

$$-\frac{dh}{dt} = 2,795 \cdot 10^{-3} \cdot \sqrt{h}$$

$$-\frac{1}{\sqrt{h}} dh = 2,795 \cdot 10^{-3} dt$$

$$-\int_H^L \frac{1}{\sqrt{h}} dh = \int_0^t 2,795 \cdot 10^{-3} dt$$

$$2\sqrt{L} - 2\sqrt{H} = 2,795 \cdot 10^{-3} t$$

$$t(h=0) = 7025 \text{ s}$$

Strömung Klausur F22

(2)

a) Auftrieb Flöts:

$$\rho_{\text{w}} \cdot g \cdot ((7,0 + 7,3 + 7,5) \cdot (0,78 : 2)^2 \cdot \pi) \cdot 2 = 36,32 \text{ kN} = F_A$$

Widerstand

$$F_w = \frac{\rho_{\text{w}}}{2} V_{\text{rel}}^2 A_C C_w = 30,82 \text{ kN}$$

Max. Beschleunigung

$$a_{\text{max}} = \frac{F_A + F_w}{m_{\text{Heli}}} = 77,23 \frac{\text{m}}{\text{s}^2} = 3,723g$$

- b)
- Zeigt starker Zuwachs wegen hoher Geschw. und schnell zunehmendem Querschnitt.

36320

30820

Wert [N]



Verlauf konst., nachdem schwimmer vollständig eingetaucht oder leichter Abfall wegen Kompression.

Auftrieb
Widerstand

zunächst langsamer Anstieg wegen runden Querschnitt der schwimmer (Am Ende auch).

- c) Bestandteil 4 m/s ges

~~aus $\frac{1}{2} \rho_{\text{w}} V_{\text{rel}}^2 \cdot C_D \cdot A_C$~~ + zw. gelt. ~~aus $\frac{1}{2} \rho_{\text{w}} V_{\text{rel}}^2 \cdot C_D \cdot A_C$~~ + zw. gelt.

Auftrieb = Gewichtskraft

$$\cancel{\frac{1}{2} \rho_{\text{w}} \left(\frac{V_{\text{rel}}}{2} \right)^2 C_D A_C} + \cancel{\frac{1}{2} \rho_{\text{w}} V_{\text{rel}}^2 C_D A_C} = \cancel{\rho_{\text{w}} g A_C}$$

Volumen Kreissegment:

$$V_s = \pi \int_{-r}^{-r+h} \sqrt{r^2 - x^2} dx$$

$$V_s \cdot g \cdot (7 + 7,3 + 7,5) \cdot \rho_{\text{w}} \cdot g = m_{\text{Heli}} \cdot g$$

$$h = 7,084 \cdot 10^{-7} \text{ m}$$

h gesucht

$$h \text{ gesucht} = \left[\frac{x}{2} \sqrt{r^2 - x^2} + \frac{r^2}{2} \arcsin\left(\frac{x}{r}\right) \right]_{-r}^{r+h}$$

Schwimmer hat eine höhere Dichte \rightarrow Es wird höherer Auftrieb und Widerstand erzeugt \rightarrow der Heli hüpft nicht so tief.

d) $V_h = 20 \text{ L}$ bei $P_h = 276 \text{ bar}$ (4)

$$20 \text{ L} = 0,02 \text{ m}^3$$

$$\text{zu } V_v = (7+7,3+7,5) \cdot \pi \cdot \left(\frac{D}{2}\right)^2 \cdot 2 = 3,632 \text{ m}^3$$

$$V_h \cdot P_h \stackrel{!}{=} V_v \cdot P_v$$

$$P_v = 7,52 \text{ bar}$$

$$P_{\text{Überdruck}} = P_v - P_0 = 0,52 \text{ bar}$$

e) $V_v \cdot \rho_L \cdot g = 45,40 \text{ N} = F_A$

Eigengewicht des Heliums: $V_v \cdot \rho_{He} \cdot g = 6,538 \text{ N}$

Nettoauftrieb von $38,86 \text{ N}$ in Relation zur Gesamtmasse vernachlässigbar.

f) linker Floats mit $P_0 = 7 \text{ bar}$ gefüllt

~~Rechte Floats sind leer, weil sie nicht unter Wasser stehen~~

~~Wegen Auftrieb rechts ist der Druck höher~~

$$V_h \cdot P_h = V_0 \cdot P_0$$

$$V_0 = \frac{V_v}{2} + V_r$$

$$V_0 = 1,876 \text{ m}^3$$

$$V_{\text{rechts}} = -V_v/2 + V_0 = 0,944 \text{ m}^3 \quad V_{\text{links}} = 1,876 \text{ m}^3$$

$$\text{Auftrieb} = V_0 \cdot \rho_w = 2760 \text{ kg}$$

Der Auftrieb reicht noch aus um den Heliophoter zu halten.

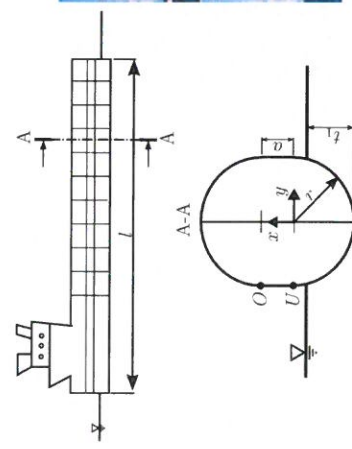
Auftrieb rechts ist aber kleiner als halber Gewicht, der Heliophoter würde also sinken.

g) Die rechten Floats werden vollständig unter Wasser gedrückt und ein Teil der Luft fließt durch den Druckunterschied in die linken Floats, der Heliophoter sinkt nicht vollständig.

h) Wegen der geringeren Dichte von Helium ist bei gleichem Druck/Aufblasvermögen die Geschwindigkeit und der resultierende Volumenstrom größer. Das gilt sowohl inkompressibel als auch im (hier eigentlich erforderlichen) kompressiblen Fall.

Aufgabe 1: Hydrostatis

(39 P) Die Floating Instrument Plattform (FLIP) ist ein Forschungsschiff der US-Navy. Um Messungen in mehreren Metern Tiefe unter Wasser zu machen, kann das $l = 110\text{ m}$ lange Schiff Ballasttanks im Heck mit Wasser füllen, um sich so in eine senkrechte im Wasser treibende, äußerst stabile Messplattform umzuwandeln. Das Schiff besteht aus einer Röhre mit Ballasttanks im Heck und einer Bugsektion mit Kabinen für die Wissenschaftler:innen.



Gegeben

$$\begin{aligned} l &= 110\text{ m} \\ r &= 3.2\text{ m} \\ a &= 1.5\text{ m} \\ t_1 &= 3.1\text{ m} \\ \rho_W &= 1000\text{ kg/m}^3 \\ g &= 9.81\text{ m/s}^2 \\ p_0 &= 1013\text{ mbar} \end{aligned}$$

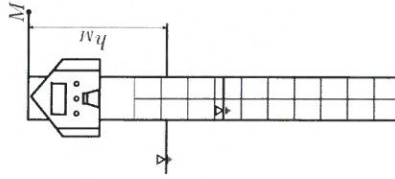
Hinweise

- Der Rumpf besitzt einen konstanten Querschnitt über die gesamte Länge des Schiffes.
- Wanddicken sind zu vernachlässigen
- $\int \sqrt{r^2 - x^2} dx = \frac{\pi}{2} \sqrt{r^2 - x^2} + \frac{x^2}{2} \arcsin(\frac{x}{r})$
- Das Gewicht der Luft ist zu vernachlässigen.
- Luft kann als ideales Gas betrachtet werden.
- Die Aufgabenbereiche I., II. und III. können unabhängig voneinander bearbeitet werden.

I. Horizontalbetrieb: Im mobilen Zustand befindet sich das Schiff in der Horizontalen. Dabei liegt ausschließlich der Rumpfkörper mit dem in der Skizze angegebenen Querschnitt im Wasser.

- 1a) Das zunächst unbeladene Schiff befindet sich in der horizontalen Ausgangsposition. Der Wasserspiegel befindet sich dabei unterhalb des Punktes U. Der Tiefgang des Schiffes beträgt $t_1 = 3.1\text{ m}$. Bestimmen Sie die Leermasse $m_{S,U}$ des Schiffes.
- 1b) Das Schiff befindet sich weiterhin im horizontalen Zustand und wird vor dem Auslaufen mit Messinstrumenten und Proviant beladen. Die Masse beträgt damit nun $m_{S,B} = 1.802.000\text{ kg}$. Der Wasserspiegel liegt dadurch zwischen den Punkten U und O. Berechnen Sie den neuen Tiefgang t_2 des Schiffes.

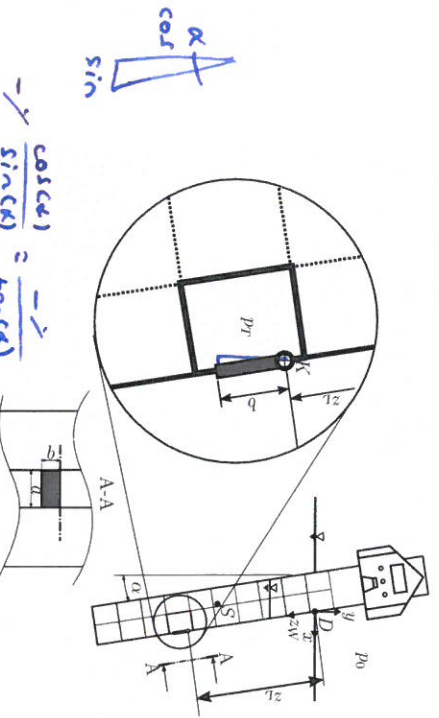
II. Vertikalbetrieb: Um Versuche durchzuführen, lässt das Schiff ein Teil seiner Ballasttanks im Heck volllaufen und begibt sich in den vertikalen Messbetrieb.



- 2a) Das Schiff steht stabil in einer vertikalen Position wie abgebildet. Nun wird zusätzliches Wasser in die Tanks gepumpt. Nach Abschluss dieses Vorgangs erreicht das Schiff erneut einen Gleichgewichtszustand. Erläutern Sie kurz in Worten, wie sich das Gesamtgewicht des Schiffes, das Verdrängungsvolumen und die Bughöhe h_M durch den zusätzlichen Pumpvorgang verändert haben.
- 2b) An der Bugspitze, im Punkt M, ist eine Messsonde installiert. Für die geplanten Versuche soll die Sonde einen Abstand von $h_M = 15\text{ m}$ zur Wasseroberfläche haben. Welches Volumen an Wasser hat FLIP bei diesem Abstand in seinen Tanks?

Hinweis: Das Schiff hat ohne Wasser in den Ballasttanks weiterhin die Masse $m_{S,B}$.

III. Schlagseite: Bei einer weiteren Messkampagne des Jahrzehnte alten Schiffes geht das Forschungsschiff erneut vom Horizontal- in den Vertikalbetrieb. Aufgrund eines Problems mit dem Pumpensystem wird ein Ballasttank nicht gefüllt. FLIP steht nun im Wasser mit einer Schlagseite von $\alpha = 5^\circ$.



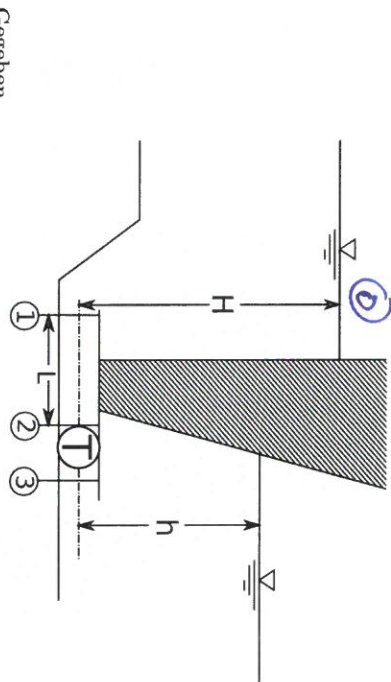
je) Geben Sie die Wandfunktion $z_W(y)$ und den Druckverlauf $p(z_W)$ entlang der äußeren rechten Wand an. (2)

Lösung: Aufgrund der immer wieder auftretenden Probleme mit dem Tank ist an dessen Außenseite eine Luke eingebaut, die es der Crew erlaubt, Reparaturarbeiten durchzuführen. Der Druck im Tank beträgt $p_T = p_0$. Berechnen Sie die Kräfte in x- und y-Richtung, die im schrägen Zustand auf die Luke ausgeübt werden. Die Oberkante der Luke befindet sich um die Länge $z_L = 80 \text{ m}$ entlang des Rumpfes unter der Wasseroberfläche. Die Luke hat die Maße $a = 1,5 \text{ m} \times b = 0,5 \text{ m}$. Die Dicke der Luke ist zu vernachlässigen.

Lösung: Die Luft im ungefüllten Ballasttank hat knapp nach dem Absinken des Schiffstecks die Außentemperatur $T_0 = 15^\circ\text{C}$ und den Umgebungsdruck p_0 . Durch das kalte Wasser in der Tiefe kühlte die Luft im Tank auf $T_1 = 8^\circ\text{C}$ ab. Welcher Druck p_1 stellt sich im Tank ein? Wie wirkt sich der neue Druck auf die Lukenkräfte F_x und F_y aus? Wie wirkt sich die Druckänderung des Ballasttrakts auf FLIPs statischen Auftrieb aus?

(5)

(8)



Gegeben

$$\begin{aligned} H &= 20,6 \text{ m} && \text{Höhe der oberen Staustufe} \\ h &= 11 \text{ m} && \text{Höhe der unteren Staustufe} \\ D_T &= 5,8 \text{ m} && \text{Durchmesser der Turbine} \\ L &= 8 \text{ m} && \text{Länge vom Einlauf des Kraftwerks bis zur Turbine} \\ k_s &= 3 \text{ cm} && \text{Wandräufigkeit im Rohr} \\ p_1 &= 2,5 \text{ bar} && \text{statischer Druck an der Stelle } 1 \\ \eta_W &= 1 \cdot 10^{-3} \text{ Pa/s} && \text{dynamische Viskosität von Wasser} \\ \rho_W &= 1000 \text{ kg/m}^3 && \text{Dichte von Wasser} \\ p_0 &= 1,0 \text{ bar} && \text{Umgebungsdruck} \\ g &= 9,81 \text{ m/s}^2 && \text{Erdbeschleunigung} \end{aligned}$$

Hinweis

- Die Aufgabenteile 2d und 2e beziehungsweise 2f und 2g können unabhängig von den anderen Aufgabenteilen gelöst werden.

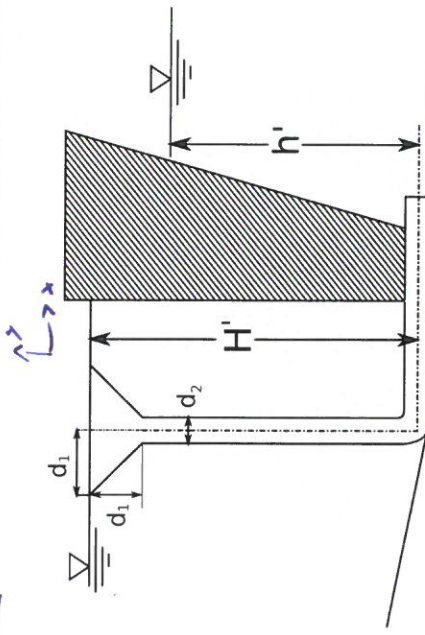
2c) In der oberen Staustufe befindet sich der Einlauf in das Kraftwerk (1). Der Abschnitt bis zur Turbine kann als Rohr angesehen werden. Berechnen Sie die Strömungsgeschwindigkeit und den Volumenstrom durch die Turbine. Nutzen Sie dazu die reibungsfreie Bernoulli-Gleichung von der Wasseroberfläche zum Einlauf des Kraftwerks.

(4)

2b) Wie groß ist der Druck direkt vor der Turbine bei (2)? Das Rohr ist als reibungsbehaftet zu betrachten.

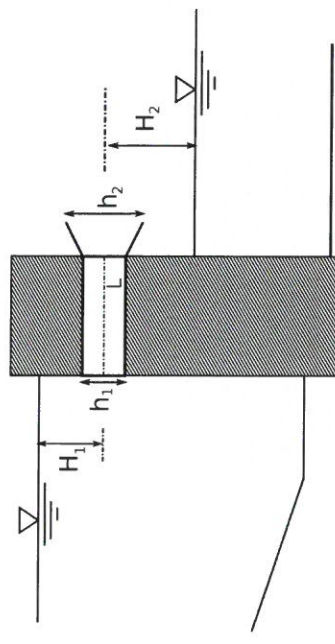
2f) Berechnen Sie nun die Leistung der Turbine bei einem Wirkungsgrad von $\eta_T = 0,72$. (3)

Nun werden zwei Hochwasserschutzmechanismen der Anlage näher betrachtet. Zum einen ist ein Hochwassertrichter eingebaut, der über den normalen Wassерpegel hinaus ragt. Bei starken Regenfällen und steigendem Wasserstand dient er dann als zusätzlicher Abfluss. Er ist nebenstehend dargestellt. Dabei beträgt die gestiegene Wasseroberfläche der Oberstufe $H' = 22 \text{ m}$ und die der Unterstufe über dem Austritt der Leitung $h' = 8 \text{ m}$. Der Trichter ist $d_1 = 3 \text{ m}$ breit und tief und die anschließende Leitung hat einen Durchmesser von $d_2 = 1 \text{ m}$.



- 2d) Es wird davon ausgegangen, dass der Wasserstand bis zum Rand des Hochwassertrichters angestiegen ist und der Trichter bis zum Rand vollgelaufen ist. Nun soll überprüft werden, ob die konstruktiven Bedingungen eingehalten werden. Welchen Volumenstrom kann der Überlauf maximal ableiten, wenn die Reynoldszahl von $Re_{max} = 1.1 \cdot 10^7$ weder im Rohr noch im Trichter überschritten werden darf? (3)
- 2e) Die vorige Einschränkung an die Reynoldszahl ergibt sich wegen der Reibungszahl der Leitung. Wie groß ist diese? Stellen Sie dazu den reibungsbekleideten Bernoulli auf. Zusätzlich zum rohrförmigen Teil der Leitung mit einer Gesamtlänge von $L = 37 \text{ m}$ sind noch $\zeta_{\text{Trichter}} = 0,1$ und $\zeta_{\text{Kammer}} = 0,3$ bekannt. Notwert: $v_2 = 10 \text{ m/s}$ (6)

Die zweite Möglichkeit, auf einen steigenden Pegel zu reagieren, ist das Öffnen des Wehres an einem anderen Abschnitt der Staumauer, so wie hier abgebildet. Der Damm ist an dieser Stelle $L = 10 \text{ m}$ breit. Das Wasser steht jetzt $H_1 = 3 \text{ m}$ über der Wehröffnung, die $h_1 = 1 \text{ m}$ hoch und quadratisch ist. Leder klemmen die Wehrtore oben und unten und können nicht vollständig abgeklappt werden, so dass sie als eine Art freischwebender Diffusor angesehen werden können. Dahinter fließt das Wasser aus einer jetzt $h_2 = 2 \text{ m}$ hohen Öffnung in die untere Staustufe, die $H_2 = 1 \text{ m}$ darunter liegt.



- 2f) Berechnen Sie die **Horizontalkraft**, die auf den Diffusor (die Wehrtore) wirkt. Stellen Sie dazu den Impulsatz mit einem geeigneten Kontrollvolumen auf, in das Sie die auftretenden Kräfte einzeichnen. Der Vorgang kann als reibungsfrei betrachtet werden. (9)
- 2g) Beim nächsten Einsatz ist die Störung der Wehrtore behoben worden, so dass der Diffusor verschwindet. Wie viel Zeit vergeht nach dem Öffnen, bis 90% der Endgeschwindigkeit erreicht sind? Stellen Sie dazu den reibungsfreien instationären Bernoulli auf.

Hinweis: Es gilt

$$\int \frac{dx}{a^2 - x^2} = \frac{1}{2a} \ln \frac{a+x}{a-x}$$

Regelung Klausur L27

(7)

1)

a) Leermasse des Schiffes $\hat{=}$ Masse des verdrängten Wassers

$$\text{Verdrängtes Wasser: } V_v = L \cdot 2 \cdot \int_{-r}^{-r+h} \sqrt{r^2 - x^2} dx \\ = 7699 \text{ m}^3$$

$$m_{s,L} = V_v \cdot \rho_w = 7,727 \cdot 10^6 \text{ kg}$$

b) Auftrieb = Gewichtskraft

~~$$F_A = \rho_w \cdot g \cdot A \cdot h$$~~

~~$$m_{s,A} \cdot g = \rho_w \cdot g \cdot A \cdot h$$~~

$$(L \cdot 2 \cdot \int_{-r}^0 \sqrt{r^2 - x^2} dx \cdot \rho_w) + (L \cdot r \cdot h \cdot \rho_w) = m_{s,A}$$

$$7,792 \cdot 10^6 \text{ kg} + L \cdot r \cdot h \cdot \rho_w = m_{s,A}$$

$$h = 4,638 \text{ cm} \quad \text{oder auch so:}$$

$$V_v = \left(\frac{\pi}{2} \cdot r \cdot r^2 + 2r \cdot h \right) \cdot L$$

$$V_v \cdot \rho_w = m_{s,B} \rightarrow h = 4,638 \text{ cm}$$

$$t_2 = r + h = 3,246 \text{ m}$$

c)

Das Gesamtgewicht hat sich um das Gewicht des zusätzlichen Wassers erhöht
Das Verdrängungsvolumen erhöht sich durch das nun höhere Gewicht und die Bughöhe verringert sich, um das höhere Verdrängungsvolumen zu erzeugen.

d)

Auftrieb = Gewicht

$$(L - h_m) \cdot (\pi \cdot r^2 + 2r \cdot \alpha) \cdot \rho_w \cdot g = m_{s,A} + V_w \cdot \rho_w$$

$$V_w = 2766 \text{ m}^3$$

e)

$$z_w(y) = -\frac{y}{\cos(\alpha)} \approx -y \quad (\cos(\alpha) = -\frac{y}{z_w})$$

Eigene Lösung auf ~~ausgekritzelt~~ Autoblatt...

$$p(z_w) = p_0 + \rho_w \cdot g \cdot \frac{\cos(\alpha) \cdot z_w}{y(z_w)}$$

$$f) \quad p_T = p_0 \quad z_c = 80 \text{ m} \quad \alpha = 7,5^\circ \quad b = 0,15 \text{ m}$$

$$F_x = \int_{y_1}^{y_2} (p_0 + \rho_w \cdot g \cdot (h_0 + y)) \cdot \frac{a}{b} dy \quad ; \quad y_1 = 80 \text{ m}, \quad y_2 = (p_0 + \cos(\alpha) \cdot b)$$

$F_x = A_{\text{proj}} \cdot \text{mittlerer Druck}$

$$h_0 = 0 \text{ m}$$

$$= b \cdot \cos(\alpha) \cdot \alpha \cdot \left(\rho_w \cdot g \cdot \left(z_c + \frac{b \cdot \cos(\alpha)}{2} \right) \cdot \cos(\alpha) + p_0 - p_0 \right)$$

$$= 596,0 \text{ kN}$$

$$f) \quad F_x = \int_0^L (P_0 + \rho_w \cdot g \cdot (h_0 + (-\gamma \cdot \frac{1}{\cos(\alpha)})) \cdot a \, dx$$

$\gamma = -\cos(\alpha) \cdot z \quad (2)$

$$= 55,36 \text{ kN}$$

$$\bar{F}_x = \int_0^L (P_0 \cdot a) \, dx = 75,69 \text{ kN} \quad \text{§}$$

Wandverlust wird in Lösung nicht betrachtet...?

$$g) \quad T_1 = \frac{T_0}{1 + \frac{\kappa}{300} \cdot 15^\circ C} \quad T_1 = 8^\circ C$$

$$\text{isochore ZT} \quad \frac{P_1}{P_0} = \frac{T_1}{T_0}$$

$$P_1 = 0,9889 \text{ bar}$$

Der Auftrieb bleibt unverändert, weil sich nicht das Volumen des verdrängten Wassers ändert. Weil der Gegendruck durch den Druck in der Lühe kleiner wird, erhöhen sich die Beträge der Kräfte F_x und F_z .

$$h) \quad \text{mit Gerade } \gamma = -\cos(\alpha) \cdot x \rightarrow x = -\frac{\gamma}{\cos(\alpha)}$$

$$dM_A = -\rho g (h_0 + \gamma) \cdot b \cdot d\gamma \cdot \gamma + \cancel{\rho g (h_0 + \gamma) \cdot b \cdot d\gamma \cdot (-\frac{\gamma}{\cos(\alpha)})}$$

$$M_A = \int_0^L -\rho g (h_0 + \gamma) \cdot b \cdot \gamma \left(1 + \frac{1}{\cos(\alpha)} \right) d\gamma \quad \text{§}$$

$$= \text{§}$$

$$(2) \quad P_0 + \frac{\rho}{2} V_0^2 + \rho \cdot g \cdot 0 = P_1 + \frac{\rho}{2} V_1^2 \quad \rho \cdot g \cdot H \quad V_0 = 0$$

$$a) \quad V_1 = 10,27 \frac{m^3}{s}$$

$$A_1 = \pi \cdot r^2 = 26,42 \text{ m}^2$$

$$\dot{V}_1 = V_1 \cdot A_1 = 269,8 \frac{m^3}{s}$$

$$b) \quad Re = \frac{V \cdot \rho \cdot d}{\eta} = 5,922 \cdot 10^7 \quad (\text{in Lösung } 6,03 \cdot 10^7)$$

→ Turbulent

$$\frac{hs}{D} = 5,772 \cdot 10^{-3} \quad \rightarrow \text{Ablesen: } \lambda = 0,03$$

$$\text{Bernoulli} / \quad \frac{\rho}{2} V_1^2 + P_1 + \rho \cdot g \cdot h_1 = \frac{\rho}{2} V_2^2 + P_2 + \rho \cdot g \cdot h_2 + \frac{\rho}{2} V_2^2 \left(\lambda \frac{L}{D} \right)$$

$$P_2 = P_1 - \frac{\rho}{2} V_2^2 \left(\lambda \frac{L}{D} \right) \quad \text{konti: } V_1 = V_2$$

$$P_2 = 2,478 \text{ bar}$$

$$c) \quad n_T = 0,72$$

$$\Delta P_T = P_2 - (P_0 + \rho \cdot g \cdot h) = 0,3989 \text{ bar}$$

$$P_T = \Delta P_T \cdot A_T \cdot V_2 \eta = 7,748 \text{ W}$$

Regetung Klausur HZT

(3)

d) $A_1 V_1 = A_2 V_2$

$$A_1 > A_2 \\ V_2 > V_1 \rightarrow R_{e2} > R_{e1}$$

$$R_{\text{max}} = 7,7 \cdot 70^7 = \frac{V_2 \rho d_2}{n}$$

$$V_2 = 77 \frac{m}{s}$$

~~Maximaler Volumenstrom~~

$$\dot{V}_2 = V_2 \cdot A_2 = 8,639 \frac{m^3}{s}$$

~~Widerstand~~

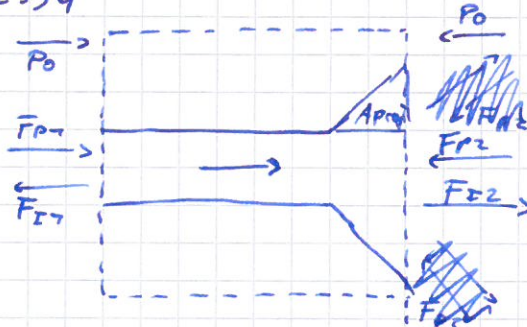
=

e) $\lambda \text{ gesucht} ; V_1 = \frac{V_2 \cdot \pi \cdot (\frac{d}{2})^2}{\pi \cdot j^2} = 0,3056 \frac{m}{s}$

$$\frac{\rho}{2} V_1^2 + P_0 + \rho \cdot g \cdot \underline{H'} = \frac{\rho}{2} V_2^2 + P_0 + \rho \cdot g \cdot \underline{H} + \frac{\rho}{2} V_2^2 (\lambda \frac{j}{d_2} + c_{\text{Trichter}} + c_{\text{Winner}})$$

$$\lambda = 0,02354$$

f)



Impulssatz in +-Richtung: $F_{p1} + F_{p2} - F_{f1} - F_{f2} - F_{N1} = 0$

$$V_2 = \sqrt{2g H'} = 7,672 \frac{m}{s}$$

$$V_1 A_1 = V_2 A_2 \rightarrow V_1 = 75,34 \frac{m}{s}$$

$$\cancel{P_0 - P_1 A_1 + \rho V_2^2 A_2 - \rho V_1^2 A_1 + P_2 A_2 + F_{N1}} - P_0 (A_2 - A_1) = 0$$

~~Fließrichtung~~

Bernoulli: ~~Fließrichtung~~

$$P_0 + \rho \cdot g \cdot H' = P_1 + \frac{\rho}{2} V_1^2 \rightarrow P_1 = 0,7777605$$

$$P_1 + \frac{\rho}{2} V_1^2 = P_2 + \frac{\rho}{2} V_2^2 \rightarrow P_2 = 1605$$

$$A_1 = h_1^2 \quad A_2 = h_1 \cdot h_2$$

$$F_{N1} = 2,937 \cdot 10^9 N$$

g) $P_0 + \rho \cdot g \cdot H_1 + \frac{\rho}{2} v_1^2 \stackrel{r=0}{=} P_0 + \frac{\rho}{2} v_2^2 + \rho \int_{-1}^2 \frac{dv_2}{ds} ds$
 $= P_0 + \frac{\rho}{2} v_2^2 + \rho \frac{dv_2}{dt} L$

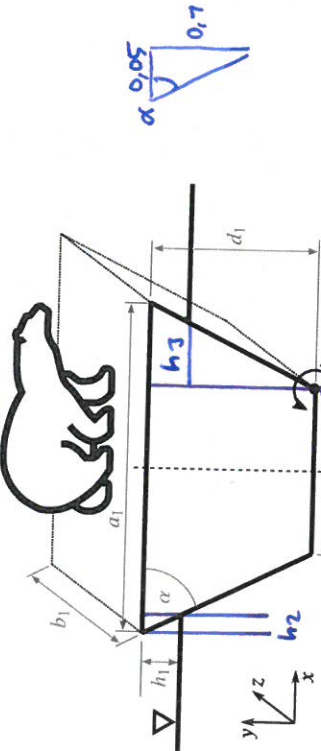
$$\frac{dv_2}{dt} = \frac{2 \cdot g \cdot H_1 - v_2^2}{2L}$$

$$dt = \frac{2L}{2gH_1 - v_2^2} dv_2$$

$$\Delta t = \int_0^{0,9 \cdot v_1} \frac{2L}{2gH_1 - v_2^2} dv_2 = 3,2385$$

Aufgabe 1: Hydrostatik

(29 P.) Die Eisbärin „N26328“ aus Spitzbergen (die schon Opfer einer früheren SL2-Aufgabe war) driftet auf einer kleinen Eisscholle im europäischen Nordmeer. Sie wurde bei einem Hubschrauberflug gesichtet, wobei die Abmaße der Eisscholle teilweise bestimmt werden konnten. Bei der Eisscholle handelt es sich um einen prismatischen Körper mit einem symmetrischen Trapez mit den Seitenlängen a_1, c_1 und der Höhe b_1 . In z -Richtung ist die Eisscholle gleichförmig und hat die Länge b_1 .



Geben

$$\begin{aligned} a_1 &= 3 \text{ m} \\ b_1 &= 3 \text{ m} \\ h_1 &= 0,1 \text{ m} \\ \tan(\alpha) &= 2 \\ m_B &= 190 \text{ kg} \\ \rho_{SW} &= 1025 \text{ kg/m}^3 \\ \rho_{Eis} &= 917 \text{ kg/m}^3 \\ p_0 &= 1,0 \text{ bar} \\ g &= 9,81 \text{ m/s}^2 \end{aligned}$$

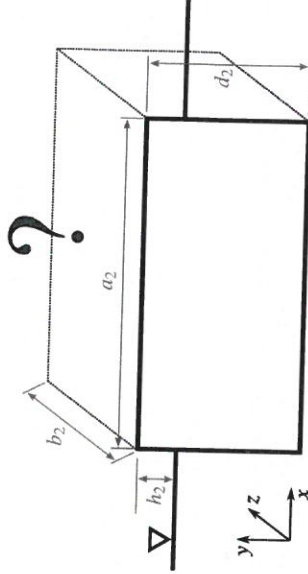
Hinweise

- Der Auftrieb in Luft sei für die gesamte Aufgabe vernachlässigbar.
- Flächeninhalt eines Trapezes: $A = \frac{a_1 + a_2}{2} \cdot h$
- Aufgaben d), e) und f) können unabhängig von den Aufgaben a), b) und c) bearbeitet werden.

- Bei dem Überflug konnte die obere Fläche der Eisscholle (a_1 und b_1), das Winkelverhältnis $\tan(\alpha)$ des Trapezes sowie die Höhe der Oberseite über dem Wasserstand h_1 bestimmt werden. Die Masse der Eisbärin m_B konnte aus alten Daten geschätzt werden. Wie groß sind die Höhe d_1 und die untere Seitenlänge c_1 der Eisscholle?
- Berechnen Sie die Kraft in x - und y -Richtung, die das Wasser auf die rechte Seite der Eisscholle ausübt. (Notwerte: $d_1 = c_1 = 1,5 \text{ m}$)

(1c) Berechnen Sie das Moment M_A um den Punkt A, welches nur aufgrund der Druckkräfte des Wassers von der rechten Seite auf die Eisscholle wirkt. Vernachlässigen Sie für diese Teilaufgabe den Umgebungsdruck p_0 .

Hinweis: Wählen Sie geschickt ein Koordinatensystem mit Ursprung in A. Da die Oberseite der Scholle nur einen geringen Abstand zum Wasser hat, ist die Eisbärin besorgt, bald nasse Fotos zu bekommen. Auf ihrer Irrfahrt siehtet die Eisbärin eine weitere Eisscholle, bei welcher die Oberseite einen größeren Abstand $h_{2,t}$ zum Wasser hat. Diese Eisscholle ist quaderförmig mit einer Grundfläche von a_2 und b_2 und einer Höhe d_2 .



Weitere Größen:

$$\begin{aligned} a_2 &= 3 \text{ m} && \text{Breite der Eisscholle} \\ b_2 &= 2 \text{ m} && \text{Länge der Eisscholle in } z\text{-Richtung} \\ h_{2,t} &= 0,2 \text{ m} && \text{Höhe der Oberseite über dem Wasserspiegel (leer)} \end{aligned}$$

Berechnen Sie die Höhe d_2 der Eisscholle und bestimmen Sie, ob die Eisscholle eine Verbesserung für die Eisbärin darstellen würde, d.h. ob die Höhe der Oberseite der Eisscholle von dem Wasserspiegel mit Eisbärin $h_{2,d}$ größer als h_1 ist.

Die Eisbärin treibt bis nach Island und kommt in der Skjalfandi-Bucht an. Leider ist kurz vorher ein Oltanker in der Nähe havariert, weswegen durch den Wind eine Ölssicht der Dicke $t_{Öl} = 0,05 \text{ m}$, welche eine Dichte von $\rho_{Öl} = 900 \text{ kg/m}^3$ hat, über das Meerwasser gedrückt wird.

Berechnen Sie die neue Höhe der Oberseite über dem Flüssigkeitsspiegel $h_{2,e}$, welcher sich durch das Öl jetzt einstellt. Erklären Sie in Worten die Ursache für die Veränderung zu $h_{2,d}$.

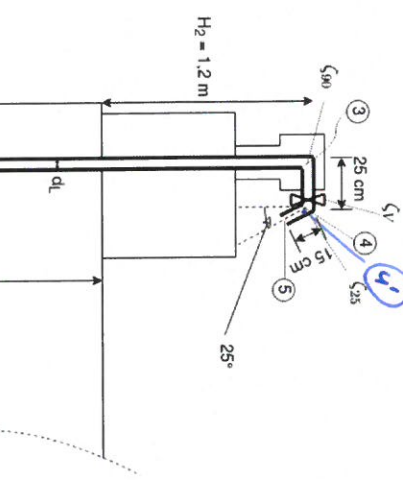
Die Eisbärin soll mit einem Hubschrauber (betäubt) aus ihrer Misere gerettet werden. Das Rettungsteam ist allerdings besorgt, beim Einsatz die Eisscholle samt der Eisbärin im Öltopf zu versenken. Bleibt die Oberseite der Eisscholle über dem Flüssigkeitsspiegel, wenn ein Hubschrauber einen Abwind von $F_{Huei} = 500 \text{ N/m}^2$ auf die Scholle ausübt und zudem eine Person mit $m_P = 80 \text{ kg}$ auf der Eisscholle steht?

Aufgabe 2: Bierzapfanlage

2a) Bestimmen Sie die Geschwindigkeit in der Leitung (v_L) und im Fass (v_F). (4)

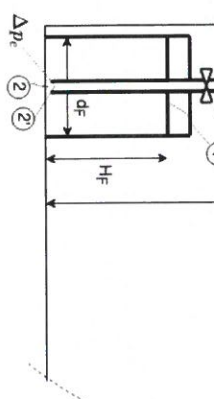
(36 P.) Ein Barbesitzer plant für seine neue Bar eine Zapfanlage für Weizenbier. Dafür befindet sich ein Stockwerk unter dem Tresen ein Kührraum, von dem aus das Bier über eine Rohrleitung in die Zapfanlage befördert wird. Im Kührraum herrschen angenehme 6°C .

Das Bier wird aus einem 50 l Fass mittels Überdruck aus einer angeschlossenen CO_2 Flasche (nicht abgebildet) zum Zapfhahn befördert. Unmittelbar über dem Fass befindet sich ein Ventil, am Zapfhahn selbst ein weiteres. Im Folgenden sind beide Ventile geöffnet, aber verlustbehaftet.



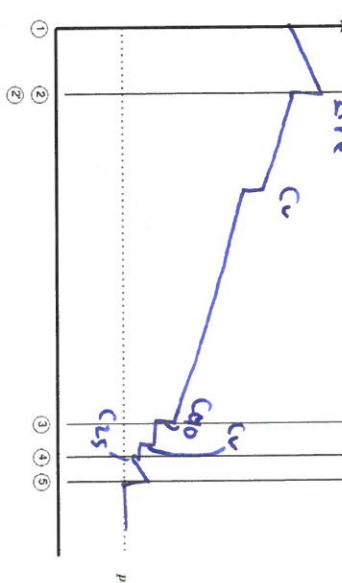
Hinweise

- Beachten Sie die Abbildung, dort sind wichtige Maße enthalten.
- Betrachten Sie das Fass als dickes Rohr, in dem das Bier ganz langsam strömt.
- Die Strömung ist durchgehend als reibungsbehaftet zu behandeln.
- Bei Δp_E handelt es sich um die gesamte Druckabnahme beim Übergang vom Fass in die Leitung.



2c) Damit das Bier nicht schäumt, sollte der statische Druck stets höher sein als der Sättigungsdruck des im Bier gelösten CO_2 . Berechnen Sie den Druck p_1 , der nötig ist, um einen statischen Druck höher als 1,35 bar über die komplette Leitung zu gewährleisten.

2d) Nun soll die Kraft auf den Zapfhahn bestimmt werden. Zeichnen Sie zunächst ein geeignetes Kontrollvolumen und tragen Sie alle auftretenden Kräfte ein. Volumenkräfte können vernachlässigt werden. (6)



2e) Am Zapfhahn befindet sich eine Verjüngung auf $d_B = 4\text{ mm}$ Durchmesser, darüber hinaus tritt im Hahn ein Reibungsverlust von insgesamt 0,32 bar auf. Berechnen Sie daraus die Kräfte, die in x - und y -Richtung auf den Zapfhahn wirken. (8)

Übung Klausur f27

1)

a)

$$\text{Massengleichgewicht: } m_B + \left(\frac{a_1+c_1}{2} \cdot h_1 \right) \rho_{\text{ Eis}} \cdot g = \frac{(a_1-2 \cdot h_2) \cdot c_1}{2} \cdot (d_1-h_1) \cdot g \cdot \rho_{\text{ L}}$$

$$h_2 = \frac{h_1}{t_{91}(a)}$$

$$h_2 = \frac{2,9}{2} - c_1/2 = 0,7035 \text{ m}$$

$$A = \frac{a_1+c_1}{2} \cdot d_1$$

$$t_{91}(x) = \frac{d_1}{(a_1-c_1)/2} = 2$$

$$c_1 = 7,493 \text{ m} \quad d_1 = 7,508 \text{ m}$$

b)

$$F_x = \rho_{\text{ Eis}} \cdot A_{\text{ Proj}} \cdot (P_0 + \rho_{\text{ Eis}} \cdot g \cdot \frac{0,7535}{2}) \cdot (d_1 - (c_1 - h_1)) \cdot b_1 = 2028 \cdot 7,508 \cdot 2 \cdot (2,9 - (7,493 - 0,7035)) \cdot 0,7035 \text{ N}$$

$$F_x = 2028 \cdot 7,508 \cdot 2 \cdot (2,9 - (7,493 - 0,7035)) \cdot 0,7035 \text{ N}$$

$$= 28,67 \text{ kN} \quad \text{Ziffer in Formelsammlung?}$$

$$F_x = \rho_{\text{ Eis}} \cdot A_{\text{ Proj}} = (P_0 + \rho_{\text{ Eis}} \cdot g \cdot \frac{d_1-h_1}{2}) \cdot (d_1-h_1) \cdot b_1 = 460,02 \text{ kN}$$

$$F_x = \left(\frac{(a_1-2 \cdot h_2)+c_1}{2} \cdot (d_1-h_1) \cdot b_1 \cdot g \cdot \rho_{\text{ Sw}} \right) : 2 = 46,65 \text{ kN} \quad (\text{zifferlos})$$

c)

$$M_A = \rho_{\text{ Sw}} \cdot g \cdot b_1 \cdot \left(\int_0^{h_3} x \cdot (2x) dx - \frac{1}{3} ((d_1-h_1)^3 - 0^3) \right) = -27,07 \text{ kN}$$

d)

Auftrieb $\stackrel{!}{=} \text{Gewichtskraft}$

$$(d_2-h_2) \cdot b_2 \cdot a_2 \cdot \rho_{\text{ W}} \cdot g = d_2 \cdot b_2 \cdot a_2 \cdot \rho_{\text{ Eis}} \cdot g$$

$$d_2 = 7,898 \text{ m}$$

Höhe Mit Eibarin:

$$(m_b + d_2 b_2 a_2 \rho_{\text{ Eis}}) \cdot g = (d_2 - h_3) \cdot b_2 \cdot a_2 \cdot \rho_{\text{ W}} \cdot g$$

$$h_3 = 0,7697 \text{ m} \rightarrow \text{besser als vorher!}$$

e)

$$t_{\text{ Öl}} = 0,05 \text{ m} \quad P_{\text{ Öl}} = 900 \frac{\text{kg}}{\text{m}^3}$$

$$(m_b + d_2 b_2 a_2 \rho_{\text{ Eis}}) \cdot g = t_{\text{ Öl}} \cdot b_2 \cdot a_2 \cdot P_{\text{ Öl}} \cdot g + (d_2 - t_{\text{ Öl}}) b_2 \cdot a_2 \cdot \rho_{\text{ W}} \cdot g$$

$t_{\text{ Öl}} = h_3 = 0,7630 \text{ m}$ Öl ist leichter als Wasser (Schwimmz. oben) und erzeugt daher weniger Auftrieb als Wasser \rightarrow Schalke sinkt ab.

(Archimedisches Prinzip)

f) $F_{HeLi} = 500 \frac{N}{m^2}$ $m_p = 80 \text{ kg}$

$$(M_0 + m_p + \frac{(F_{HeLi} \cdot b_2 \cdot a_2)}{g}) + b_2 \cdot d_2 \cdot a_2 \cdot \rho_{air} \cdot g = (t_{0L} \cdot b_2 \cdot a_2 \cdot \rho_{air} \cdot g + t_{0R} \cdot b_2 \cdot \rho_w) \cdot g$$

$$x = h_{zf} = 0,7003 \text{ m}$$

(2) ~~Berechnung Drehmoment~~

a) Geschw. konst. im ganzen Rohr: $v_L = \frac{v}{A}$ ~~Durchmesser Rohr R = dF~~

$$\dot{v} = 2 \frac{L}{\text{min}} = 3,333 \cdot 10^{-5} \frac{\text{m}^3}{\text{s}}$$

$$A = \pi \cdot \left(\frac{d}{2}\right)^2$$

$$v_L = 0,8667 \frac{\text{m}}{\text{s}}$$

~~Widerstandswiderstand ist 2300 < 2700 (korrekt)~~

~~Berechnung der laminaren Betriebsart:~~

Fass: $V_F = H_F \cdot \pi \cdot \left(\frac{d_F}{2}\right)^2 \rightarrow d_F = 0,3568 \text{ m}$

$$V_F = \frac{\dot{v}}{\pi \frac{d_F^2 - d_L^2}{4}} = 3,335 \cdot 10^{-5} \frac{\text{m}}{\text{s}}$$

b) $Re_L = \frac{v_L \rho_{air} d_L}{\eta_B} = 2730 < 2300 \rightarrow \text{laminar}$

$$Re_F = \frac{v_F \rho_{air} (d_F - d_L)}{\eta_B} = 42,65 < 2300 \rightarrow \text{laminar}$$

c) $\frac{Re}{(1) \rightarrow (2)} \lambda_F = \frac{64}{Re} = 7,507$

$$P_B V_F^2 + P_1 + P_B \cdot g \cdot H_F = P_B V_L^2 + P_2 + P_B g \cdot 0 + \frac{P_B}{2} V_E^2 \left(\lambda_F \frac{H_F}{d_L} \right) \\ \hookrightarrow (d_F - d_L)$$

(2) \rightarrow (4)

~~Pfeile~~

$$P_B V_L^2 + P_2 + P_B \cdot g \cdot 0 = P_B V_E^2 + P_4 + P_B \cdot g \cdot (H_1 + H_2) + P_B V_L^2 \left(\lambda \frac{(H_1 + H_2 + 2S)}{d_L} + 2C_v + C_{90} \right)$$

d) Sprung C_v und C_{90} gleich groß

C_S ist kleiner als C_{90} und C_v

Zeichnung siehe Aufgabenblatt

Prüfung Klausur f27

(3)

e) P_1 , damit über komplexe Leitung $P \geq 7,25$

Geringster Druck \bar{P} nach 25° Krümmung bei 4)

Beide Bernoulli-Gleichungen aus c) zusammensetzen: 7) \rightarrow 4)

$$P_B V_F^2 + P_1 + P_B g H_F = P_0 V_L^2 + P_4' + \Delta P_E + P_B g (H_1 + H_2) + \\ + P_B v_L^2 \left(\lambda_c \frac{H_1 + H_2 + 25}{d_L} \right) + 2 E_v + (z_0 + z_{25}) \\ + \frac{\rho_B}{2} V_F^2 \left(\lambda_F \frac{H_F}{d_H} \right)$$

$$\lambda_F = 7,50 \quad \lambda_L = 0,03005$$

$$P_1 = P_4' + 0,4968 \text{ bar} \quad ; \quad P_4' = 7,15 \text{ bar}$$

$$P_1 = 7,847 \text{ bar} \quad (\text{Rundungsfehler, weil Lösung bei } 1 \text{ keine 4 sign. Stellen hat})$$

f) Kontrollvolumen KV auf Aufgabenblatt

Kraft- / Impulströme auf Aufgabenblatt

g) $d_D = 4 \text{ mm}$ Verlust von 0,32 bar

$$V_D = \frac{V}{\pi \cdot \left(\frac{d}{2}\right)^2} = 2,652 \frac{\text{m}}{\text{s}}$$

Bernoulli von 3') zu 5)

$$P_3' + \frac{\rho_B}{2} V_L^2 + P_B \cdot g \cdot (z_5 - z_3) = P_\infty + \frac{\rho_B}{2} V_D^2 + P_B \cdot g \cdot 0$$

$$P_3' = 7,037 \text{ bar} + \text{Reibungsverlust im Hahn:}$$

$$P_3' = 7,157 \text{ bar}$$

Impulssatz x-Richtung:

$$-F_{15'} + F_{15} \cdot \sin(25^\circ) = F_{p3'} - F_{ps} \cdot \sin(25^\circ) + F_{hx}$$

$$-P_B V_L^2 \cdot A_L + P_B V_D^2 \cdot A_D \cdot \sin(25^\circ) = (P_3' - P_\infty) A_L + F_{hx}$$

$$F_x = -F_{hx} = 7,34 \text{ N}$$

Impulssatz y-Richtung:

$$-F_{15} \cdot \cos(25^\circ) = F_{hy}$$

$$-P_B V_D^2 A_D \cdot \cos(25^\circ) = F_{hy}$$

$$F_y = -F_{hy} = 0,087 \text{ N}$$

